



---

ILIE MIHAESCU

---

RADIO·AMATORISM  
ÎN UNDE  
ULTRASCUROTE

---

SCRISUL ROMÂNESC

Ing. ILIE MIHĂESCU  
Y03CO

# RADIOAMATORISM ÎN UNDE ULTRASCURTE



SCRISUL ROMÂNESCU  
Craiova, 1983

## SUMAR

Cuvint înainte . . . . .	7
<b>Capitolul I – RADIORECEPTOARE . . . . .</b>	<b>9</b>
Receptor MF . . . . .	16
Receptor cu dublă conversie . . . . .	19
Receptor superreacție . . . . .	24
Receptor pentru 10,7 MHz . . . . .	26
Receptor –emitter pentru 70 cm . . . . .	28
Receptor superreacție pentru 23 cm . . . . .	30
Convertor 144/6 MHz . . . . .	31
Convertor cu cuarț . . . . .	33
Convertor cu oscilator variabil separat . . . . .	35
Convertor cu modulator echilibrat . . . . .	37
Convertor cu tranzistoare PNP . . . . .	39
Convertor cu tranzistoare MOS-FET . . . . .	41
Convertor 432/144 MHz . . . . .	41
Convertor 1296/146 MHz . . . . .	43
Amplificator de antenă pentru 2 m . . . . .	46
Preamplificator de antenă pentru 70 cm . . . . .	47
Preamplificator pentru banda de 23 cm . . . . .	48
<b>Capitolul II – EMIȚĂTOARE . . . . .</b>	<b>49</b>
Emițătoare pentru banda de 2 m . . . . .	49
Microemitter . . . . .	52
Emițător MF 100 mW . . . . .	53
Emițător MF 500 mW . . . . .	55
Emițător MF 1 W . . . . .	56
Emițător MF 4,5 W . . . . .	59
Emițător MA 20 mW . . . . .	61
Emițător MA 100 mW . . . . .	62
Emițător MA 150 mW . . . . .	64
Emițător MA 1 W . . . . .	65
Emițător MA 3 W . . . . .	68
Emițătoare pentru 70 cm și 23 cm . . . . .	70
Triplor cu BAY 96 . . . . .	73
Triplor cu atenuarea armonicilor la 70 dB . . . . .	74
Triplor cu KB 106 . . . . .	75

Triplor cu joncțiune CB . . . . .	76
Emitător CW pe 70 cm . . . . .	78
Adaptor emisie-recepție pentru 70 cm . . . . .	79
Triplor pentru 23 cm . . . . .	82
<b>Capitolul III – ANTENE . . . . .</b>	<b>84</b>
Propagarea undelor . . . . .	84
Linii de transmisie (fideri) . . . . .	85
Reglarea antenelor . . . . .	89
Yagi cu 9 elemente . . . . .	89
Yagi cu 10 elemente . . . . .	90
Antene Quagi . . . . .	91
<i>Antene pentru 70 cm</i> . . . . .	92
Yagi cu 4 elemente . . . . .	92
Yagi cu 5 elemente . . . . .	94
Antena HB 9CV . . . . .	94
Yagi cu 5 elemente . . . . .	96
Antena elicoidală . . . . .	96
Diedru . . . . .	99
<b>Capitolul IV – ALIMENTAREA CU ENERGIE ELECTRICĂ . . . . .</b>	<b>101</b>
Alimentator cu tiristor . . . . .	101
Filtre cu tranzistoare . . . . .	102
Stabilizator simplu . . . . .	103
Stabilizator autoprotejat . . . . .	104
VARIANTĂ de stabilizator autoprotejat . . . . .	104
Alimentator protejat cu tiristor . . . . .	105
Stabilizator cu circuit integrat βA 741 . . . . .	106
Stabilizator cu circuit integrat βA 723 . . . . .	107
Stabilizator cu CI și limitator de curent . . . . .	109
Alimentarea diodelor varicap . . . . .	109
<b>Capitolul V – OSCILATOARE . . . . .</b>	<b>110</b>
Oscilator de bandă . . . . .	110
Oscilator pe 6 MHz . . . . .	111
Oscilator pe 9 MHz . . . . .	112
Oscilator pe 12 MHz . . . . .	113
Oscilator cu cuarț . . . . .	114
Oscilator – multiplicator . . . . .	115
VFX . . . . .	115
<b>Capitolul VI – INSTRUMENTE DE MĂSURĂ . . . . .</b>	<b>117</b>
Indicator de cimp . . . . .	117
Verificator pentru cristale de cuarț . . . . .	118

Voltmetru electronic . . . . .	119
Tester pentru tranzistoare . . . . .	120
Undametru . . . . .	121
Grid-dip-metru . . . . .	123
Voltmetru electronic cu $\beta$ A 741 . . . . .	123
<b>ANEXE . . . . .</b>	<b>125</b>
Calculul bobinelor . . . . .	125
Tranzistoare de putere (npn) . . . . .	125
Raportul tensiunilor și puterilor exprimate în dB . . . . .	126
Tranzistoare IPRS . . . . .	127
Tranzistoare FUJITSU . . . . .	128
Tranzistoare SIEMENS . . . . .	129
Bibliografie . . . . .	131

## CUVÎNT ÎNAINTE

După 1901, an în care se nășteau radio produse de om traversă Atlanticul, cuvintele telegrafie fără fir înflăcărează spiritele, electroamatorii — experimentatorii vremii — abandonează vechea pasiune, preocupându-i radiocomunicațiile, născindu-se, în acest mod, radioamatorismul.

În primul deceniu al secolului nostru, activitatea radioamatorilor însemna pionerat, fiind deosebit de dificilă atât prin lipsa cunoștințelor teoretice, cât și a componentelor adecvate.

Bobina, condensatorul și eclatorul erau elementele esențiale ale unui emițător; galena și casca, ale receptorului. Cu un astfel de material se stabileau, toluși, legături la distanțe impresionante — 160 km.

Desigur, nu existau reglementări internaționale și nici dispoziții legale în materie de radioamatorism, oricine putea aborda această tehnică, multe legături stabilindu-se și cu stații ale serviciilor organizate sau montate pe nave.

De la început, radioamatorismul s-a bucurat însă de o excelentă reputație, asigurînd comunicații în caz de urgență. Analele radioamatorismului conțin o listă impresionantă de situații în care radioamatorii, cu competență și devotament, au servit colectivitatea, întreprindând salvarea de vieți omenești și bunuri materiale.

Primele cinci decenii au însemnat pentru radioamatorism în primul rînd, organizare. Au fost fixate și reglementate benzile de frecvență, indicativele, modul de confirmare a legăturilor, codurile, condițiile tehnice etc.

Ca sport concret al construcțiilor, radioamatorismul s-a dezvoltat în paralel cu electronica.

Observațiile efectuate în privința propagării undelor electromagnetice au impulsuat radiocomunicațiile în general. Multe sisteme radiante (antene) poartă numele unor radioamatori, respectiv a indicativelor lor.

Fără a se abandona gama undelor scurte, perseverenții experimentatori au început investigații în gama undelor ultrascurte metrice și chiar centimetrice.

*Preocupări există și în domeniul radioamatorismului prin sale-  
lii sau urme de meteoriți, legături ce se efectuează, în special, în  
unde ultracute.*

*Radioamatorii români s-au bucurat totdeauna de un binemeritat  
prestigiu, numărindu-se printre pionierii Europei în acest domeniu,  
aducind numeroase contribuții teoretice și tehnice în dezvoltarea acestui  
nobil sport. Spre a stimula și facilita abordarea în mod științific de  
către radioamatori a tehnicilor și construcțiilor specifice undelor ul-  
tracute și a născut și ideea elaborării acestei cărți. Fiind rodul unei  
îndelungate activități de experimentator-radioamator, montajele și  
aparatele prezентate au o complexitate gradată distribuită spre a putea  
fi abordate de către toți radioamatorii începători sau avansați.*

*Varietatea montajelor prezентate, diferențele calitative sensibile  
între ele, componentele electronice recomandate cauț să satisfacă  
nevoile tehnice imediate cu posibilitățile concrete ale constructorilor  
amatori, fără a avea pretenția epuizării vastului și interesantului  
domeniu.*

*De aceea, urez tuturor celor ce își vor construi aparatură elec-  
tronică după această carte, deplin succes.*

AUTORUL

# **CAPITOLUL I**

---

## **RADIORECEPTOARE**

**Radioreceptoarele** sunt primele și principalele aparate din dotarea unei stații de radioamator, de calitățile lor depinzând, în mare măsură, rezultatele și performanțele sportive.

Pentru frecvențe înalte, sute sau mii de megaherți, utilizarea radioreceptoarelor cu amplificare directă sau cu reacție nu mai este posibilă, singurele tipuri abordabile răminind superreacția și superheterodina.

Radioreceptorul superreacție are ca principale calități sensibilitatea și simplitatea constructivă.

Instabilitatea în funcționare și radațiile parazite fac ca acest tip de radioreceptor să fie folosit în cazuri izolate, pentru experimentări constructive și nu pentru obținerea unor performanțe.

Prin performanțele sale, sensibilitate, selectivitate, raport semnal/zgomot, stabilitate în funcționare etc., radioreceptorul superheterodină este cel mai utilizat și mai apreciat în traficul de radioamator. Radioreceptoarele superheterodină se construiesc cu simplă sau dublă, eventual triplă conversie. De multe ori, este recomandată construcția unui radioreceptor cu intrare pe o frecvență fixă, de exemplu 10,7 MHz, după care la intrarea sa să se aplice blocuri de mare eficacitate, cunoscute sub denumirea de convertoare. Cu acestea, orice bandă de frecvență este translată în altă bandă.

Cunoșcind faptul că puterea emițătoarelor din ultrascurte ar valori modeste, rezultă că pentru a stabili o legătură (QSO) trebuie să dispunem de un receptor cu sensibilitate foarte mare (sub 1  $\mu$ V).

Sensibilitatea unui receptor nu poate fi mărită totuși foarte mult din cauza zgomotului propriu al tranzistoarelor și al zgomotului termic provocat de rezistoare. În afară de rezistoare, zgomote produc chiar și circuitele oscilante aflate la rezonanță. Zgomotul nu este constant, ci este funcție de frecvență. Odată cu scăderea amplificării tranzistorului, zgomotul crește. Pentru a putea receptiona o informație, semnalul de recepție trebuie să aibă un nivel

suficient de mare față de zgomotul produs de receptor. De regulă, pentru o recepție căt de cît perceptibilă se solicită un raport între semnalul util și cel de zgomot de 10 dB.

Pentru a putea judeca și analiza proprietățile zgomotului unui receptor a fost introdus un termen numit factor de zgomot și notat  $F$ . Factorul de zgomot este o mărime pătratică și poate fi aplicat la orice tip de cuadripol, deci și la tranzistoare. Raportând puterea semnalului la puterea zgomotului de la intrare și ieșire se poate scrie:  $F = 10 \log \frac{P_s \text{ intrare}/P_z \text{ intrare}}{P_s \text{ ieșire}/P_z \text{ ieșire}}$  (dB)

Cu factorul de zgomot (calculat cu ajutorul formulei), cu rezistența de intrare a tranzistorului  $R_i$  și cu lățimea benzii de recepție  $B$  se poate determina tensiunea de zgomot  $U_z$  la intrarea tranzistorului aplicând formula:  $U_z = \sqrt{f \cdot kT_0 \cdot B \cdot R_i}$ , în care  $kT_0 = 4 \cdot 10^{-21}$  Ws la  $17^\circ\text{C}$ ,  $k$  (constantă Boltzman) =  $= 1,38 \cdot 10^{-23}$  W·s/K.

Valoarea lui  $kT_0$  ne dă puterea de zgomot a unei rezistențe ohmice la temperatura absolută pentru lățimea benzii de 1 Hz. De exemplu, un receptor solicită pentru un raport semnal/zgomot de 20 dB un nivel util de zece ori mai mare decât tensiunea de zgomot rezultată din calcul.

Astfel, pentru  $R_i = 60 \Omega$ ,  $B = 200 \text{ kHz}$  și  $F = 5$  rezultă o tensiune de intrare pentru 20 dB raport semnal/zgomot:

$$U_s = 10 U_z; U_s = 10 \sqrt{5 \cdot 4 \cdot 10^{-21} \cdot 2 \cdot 10^5 \cdot 60} = 4,9 \cdot 10^{-6} \text{ V} = \\ = 4,9 \mu\text{V}.$$

Receptoarele de bună calitate au un factor de zgomot cuprins între 5 și 7 dB.

Raportul semnal/zgomot al unui receptor depinde în afară de factorul de zgomot, de tipul modulației și de gradul de modulație.

La modulația în frecvență se obține un raport semnal/zgomot mai mare decât la modulația în amplitudine. La modulația în frecvență raportul semnal/zgomot poate fi îmbunătățit cind banda semnalului modulator este bogată în spectrul superior.

Factorul de zgomot al unui receptor este determinat, în principal, de etajul de intrare. Un mare producător de zgomot într-un receptor este etajul convertor. Tocmai datorită acestui fapt, în domeniul de lucru UUS se folosește, de regulă, un etaj de preamplificare liniar, astfel încât zgomotul din etajul convertor să nu se facă aşa de remarcat.

Rezistența unei antene  $R_a$  se compune din rezistență de radiatorie  $R_s$  și din rezistență de pierderi. Valoarea rezistenței de radiatorie  $R_s$  pentru o antenă  $\frac{\lambda}{4}$  este de  $40 \Omega$ , pentru un dipol deschis  $\frac{\lambda}{2}$  de  $60 \Omega$ , iar pentru dipol  $\frac{\lambda}{2}$  închis de  $240 \Omega$ .

Cum în ultrasunete se folosesc, de regulă, antene acordate în  $\frac{\lambda}{2}$  (dipol) sau în  $\frac{\lambda}{4}$ , ambele tipuri de antene au impedanță de intrare (la baza antenei) reală și deci, pot fi ușor adoptate întrării tranzistorului.

Cuplarea antenei la etajul de intrare trebuie să țină seama de adaptare, pentru că o neadaptare poate să aibă urmări negative asupra raportului semnal/zgomot.

Circuitul de intrare este acordat, deci pentru întreaga lățime a benzii trebuie făcută o adaptare, atât pentru transportul de energie, cât și pentru factorul de zgomot.

În etajul de intrare, tranzistoarele cu efect de cîmp prezintă o serie de avantaje deoarece au amplificarea liniară la semnale puternice, factor de zgomot mic, rezistență de intrare mare și o caracteristică de transfer care produce o intermodulație redusă.

Un exemplu de montaj foarte utilizat (cu neutroдинare) ce are o amplificare pronunțată și un factor de zgomot mic este ilustrat în figura 1.

Condensatorul în serie cu intrarea optimizează raportul semnal/zgomot. Bobina de neutroдинare compensează trecerile directe de semnal prin capacitatea parazită dintre intrare și ieșire care, la un tranzistor de tip BF 245, este în jur de  $1,2 \text{ pF}$ . În sursă este montat un rezistor ce fixează punctul de funcționare pentru o pantă maximă.

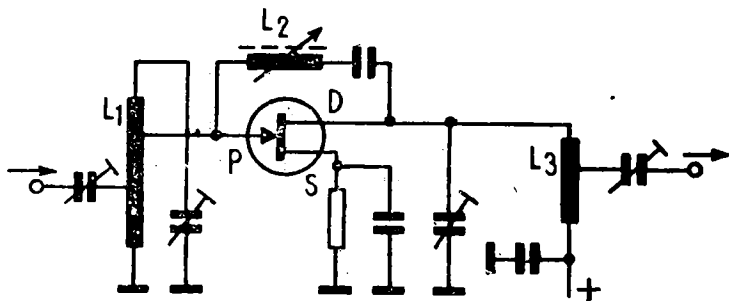


Fig. 1

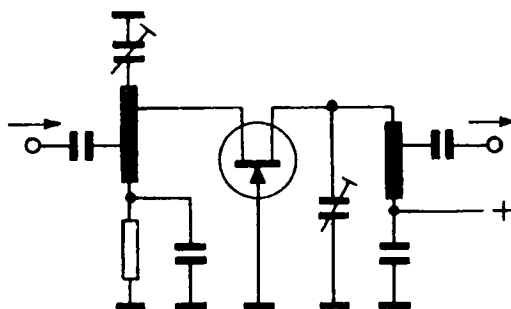


Fig. 2

Impedanța de intrare a acestui tip de montaj este foarte mare ( $M\Omega$ ).

Caracteristic pentru montajul din figura 2 este rezistența de intrare mică, cu influență redusă între intrare și ieșire, recomandabilă pentru frecvențe foarte înalte.

Soluția optimă pentru etajul de intrare este montajul cascod (fig. 3). Aceasta prezintă proprietăți deosebite față de zgromot, amplificare, stabilitate și liniaritate. Montajul conține două tranzistoare FET, are rezistența de intrare deosebit de ridicată, amplificarea fiind determinată de panta primului tranzistor. Capacitatea de reacție a primului FET nu se manifestă din cauza următorului tranzistor montat cu poarta la masă. Al doilea FET lucrează ca un schimbător de impedanță și poate fi comandat prin tensiunea de CAA.

Etajele de intrare cu tranzistoare bipolare se manifestă ca și în unde scurte, cu toare avantajele și dezavantajele. În etajele de

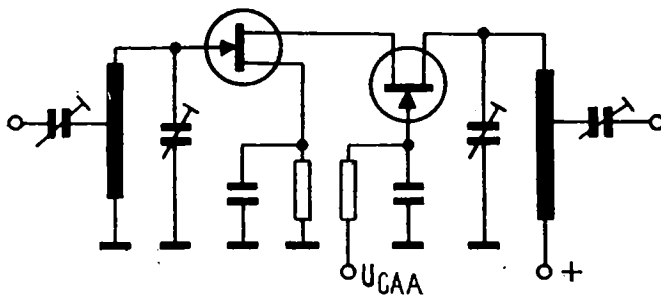


Fig. 3

**intrare**, un fenomen supărător care se produce este intermodulația. Intermodulația nu apare ca efect al neuniformității benzii de treccere din amplificatorul de frecvență intermediară, ci este generată de etajul de intrare în radioreceptor.

Circuitul de intrare, cu banda relativ largă, lasă să treacă, îndată cu semnalul dorit, și semnale vecine în frecvență, ce pot avea intensitate mai mare, modificând caracteristicile etajului de intrare.

Cum în principal se modifică amplificarea etajului, semnalul perturbator modulează semnalul util, modificîndu-l substanțial.

Ca un prim remediu, ar fi aplicarea etajului de intrare unei reacții negative prin montarea unui rezistor nedecuplat în emitor sau sursă. Dar, cum aceasta modifică amplificarea, revenirea la sensibilitatea inițială impune montarea unui etaj suplimentar la intrare. Această soluție riscă să agraveze situația, fiindcă intermodulația s-ar produce acum pe două etaje.

Un montaj eficace pentru eliminarea intermodulației este prezentat în figura 4. Acest montaj reglează autonom și liniar amplificarea primului etaj, nu în funcție de semnalul util, ci în funcție de toate semnalele ce apar la ieșirea etajului.

În cazul unei perturbații intense, vecine cu semnalul util, aceasta (cel util) este micșorat, dar reglajul automat al amplificării, propriu radioreceptorului, poate compensa această atenuare, intermodulația fiind înălțurată. Practic, semnalul de la antenă sosește pe poarta tranzistorului  $T_4$  ce admite, fără distorsiuni importante, o tensiune de intrare de pînă la 500 mV.

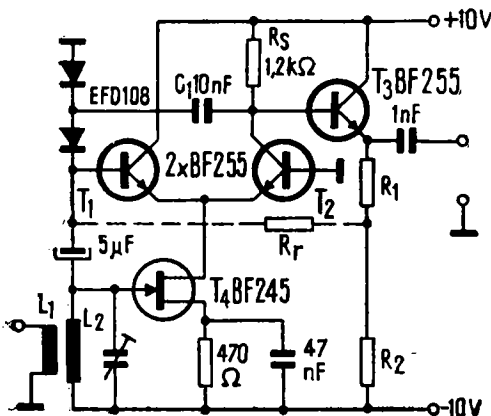


Fig. 4

Primul tranzistor este urmat de un etaj cascod  $T_2$  și de un repetor pe emitor  $T_3$ , ce are o impedanță de ieșire relativ mică.

La ieșire, prin  $C_1$  sunt cuplate și cele două diode. Aceste diode nu funcționează la semnale mici și tensiunea lor directă face ca  $T_1$  să fie negativat (față de  $T_2$ ) și blocat.

În prezența unui semnal puternic, diodele redreseză și apare un semnal pozitiv pe baza lui  $T_1$ .

Curentul furnizat de  $T_4$  este divizat și o fracțiune mai mică trece prin rezistorul de sarcină  $R_s$ .

Se ajunge la o modificare a amplificării etajului fără a modifica curentul de drenă al lui  $T_4$ , care rămîne să funcționeze în continuare în condiții de perfectă liniaritate.

Curba A din grafic (fig. 5) relevă faptul că amplificarea este în jur de 4 pentru semnale mici și se reduce la 0,5 cînd la intrare se aplică un semnal de 500 mV. Eficacitatea montajului poate fi îmbunătățită cu o reacție pozitivă.

În repaus, între  $R_1$  și  $R_2$  apare o tensiune negativă și, dacă semnalul crește, această tensiune devine pozitivă, trecind prin zero. Conducînd această tensiune prin  $R_r$ , la baza lui  $T_1$  efectul de control al amplificării crește.

Pentru  $R_r = 180 \text{ k}\Omega$  se obține curba B, care arată că tensiunea de ieșire este totdeauna mai mică de 120 mV. O valoare mică pentru  $R_r$  nu este recomandată, fiindcă etajul poate intra în oscilație.

Acest montaj are dezavantajul că nu poate fi utilizat decît în gama undelor metrice.

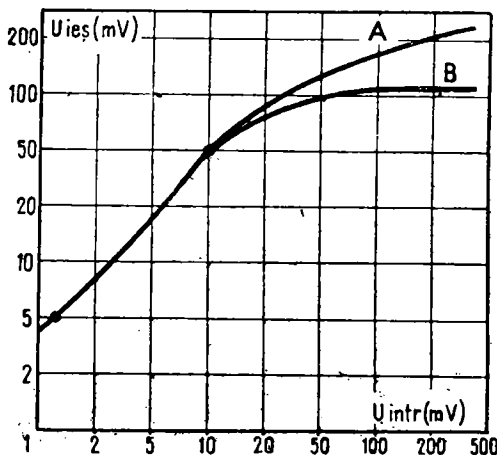


Fig. 5

La un receptor superheterodină frecvența semnalului din antenă se transformă, prin amestec cu semnalul oscilatorului local, în semnal de frecvență intermediară. Semnalul de frecvență intermediară se poate amplifica mult mai stabil, selectivitatea este ridicată; filtrul de frecvență intermediară se poate realiza ușor cu circuite obișnuite, sau folosind filtre piezoelectrice sau mecanice.

Relația de bază într-un receptor superheterodină este :

$$f_i = f_s \pm f_o$$

în care  $f_i$  este frecvența intermediară;  $f_s$  — frecvența semnalului;  $f_o$  — frecvența oscilatorului.

Frecvența intermediară este, oarecum, standardizată la valoările de 10,7 MHz și 460 kHz.

Amplificarea etajului de amestec este redusă și se explică prin valoarea mică a pantei de conversiune  $S_c$ . Panta de conversiune depinde de regimul de lucru, care, de altfel, este determinată de amplitudinea tensiunii oscilatorului local și a regimului în curent continuu. Factorii de zgromot al etajului de conversie este mare.

După etajul de conversie, în radioreceptorul superheterodină urmează amplificatorul de frecvență intermediară FI. Unui amplificator FI îi se impun criterii tehnice deosebite în ceea ce privește amplificarea și selectivitatea. De remarcat că amplificarea principală într-un radioreceptor este realizată în amplificatorul de frecvență intermediară. În acest amplificator se face și controlul automat al amplificării comparativ cu semnalul de la intrarea sa.

Pelungă amplificarea corespunzătoare, în amplificatorul FI se realizează selectivitatea și lățimea de bandă, respectiv spectrul AF. Sistemul de a monta mai multe filtre ce au și rolul de adaptare între etaje atrage după sine distorsiuni de fază.

Mai trebuie avut în vedere că amplitudinile mari obținute în amplificatorul de FI (ce ajung la 1 Vef la intrarea detectoarei) împun decuplări și ecranări între etaje, fiindcă numai astfel se obține o bună stabilitate în funcționare și, implicit, evitarea autooscilațiilor.

Controlul automat al amplificării (CAA) poate acționa atât asupra etajului de intrare, cât și asupra etajului de conversie și amplificatorului FI.

Cea mai simplă metodă constă în micșorarea curentului pe emitor ceea ce se obține prin scăderea tensiunii bază-emitor. Se știe că panta unui tranzistor, în domeniul curenților mici (1–2 mA) este proporțională cu curentul din emitor și scade odată cu aceasta. Dar, odată cu scăderea curentului din emitor, impedanța de intrare crește. În acest mod, amortizarea circuitului de intrare scade și.

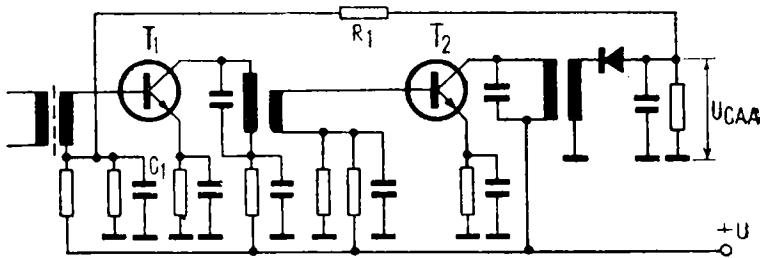


Fig. 6

implicit, banda de trecere se micșorează. Variațiile benzii de trecere apar ca un factor de instabilitate în funcționare și acest mod de reglare a amplificării nu se utilizează decât în cazuri speciale.

Se utilizează foarte des o reglare prin deplasarea punctului de funcționare a tranzistoarelor. Tensiunea de reglare este preluată din detector. În figura 6 se observă că tensiunea la detector crește odată cu tensiunea de intrare în amplificatorul FI. În acest mod, crește și componenta continuă negativă de la ieșirea diodei, tensiune care se aplică pe baza tranzistorului  $T_1$ , variindu-i polarizarea bazei.

Odată cu creșterea tensiunii de reglare, baza lui  $T_2$  devine negativă și curentul continuu de pe emitor scade, deci scade panta de amplificare. Rezistorul  $R_1$  și condensatorul  $C_1$  formează însă un filtru trece jos pentru tensiunea de reglaj și prin constanta lor de timp fixează funcționarea etajului.

În majoritatea cazurilor constanta de timp folosită este de 0,1 secunde.

Există și cazuri cînd tensiunea pentru CAA este trecută printr-un amplificator de curent continuu, spre a fi aplicată pe mai multe etaje, eficacitatea întregului sistem crescînd considerabil.

În receptoarele pentru MF se lasă amplificarea constantă și mare, fiindcă semnalul înainte de demodulare este limitat în amplitudine. Ultima parte a unui receptor superheterodină este constituită din etajele demodulator și amplificator AF.

## RECEPTOR MF

Montajul a cărui schemă este prezentată în figura 7 este destinat recepționării emisiunilor MF din banda de 144 - 146 MHz.

Analizînd schema, se observă că semnalul din antenă este aplicat pe o priză a înfășurării  $L_1$  pentru adaptarea impedanței ca-

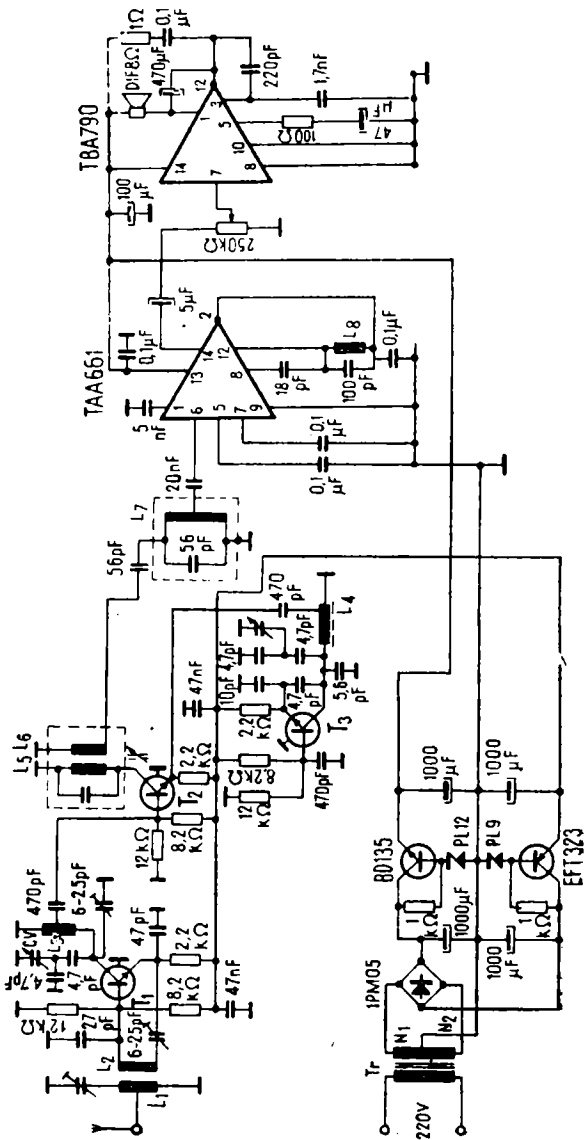


FIG. 7

bului coaxial de  $75 \Omega$ . Prin inducție, semnalul ajunge apoi pe baza tranzistorului  $T_1$  care îndeplinește rolul de amplificator de radiofrecvență. Pentru o bună stabilitate în funcționare a acestui etaj, construcția este mai deosebită, în sensul că i s-a aplicat o neutrodinare. În colector, de pe înfășurarea  $L_3$  se culege semnalul amplificat. Condensatorul de cuplaj cu valoarea de  $470 \text{ pF}$  transmite semnalul pe baza tranzistorului  $T_2$  care formează etajul de mixare (conversie).

Tot la mixer, mai precis pe emitorul tranzistorului  $T_2$  este aplicat și semnalul de la oscilatorul local, realizat cu tranzistorul  $T_3$ . În colectorul tranzistorului  $T_2$  se obține astfel semnalul de frecvență intermediară cu valoarea de  $10,7 \text{ MHz}$ . Bobinele  $L_1$ ,  $L_2$ ,  $L_3$  și  $L_4$  sunt constituite din sîrmă de cupru argintat cu diametrul de  $1 \text{ mm}$ . Acest material le conferă factor de calitate mare, crescind astfel selectivitatea receptorului. Înfășurările  $L_1$ ,  $L_2$  și  $L_3$  se construiesc fără carcase, diametrul spirelor fiind  $6 \text{ mm}$ . Astfel,  $L_1$  are 6 spire cu pas  $1 \text{ mm}$  și priză la spira  $1,25 \text{ de la masă}$ . Înfășurarea  $L_2$  este identică cu înfășurarea  $L_1$ , iar în montaj acestea se fixează paralel, la distanță de  $1 \text{ mm}$ , pentru a se asigura un transfer optim de semnal.

Înfășurarea  $L_3$  are 4 spire cu priză la spira  $1$  și pas de  $1,5 \text{ mm}$ . Bobina de la oscilator  $L_4$  se construiește pe carcasa din material plastic cu miez de ferită. Această carcasă este folosită în aparatele de radio profesionale la oscilator în blocul UUS. Ea se obține de la orice magazin de specialitate.

Pe această carcasa se bobinează  $3,25$  spire cu pas  $1 \text{ mm}$  și priză la spira  $0,5 \text{ de la masă}$ . Această înfășurare trebuie să fie bine fixată pe carcasa. Infime deformări mecanice atrag după sine apreciabile modificări ale frecvenței oscilatorului.

Sarcina etajului mixer o constituie un circuit oscilant acordat pe frecvență de  $10,7 \text{ MHz}$ . Înfășurările  $L_5$  și  $L_6$  se găsesc gata confectionate sub formă de transformatoare de frecvență intermediară MF, sub formă clasică sau miniatură pentru aparatele de radio. Se va avea grija ca, atunci când se cumpără de la magazin, să se înăture rezistorul conectat în paralel pe  $L_5$ .

Prin intermediul înfășurării  $L_6$  semnalul este aplicat următorului circuit oscilant acordat tot pe  $10,7 \text{ MHz}$ , în componență căruia intră bobina  $L_7$ . Cele două circuite oscilante acordate pe  $10,7 \text{ MHz}$  constituie împreună un filtru și contribuie, în mod substanțial, la selectivitatea globală a receptorului.

Bobina  $L_7$  poate fi confectionată pe o carcăsă de frecvență intermediară MF cu miez de ferită și pe ea se bobinează  $39$  spire din sîrmă Cu-Em  $\varnothing 0,1$  cu priză la spira  $5$ . Astfel, semnalul

întra apoi în circuitul integrat TAA 661, care îl amplifică și limitează în amplitudine, eliminând modulația de amplitudine și semnalele perturbatoare suprapuse. Cu circuitul oscilant ce conține bobina  $L_8$  (27 spire  $\varnothing 0,1$ ) semnalul este defazat proporțional cu deviația de frecvență. Discriminatorul furnizează la ieșire un semnal de audiofrecvență care este apoi amplificat de circuitul integral TBA 790 și ascultat în difuzor ( $4 \Omega$ , 3 VA).

Circuitul de intrare ( $L_1 - L_2$ ) se acordează în mijlocul bănzii respective pe frecvență de 145 MHz prin intermediu condensatorelor trimer. Condensatorul variabil folosit este de la radioceptorul „Neptun“ care are două secțiuni speciale pentru UUS.

Alimentarea radioceptorului se face de la o sursă de tensiune, dublă, stabilizată electronic. Cele două infășurări din secundar trebuie să debiteze cîte 12 V fiecare.

Montajul electric se construiește fie pe cablaj imprimat, fie în compartimente pentru fiecare etaj, ecranate între ele.

În etajele de intrare și mixer se vor monta tranzistoare de tip BF 181 sau BF 200, iar în oscillator BF 214, BF 215, BF 181 etc.

Tranzistorul BD 135 se montează pe un radiator de căldură cu suprafață de  $100 \text{ cm}^2$ .

## RECEPTOR CU DUBLĂ CONVERSIE

Un radioceptor pentru emisiuni MA cu performanțe superioare pentru gama de 144–146 MHz este prezentat în figura 8. Acest aparat este conceput pe principiul dublei conversii, în care semnalul din banda de  $2m$  este transpus, întîi în 29 MHz și, apoi, în 1 600 kHz. Etajele de intrare utilizează două tranzistoare cu efect de cîmp (BF 245 sau BFW11) montate neutrodinat.

Primul oscillator debitează un semnal cu frecvență cuprinsă între 38,3 și 39 MHz și conține tranzistorul BC 177. Tranzistorul  $T_5$  lucrează ca tripolar de frecvență. Din combinația semnalelor provenite din antenă și de la  $T_5$ , aplicate pe poarta tranzistorului  $T_3$  (BF 245) se obține un semnal cu frecvență de 29 MHz, ce constituie prima frecvență intermediară.

Tranzistorul  $T_6$  creează un oscillator pilotat cu cuarț pe frecvență de 27,4 MHz. Semnalul de la oscillatorul cu cuarț și cel de

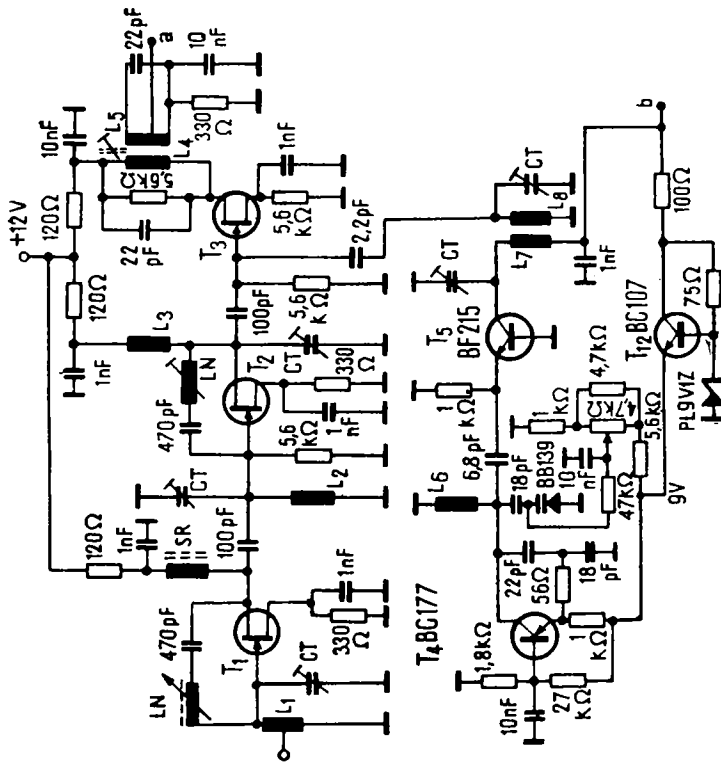


FIG. 8

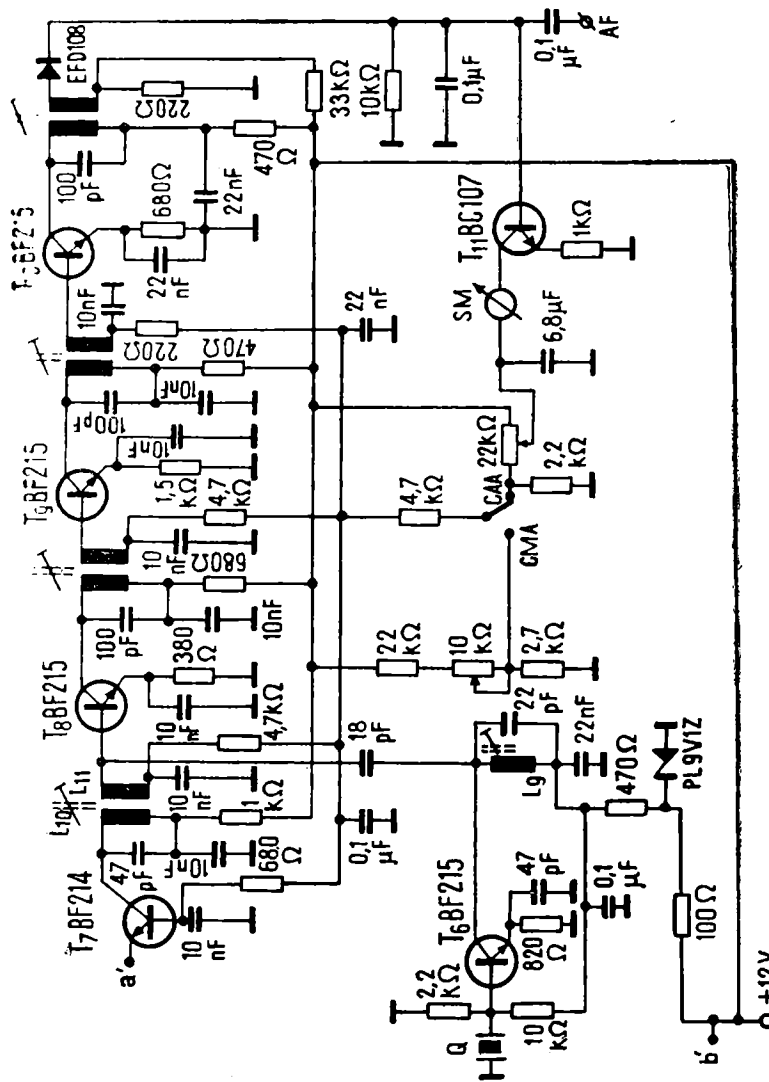


Fig. 8

29 MHz se aplică tranzistorului  $T_8$ , obținindu-se a 2-a frecvență intermedie de 1 600 kHz.

La construcția radioreceptorului, o mare atenție trebuie acordată circuitelor oscilante. Toate condensatoarele trimer din schemă, notate cu CT, au valoarea cuprinsă între 2–12 pF. Bobinele pentru neutroдинare LN se construiesc pe carcase  $\emptyset$  6 cu miez de ferită (de la blocul UUS) având 5 spire CuEm  $\emptyset$  0,3 bobinate fără pas.

Bobinele  $L_1$ ,  $L_2$ ,  $L_3$ ,  $L_7$  și  $L_8$  se construiesc fără carcăsă, cu diametrul interior 5 mm, din sîrmă CuAg  $\emptyset$  0,8, pas 0,5 mm. Astfel,  $L_1$  și  $L_2$  au cîte 5 spire,  $L_1$  are priză la spira 1,5. Bobina  $L_3$  are 4 spire, bobinele  $L_7$  și  $L_8$  au cîte 7 spire. Șocul SR are 20 spire CuEm  $\emptyset$  0,2 pe miez de ferită  $\emptyset$  3.

Etajul oscillator echipat cu tranzistorul  $T_4$  (BC 177) generează, după cum aminteam, un semnal cu frecvență cuprinsă între 38,3–39 MHz. Acoperirea acestei game de frecvențe se face cu dioda varicap BB 139 sau echivalent. Bobina  $L_6$  are 7 spire CuEm  $\emptyset$  0,3 bobinate pe o carcăsă  $\emptyset$  6 (fără miez).

Etajul cu tranzistorul  $T_5$  lucrează în regim de tripolar, debînd pe poarta tranzistorului  $T_3$  un semnal cu frecvență cuprinsă între 115 și 117 MHz.

Semnalul la ieșirea mixerului  $T_3$  (kF 245) are frecvență de 29 MHz.

Bobinele  $L_4$  și  $L_5$  se construiesc din CuEm  $\emptyset$  0,3 pe o carcăsă  $\emptyset$  6.  $L_4$  are 15 spire, iar  $L_5$  are 16 spire cu priza la spira 6. Distanța între  $L_4$  și  $L_5$  este de 3 mm. Bobinele  $L_{10}$  și  $L_{11}$  se construiesc pe o carcăsă  $\emptyset$  6 cu miez.  $L_{10}$  are 15 spire CuEm  $\emptyset$  0,3. Peste  $L_{10}$  se bobinează 6 spire din CuEm  $\emptyset$  0,2 ce constituie înfășurarea  $L_{11}$  (se cupleză în baza tranzistorului  $T_8$ ). Tot în baza tranzistorului  $T_8$  sosește și un semnal de 27,4 MHz de la oscillatorul cu quart.

Bobina  $L_9$  din oscillatorul cu quart se construiește pe o carcăsă  $\emptyset$  6 prevăzută cu miez de ferită și are 15 spire CuEm  $\emptyset$  0,3. În colectorul tranzistorului  $T_8$  semnalul are frecvență de 1,6 MHz. Toate cele 3 circuite oscilante care urmează sunt construite din transformatoare de frecvență intermedie de la radioreceptoare industriale, ce inițial erau prevăzute a lucra pe 465 kHz, cînd aveau montate condensatoarele de 1nF. Pentru acordul pe frec-

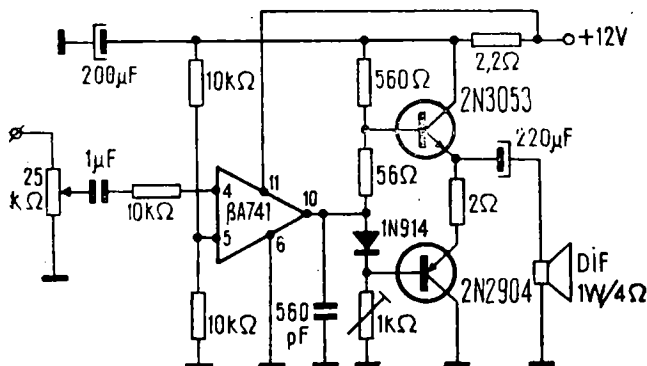


Fig. 9

vență de 1,6 MHz, aceste bobine au montate condensatoare de 100 pF. Se observă că tensiunea de alimentare a oscilatoarelor este stabilizată. Amplificatorul de audiofrecvență poate fi de orice tip, cu tranzistoare sau circuite integrate (ca cel din fig. 9).

După asamblare, urmează reglarea și acordarea radioreceptorului.

Acordul circuitelor se face cu ajutorul unui generator de semnale sau cu un grid-dip.

Se începe prin aplicarea unui semnal de 1600 kHz în baza tranzistorului  $T_{10}$  și se urmărește indicația maximă la amplificatorul de audiofrecvență sau pe S-metru.

Apoi, pe rînd, se aplică semnal în bazele tranzistoarelor  $T_6$  și  $T_7$ , și se acordă circuitele oscilante respective.

În această etapă de acord, cuarțul de la tranzistorul  $T_6$  este deconectat. După acordarea celor 3 transformatoare de frecvență intermediară pe 1600 kHz, se montează cuarțul și se verifică dacă etajul oscillator este în stare de funcționare. Se deconectează apoi, de la  $L_8$ , condensatorul cu valoarea de 2,2 pF și prin el se introduce semnal de 29 MHz de la generator, sau cînd se utilizează un grid-dip, semnalul se couplează direct pe bobinele  $L_4, L_5$ .

Cu aceste operații amplificatoarele de frecvență intermediară sunt acordate. Urmează verificarea funcționării oscillatorului cu

frecvență variabilă ( $T_4$ ). În primul rînd, circuitele cu bobinele  $L_7$  și  $L_8$  se acordează (din CT) pe frecvență de 116 MHz (aproxiatativ).

Se deconectează alimentarea tranzistoarelor  $T_1$ ,  $T_2$  și  $T_3$  și se acordează cu un grid-dip, pe frecvență de 145 MHz circuitele  $L_3CT$ ,  $L_2CT$  și  $L_1CT$ .

Cind se consideră că și aceste circuite au fost acordate, se alimentează etajele de la intrare și se cupleză condensatorul la bobina  $L_8$ . Se verifică, apoi, frecvența exactă a oscilatorului local.

Valoarea tensiunii la bornele diodei varicap este cuprinsă între 1 și 4 V. Se cupleză la intrarea radioreceptorului un semnal de 145 MHz, sau se încearcă recepționarea unei radiobalize, sau chiar a unui emițător pe banda de 2 m. Prin încercări se verifică acoperirea de bandă.

În finalul acordului se va încerca acordul circuitului  $L_1CT$  pe 145 MHz, a circuitului  $L_2CT$  pe 145,5 MHz, iar a circuitului  $L_3CT$  pe 144,5 MHz. Amplificarea și stabilitatea în funcționare se obțin prin reglări ale miezurilor bobinelor  $LN$ . Radioreceptorul poate fi utilizat cu reglaj automat sau manual al amplificării. Asamblarea pieselor se face pe cublaj imprimat sau prin sistemul clasic, compartimentat pe etaje.

## RECEPTOR SUPERREAȚIE

Radioreceptoarele superreație sunt caracterizate, în special, printr-o pronunțată sensibilitate și au ca dezavantaj radiația parazită spre antenă.

La radioreceptorul a cărui schemă este figura 10, destinat gamei de 2 m, prin faptul că la intrare are un etaj amplificator de radiofrecvență, radiațiile spre antenă sunt împiedicate. Se observă că acordul etajului cu superreație se face într-un mod mai puțin obișnuit. Circuitul oscilant este compus din bobina  $L_4$  și capacitatea internă a joncțiunii bază-colector a unui tranzistor BC 107. Variația acordului se obține prin diverse polarizări ce se dau acestei joncțiuni din potențiometrul de 100 k $\Omega$ .

Primul etaj are montate circuite oscilante atât la intrare cât și la ieșire.

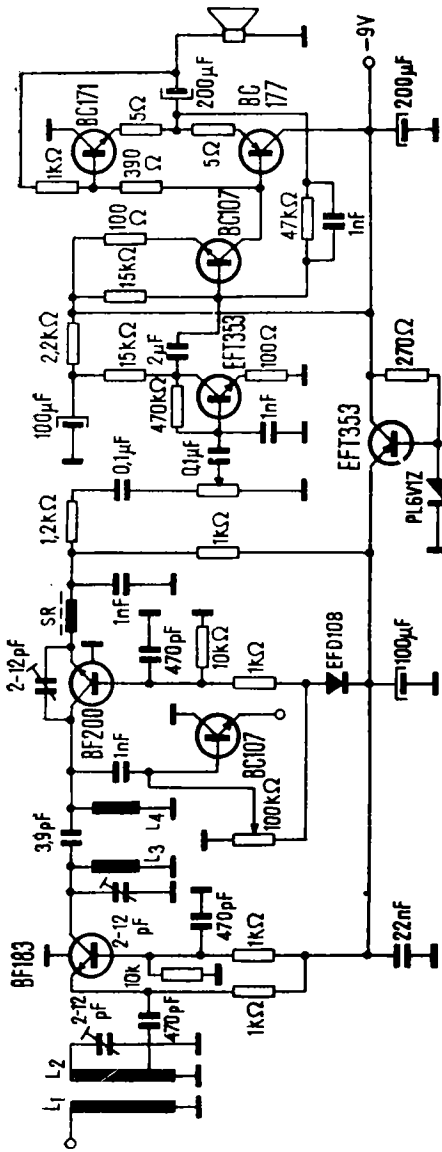


Fig. 10

Constructiv, bobinele  $L_2$ ,  $L_3$  și  $L_4$  au cîte 4 spire CuEm  $\varnothing$  0,6 cu pas 0,5 mm, bobinate fără carcăsă pe un diametru de 5 mm. Bobina  $L_2$  are priză la spira 1,5. Peste bobina  $L_2$  se bobinează 2 spire pentru înfășurarea  $L_1$ . După etajul de superreacție urmează un amplificator audio ce poate debita o putere de aproximativ 150 mW. La acest amplificator este cuplat un difuzor miniatură ( $8 \Omega = 200$  mW).

Se recomandă ca acest radioenerima să se construiască în compartimente ecrilate. Astfel, circuitul de intrare va fi izolat de circuitul de ieșire al amplificatorului de radiofrecvență printr-un ecran.

Etajul superreacție, începînd cu bobina  $L_4$  pînă la șocul SR, va fi montat în alt compartiment. În felul acesta, se preîntîmpină influența între etaje și radiațiile parazite.

Circuitele de la intrare se acordează pe frecvență de 145 MHz. Pentru alte acoperiri de gamă, mai mari sau mai mici de 2 MHz (144–146 MHz), se poate modifica valoarea potențiometrului de polarizare, sau poate monta o diodă varicap (BB102) etc.

Intrarea în reacție a etajului se obține din condensatorul montat între colectorul și emitorul tranzistorului BF 200 și se remarcă prin puternicul fîșfit ce se audă în difuzor.

Șocul SR are 10 spire CuEm  $\varnothing$  0,2 bobinate pe un miez de ferită  $\varnothing$  3.

Pozitîurile cursorului potențiometrului de acord pot fi gradate în unități de frecvență (MHz).

## RECEPTOR PENTRU 10,7 MHz

Radioenerima din figura 11 este de fapt un amplificator de frecvență intermedie, ce are o amplificare globală de peste 80 dB, asigurînd un raport semnal/zgomot bun pentru convertoarele 144/10,7 MHz.

Etajul cu tranzistorul  $T_1$  (BF 215) amplifică semnalul de 10,7 ce se aplică la intrare. În colectorul tranzistorului  $T_1$  este montat un filtru trece bandă acordat pe 10,7 MHz, format din bobinele  $L_1$  și  $L_2$ . Acestea sunt bobine utilizate în radioenerima „Mamaia” în traiectul MF și au codul 22227.

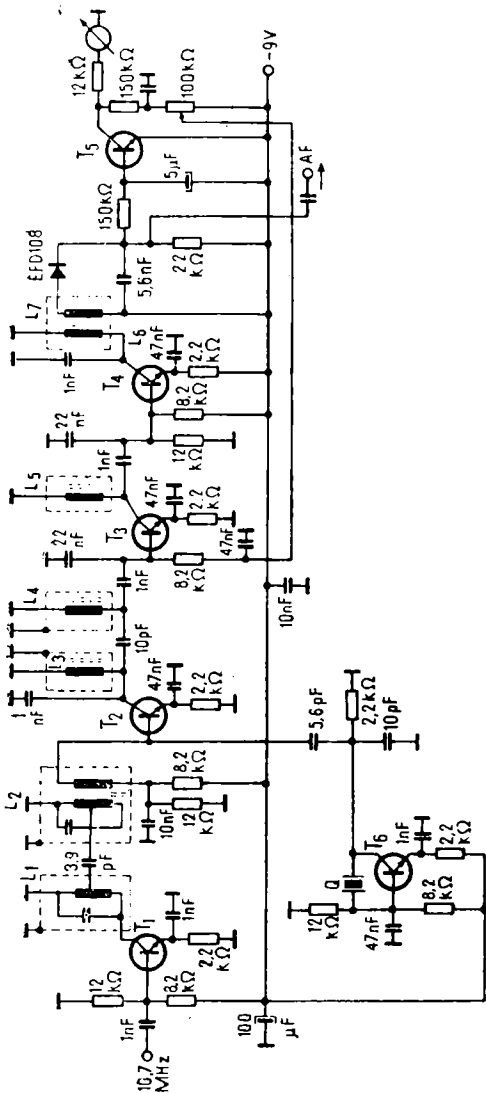


Fig. 11

În baza tranzistorului  $T_2$  (BF 215) se aplică semnal de 10,7 MHz și semnal de la un oscilator local echipat cu un cristal de quart. Cuarțul poate avea frecvență de 10,24 MHz. Semnalul din colectorul tranzistorului  $T_2$  are, în acest caz, frecvență de 460 kHz. Se pot utiliza și cristale cu alte frecvențe, dar și a două frecvență intermedieară va avea altă valoare.

Următoarele etaje amplifică semnalul de 460 MHz. Bobinele  $L_3$ ,  $L_4$  și  $L_5$  sunt construite pe suporturi de la transformatoarele de frecvență intermedieară a aparatelor de radio (Nordic, Albatros etc.), pe care se bobinează cîte 70 de spire CuEm  $\varnothing$  0,1.

Tranzistorul  $T_4$  are înmontat în colector un transformator care face adaptarea cu etajul detector. Acest transformator este realizat pe un miez identic cu al bobinei  $L_3$ . Înfășurarea  $L_6$  are 70 de spire, iar înfășurarea  $L_7$  are 50 de spire, ambele din sîrmă CuEm  $\varnothing$  0,1.

După detecție, semnalul util este trimis spre amplificatorul de audiofrecvență, iar componenta continuă aplicată bazei tranzistorului  $T_5$  (BC 107) spre amplificatorul pentru RAA.

Sarcina amplificatorului de curent continuu este compusă din două ramuri: o ramură conține un instrument de măsură (0,05–0,5 mA) pentru S-metru și o ramură de pe care se culege semnalul pentru RAA.

Etajul amplificator pentru RAA are pragul de funcționare pentru valori ale semnalului de la detector ce depășesc 0,7 V. Reglajul amplificării se poate face și manual din potențiometrul cu valoarea de 100 K $\Omega$ .

Toate tranzistoarele sunt de tip BF 214 sau BF 215, cu excepția tranzistorului  $T_5$  care este BC 107 sau BC 177.

Acest receptor (amplificator de frecvență intermedieară) este recomandat să fie cuplat la convertoarele prezentate în acest capitol.

## RECEPTOR — EMIȚĂTOR PENTRU 70 cm

Emitător — receptorul din figura 12 lucrează în banda de 70 cm. Tranzistorul  $T_1$  de tip BF 181, BF 183, BF 20, BFX 89, sau BFY 90 este cuplat în colector un circuit oscilant format din linia  $L_1$  și un condensator semivariabil.

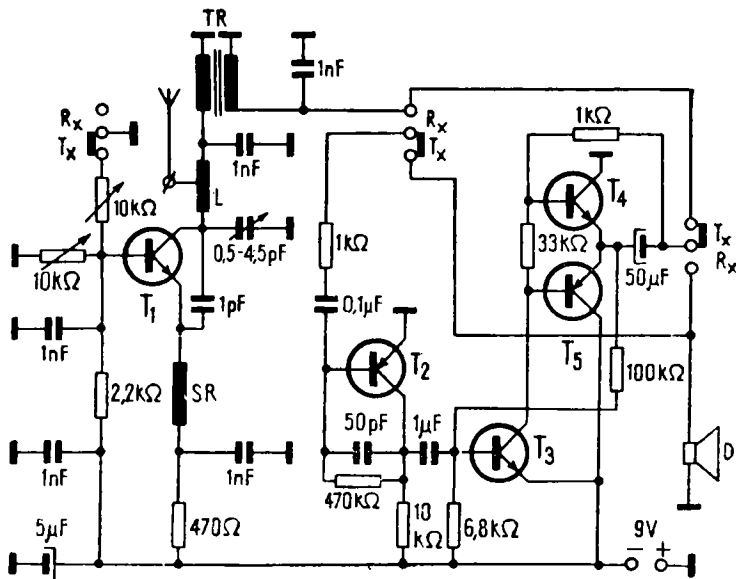


Fig. 12

Linia  $L$  este construită dintr-un conductor de cupru sau cupru argintiat, cu lungimea de 45 mm și diametrul de 1,2–1,5 mm.

La capătul liniei  $L_1$ , decuplată cu un condensator de 1 nF, se conectează un transformator miniatură (de la receptorul „Mamaia“ pentru cuplaj între etaje). Primarul transformatorului se conectează la linia  $L_1$ .

Amplificatorul de audiofrecvență conține 4 tranzistoare și este capabil să debiteze o putere de maximum 200 mW. Tranzistoarele  $T_2$  și  $T_3$  sunt EFT 323, iar  $T_4$  și  $T_5$  sunt EFT 373. Comutarea de pe emisie pe receptie, și invers, se face cu un comutator ( $3 \times 2$  poziții) de tipul celor utilizate în radioreceptorul „Zefir“.

Ca difuzor-microfon este folosită o cască telefonică (se recomandă o cască cu impedanță mare).

Regimul tranzistorului  $T_1$  se stabilește din potențiometrele semireglabile montate în bază. Antena este formată dintr-un fir de CuEm  $\varnothing 2$  cu lungimea de 17 cm și se couplează pe  $L_1$  la distanță de 30 mm de punctul unde este cuplat colectorul tranzistorului  $T_1$ .

În regim de recepție (superreactie) tranzistorul  $T_1$  are un curent de colector în jur de 1 mA, iar în regim de emisie curentul său de colector (fără modulație) ajunge la 5–7 mA. řocul  $S_r$  are 10 spire CuEm  $\emptyset$  02 bobinate pe un mic miez de ferită.

Într-o zonă fără obstacole, cu o perche de asemenea aparate se poate asigura legătura la distanță de 1 km.

### RECEPTOR SUPERREACTIE PENTRU 23 cm

O variantă optimă de receptor pentru 23 cm, prin simplitatea și numărul mic de piese ce le conține este superreactia (fig. 13).

Întregul aparat se compune din etajul de radiofreqvență și amplificatorul de audiofreqvență. Tranzistorul din etajul de superreactie este de tip BFY 90 sau BFX 89, dar funcționează cu rezultate bune și tranzistorul 2 N918.

La intrare, linia  $L_1$  constituie antena cuplată inductiv cu circuitul oscilant  $L_1C$ . Lungimea acestei linii este 60 mm și este din CuEm  $\emptyset$  1,5.

Distanța pînă la linia  $L_2$  este de 4 mm. Cele două linii se couplează pe o distanță de 10 mm (se montează paralel).

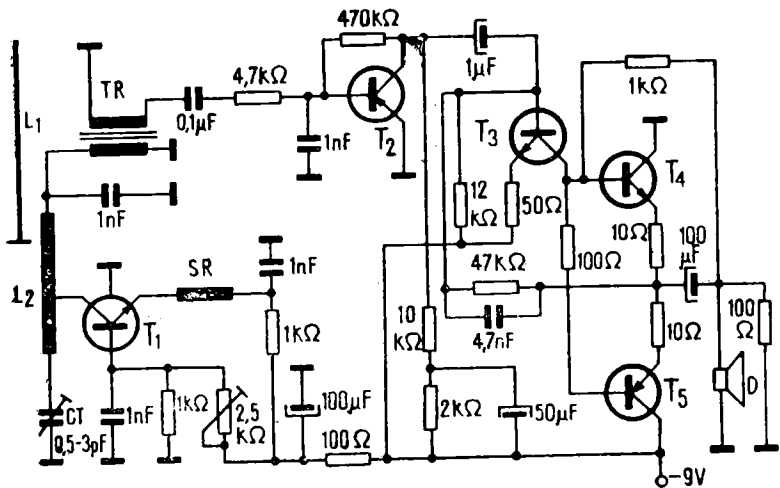


Fig. 13

Linia  $L_2$  din circuitul oscilant este construită din țeavă de CuAg  $\varnothing$  5 mm și are o lungime de 32 mm. Colectorul tranzistorului se lipște la distanța de 5 mm de punctul unde este montat condensatorul semivariabil. Celălalt capăt al liniei  $L_2$  este fixat pe un condensator de trecere. Prin condensatorul de trecere linia  $L_2$  este legată la transformatorul TR. Acest transformator este de la aparatul „Mamaia“, unde servește la cuplarea între etajul pre-final și final. La linia  $L_2$  se cuplează primarul transformatorului. În continuare, urmează un amplificator de audiofrecvență ce debitează semnalul pe un difuzor miniatură sau pe o cască telefonică.

Tranzistoarele  $T_2$  (EFT 323) și  $T_3$  (BC 107) formează două etaje amplificatoare de tensiune.

Tranzistoarele  $T_4$  (AC 181) și  $T_5$  (AC 180) formează etajul final de putere.

Intrarea în reacție a etajului superreacție se obține din polarizarea bazei tranzistorului  $T_1$  (prin manevrarea cursorului potențiometrului de  $2,5 \text{ k}\Omega$ ), cînd în difuzor începe să se audă fișitul specific acestui gen de receptor. După ce s-a stabilit funcționarea receptorului, se pune în funcțiune un emițător pe 23 cm și se manevrează trimerul  $CT$  pînă se recepționează semnalul emis.

Dacă la manevrarea condensatorului  $CT$  etajul are tendința de a ieși din oscilație, se revine asupra polarizării bazei tranzistorului  $T_1$ .

De refînuit că tranzistorul  $T_1$  are capsula introdusă într-un suport sudat la masă.

Socul de radiofrecvență  $SR$  are 5 spire din CuEm  $\varnothing 0,3$  bobinate pe un diametru de 2 mm.

Întregul montaj se introduce într-o cutie metalică din careiese doar antena.

Alimentarea radioreceptorului se face cu 9 V, consumul etajului superreacție fiind de 2,5 mA.

## CONVERTOR 144/6 MHz

Schema din figura 14 face conversia semnalului din 144 MHz în 6 MHz prin intermediul unui mixer echilibrat.

Cele două etaje cu tranzistoarele  $T_1$  și  $T_2$  (BF 181, BF 183 sau BF 200) formează un multivibrator a cărui frecvență este pilotată cu quart.

Frecvența quartului poate fi cuprinsă între 4 și 8 MHz, dar una din armonicele sale să fie egală cu 24 MHz. Pe frecvență

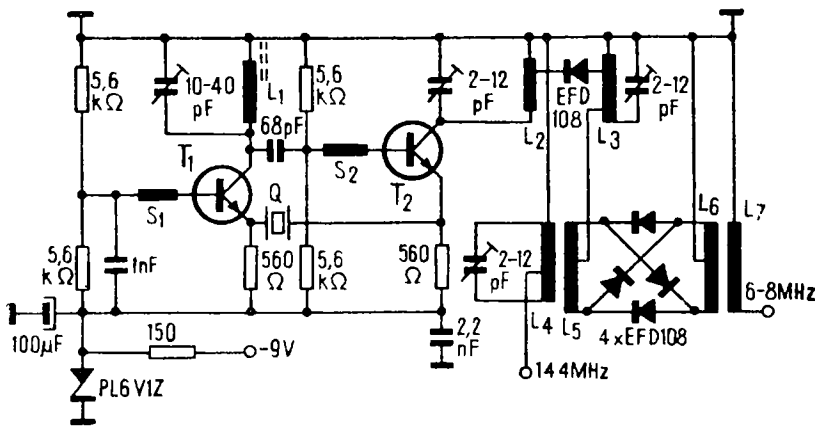


Fig. 14

de 23 MHz este acordat și circuitul din colectorul tranzistorului  $T_1$ . Bobina  $L_1$  are 12 spire din CuEm  $\varnothing$  0,4 bobinate pe o carcăsă  $\varnothing$  5 prevăzută cu miez de ferită. Bobina  $L_2$  are 8 spire CuEm  $\varnothing$  0,5, cu pas 1 mm. Diametrul bobinei este 5 mm, priză fiind spira 2,5. De la bobina  $L_2$  semnalul trece prin diodă și se aplică circuitului cu bobina  $L_3$ . Dioda distorsionează semnalul, iar circuitul următor, fiind acordat pe 138 MHz, selectează această frecvență. Bobina  $L_3$  are 5 spire CuEm  $\varnothing$  0,8 cu diametru 5 mm și prize la spira 1,5 și 2,5.

Bobinile  $L_4$  și  $L_5$  au cîte 5 spire construite din sîrmă CuAg  $\varnothing$  1 cu diametrul de 5 mm și pas 1 mm. Aceste bobine se montează paralel. Bobina  $L_4$  are priză la spira 1,5. Bobina 5 are priza exact la jumătate spre a se crea simetria mixerului echilibrat. Circuitul cu bobina  $L_4$  este acordat pe 145 MHz. Pe un tor de ferită (de tipul celor utilizate în circuitul de intrare la televizoare) se bobinează  $L_6$  și  $L_7$ .

Înfășurarea  $L_6$  are 12 spire din sîrmă de cupru izolată cu poli氯orură de vinil. Spre a se realizează o perfectă simetrizare, bobinarea se face cu fir dublu, 6 spire, după care se inseriază cele două bobine. Peste  $L_6$  cu același tip de sîrmă se bobinează  $L_7$  care are 6 spire.

Diodele din mixer sunt EFD 108 selectate ca să aibă aceeași rezistență în sensul de conducție.

Semnalul de la antenă se cuplează la bobina  $L_4$ . La bobina  $L_7$  se cuplează intrarea unui radioreceptor de unde scurte pe gama 6–8 MHz.

## CONVERTOR CU CUART

Convertorul din figura 15 are calități electrice bune, transpunând banda de 144 MHz în 10,7 MHz.

Etajul său de intrare are o pronunțată amplificare având montat un tranzistor p-n-p cu siliciu de tip SF 245. Pentru asigurarea funcționării stabile, etajul este prevăzut cu neutrodinare printr-un condensator semivariabil. În vederea eliminării oscilațiilor parazite, a fost introdus o perlă de ferită chiar pe borna colectorului tranzistorului  $T_1$ . Legarea preamplificatorului de etajul de conversie se realizează inductiv prin intermediul unui filtru de trecere ( $L_2L_3$ ).

În etajul de conversie se folosește SF 235 de construcție specială, dar se pot folosi și tranzistoare de tip SF 245 sau SF 240. Semnalul oscilatorului și semnalul din amplificatorul de intrare se aplică la baza tranzistorului de conversie.

Pentru oscillator se utilizează un tranzistor BF 215, stabilitatea frecvenței fiind asigurată de un cristal de quart. Quartul se montează între colector și bază, prin intermediul unui divizor capacitive.

Etajul următor din oscillator poate fi privit ca un multiplicator de frecvență, semnalele sale ajung la etajul de conversie.

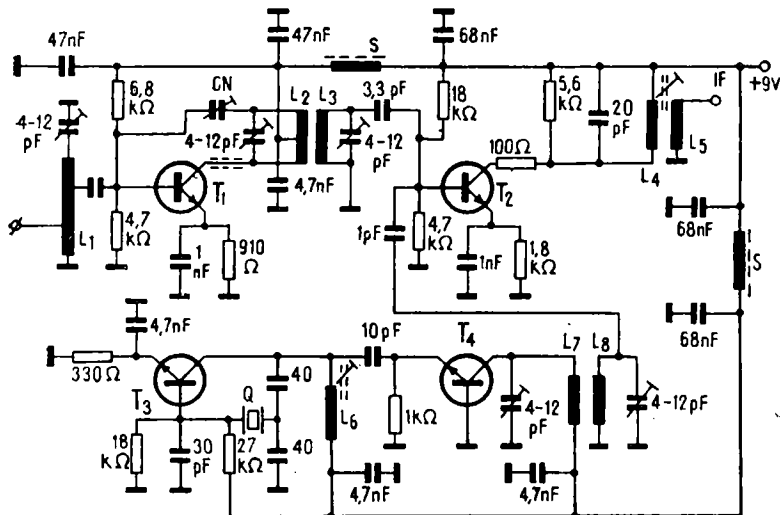


Fig. 15

Intrarea și ieșirea din preamplificator ( $T_1$ ) sunt acordate pe frecvență de 145 MHz.

În acest scop, bobina  $L_1$  cu diametrul de 6 mm (fără carcăsă) are 4 spire din sîrmă CuAg  $\varnothing$  0,8 cu pas 2 mm. Priza pentru antenă este la spira 1, iar pentru bază la spira 2,5.

Bobina  $L_2$  are 5,5 spire CuAg  $\varnothing$  0,8 cu diametrul de 6 mm, pas 1,5 mm și priză pentru alimentare la spira 3 de la colector. Condensatorul de neutrodiinare CN este semireglabil 4–12 pF, dar prin tatonări se poate monta și unul cu valoare fixă. Pe colectorul tranzistorului  $T_1$  este montată o perlă de ferită; în locul ei poate fi plantat un rezistor cu valoarea de 100  $\Omega$ .

Cuplajul semnalului la etajul de mixare se face prin bobina  $L_3$ . Aceasta are toate dimensiunile ca  $L_2$ , exceptând faptul că nu posedă o priză.

În montaj bobinele  $L_2$  și  $L_3$  se plasează paralel și simetric, distanța între ele fiind de 2 mm.

Etajul oscilator folosește un cuarț cu frecvență în jur de 9 MHz. La ieșirea etajului semnalul are frecvență de 27 MHz. Bobina  $L_6$ , având 15 spire din CuEm  $\varnothing$  0,3 pe o carcăsă cu diametrul de 6 mm este prevăzută cu miez de ferită (de la gama UUS).

Etajul cu tranzistorul  $T_4$  – BF 215 are ieșirea acordată pe 135 MHz.

Bobina  $L_7$  este fără carcăsă, cu diametrul de 5 mm și are 7 spire din sîrmă CuAg  $\varnothing$  1 cu pas 1 mm. Aceleași dimensiuni le are și bobina  $L_8$ . Distanța între  $L_7$  și  $L_8$  este de 2 mm.

Etajul schimbător de frecvență are la ieșirea sa un circuit acordat pe frecvență de 10,7 MHz. Bobinele  $L_4$  și  $L_5$  sunt realizate pe o carcăsă cu miez de la transformatoarele de frecvență intermediară pentru gama UUS din radioreceptoare.

Înfășurarea  $L_4$  are 35 de spire CuEm  $\varnothing$  0,3, iar  $L_5$  are 5 spire bobinate peste  $L_4$ .

În momentul în care elementele au fost montate, se recurge la o verificare prealabilă. Astfel, se poate constata dacă în timpul montării nu au fost făcute unele greșeli. Controlul se face la o tensiune de 9 V.

Consumul de energie al oscilatorului (9 V), fără cuarț, este de 9 mA. Cînd în montaj s-a introdus un cuarț, consumul crește similar. Cu ajutorul lui  $L_{16}$  se reglează curentul maxim pe colector.

Preamplificatorul are un curent pe colector de 3,5 mA. De o deosebită importanță este perlă de ferită care a fost montată în colectorul tranzistorului  $T_1$ .

Regimul de lucru al mixerului este ales astfel ca în colector curentul să fie de 0,7 mA.

Curentul în colectorul etajului de conversiune nu crește odată cu punerea în funcțiune a oscillatorului, cu condiția ca tensiunea eficace furnizată de acesta să fie cuprinsă între 200 și 800 mV.

Convertorul se execută pe circuit imprimat, etajele fiind compartmentate. Astfel, etajele din oscillator ocupă un compartiment, în timp ce circuitul  $L_1$  cu tranzistorul  $T_1$  sunt separate de circuitele  $L_2L_3$ , mixerul, la rîndul său, fiind separat.

## CONVERTOR CU OSCILATOR VARIABIL SEPARAT

Convertorul din figura 16 are calități tehnice deosebite în ceea ce privesc sensibilitatea, selectivitatea, raportul semnal/zgomot și stabilitatea în funcționare, transpunând 144 MHz în 10,7 MHz.

Constructiv, este format din cinci etaje distințe, și anume: amplificatorul de RF echipat cu tanzistorul  $T_4$  (40673); mixerul echipat cu tranzistorul  $T_5$  (40673); oscillatorul  $T_1$  (BF 183); separatorul  $T_2$  (BF 180) și amplificatorul  $T_3$  (BF 150).

Se observă acordul cu două comenzi independente, și anume: oscillatorul separat și etajul RF separat, obținîndu-se, în felul acesta, o selectivitate pronunțată.

Prin reglarea corectă a circuitelor din etajul de intrare banda de trecere poate fi îngustată la numai 100 kHz.

Mixarea semnalului furnizat de amplificatorul de RF cu semnalul de la oscillator se face cu un tranzistor MOSFET cu dublă-poartă, în felul acesta micșorîndu-se zgomotul propriu al mixerului, atenuarea semnalelor nedorite crescînd. Semnalul de frecvență intermediară obținut este selectat cu ajutorul circuitului oscilant din care face parte bobina  $L_{10}$ .

Oscillatorul, prin circuitul  $L_1Cv_3$  generează un semnal cu frecvență cuprinsă între 44,43 și 45,1 MHz.

Armonica a treia (din colectorul tranzistorului  $T_1$ ) se aplică în continuare (prin  $L_3$ ) etajului repetor, micșorînd astfel influența amplificatorului ( $T_4$ ) asupra frecvenței de bază a oscillatorului ( $T_1$ ).

Prin infășurarea  $L_5$ , la mixer ajunge un semnal cu o amplitudine de aproximativ  $2,5V_{vr}$ .

Pentru un mixaj corect este necesară reglarea cuplajului între  $L_5$  și  $L_4$ .

În cazul în care amplitudinea semnalului oscillatorului nu este constantă în toată banda, se va monta în derivație cu  $L_4$  o rezistență între 2–10 kΩ.

La reglaje se recomandă folosirea unui generator de semnal și a unui voltmetru electronic.

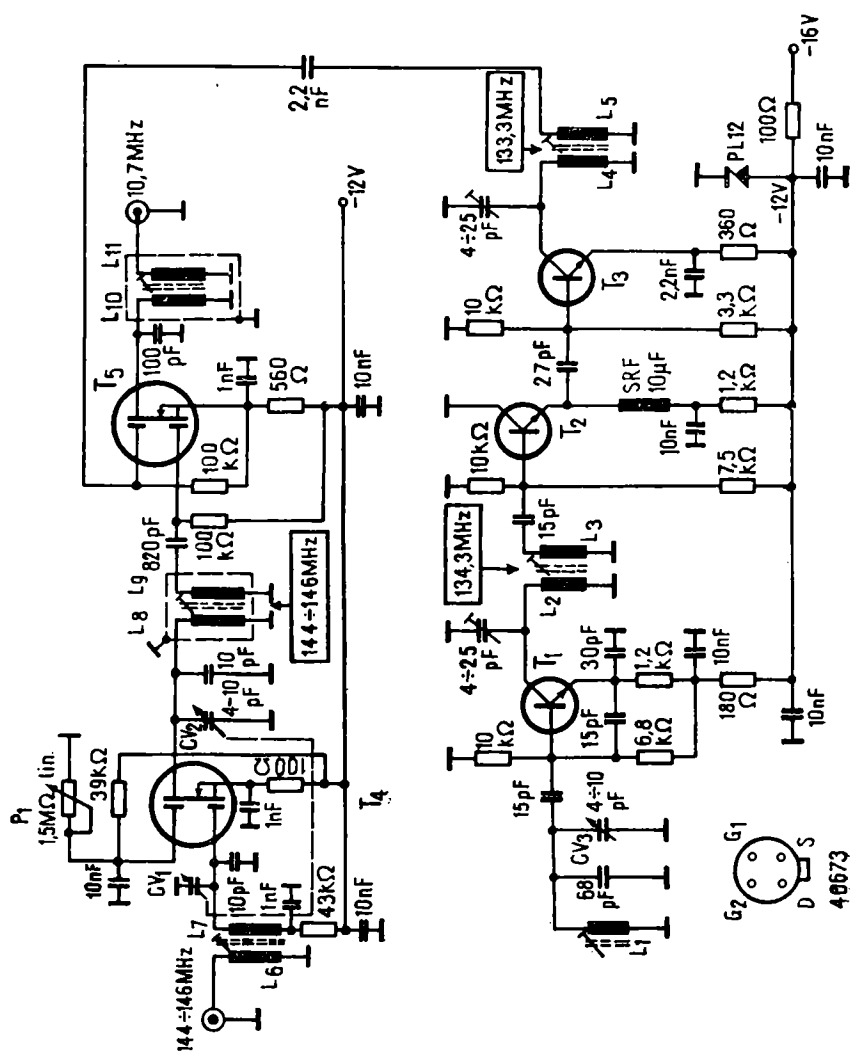


FIG. 16

46673

Frecvențele de acord ale circuitelor sunt indicate în schema de principiu.

Pentru reglarea sensibilității amplificatorului de RF, pe poarta 2 a tranzistorului  $T_4$  se aplică o tensiune variabilă prin potențiometrul  $P_1$ .

Bobinele utilizate, cu excepția  $L_{10}$  și  $L_{11}$ , sunt din sîrmă CuEm  $\varnothing$  0,35 pe carcase  $\varnothing$  5 cu miez de ferită. Astfel :  $L_1$  are 6 spire bobinate spiră îngă spiră ;  $L_2$  are 4 spire cu pas 1 mm ;  $L_3$  are o spiră fixată pe aceeași carcăsă cu  $L_2$ , la distanță de 3 mm ;  $L_4$  are 4 spire ;  $L_5$  are 1 spiră la distanță determinată pentru semnal maxim la ieșire.

În amplificatorul de radiofrecvență datele bobinelor sunt următoarele :  $L_6$  are spiră la distanță de 5 mm față de  $L_7$  ;  $L_7$  are 2,5 spire cu pas 1 mm ;  $L_8$  este identică cu  $L_7$ , iar  $L_9$  este identică cu  $L_8$ .

Bobinele  $L_{10}$  și  $L_{11}$  (constituite pe o carcăsă de transformator FI-MF) sunt cu sîrmă CuEm  $\varnothing$  0,1 în care  $L_{10}$  are 10 spire, iar  $L_{11}$  are 2 spire.  $L_{11}$  se bobinează peste  $L_{10}$ .

Socul din emitorul tranzistorului  $T_2$  este din CuEm  $\varnothing$  0,2 și are 20 de spire bobinate pe un miez de ferită  $\varnothing$  3.

## CONVERTOR CU MODULATOR ECHILIBRAT

Convertorul din figura 17 utilizează în amplificatorul deraadiofrecvență două tranzistoare, BFX 89 sau BFY 90, asigurîndu-se o mare sensibilitate.

Antena se couplează la o priză a bobinei  $L_1$  și, prin intermediul bobinei  $L_2$ , semnalul se aplică pe baza primului tranzistor. Primul circuit oscilant este acordat pe 144 MHz, iar următorul pe 145 MHz. Circuitul de cuplaj între  $T_1$  și  $T_2$  este acordat pe 145 MHz, iar circuitul din colectorul lui  $T_2$  este acordat pe 144 MHz.

Bobinele  $L_1$ ,  $L_2$ ,  $L_3$  și  $L_4$  se construiesc din sîrmă CuAg  $\varnothing$  1,6 fără carcăsă, diametru de 7 mm cu cîte 6 spire și pas 1,5 mm.

Bobina  $L_1$  are priză la spira 1,5, bobina  $L_2$  are priză la spira 1,25, bobina  $L_3$  are prize la spirele 1,5 și 5,25, iar bobina  $L_4$  are prize la spirele 4,3 și 5,75. Spre a se obține  $F_i = 10,7$  MHz, oscillatorul echipat cu tranzistorul BF 183 are frecvență variabilă între 133,3 MHz și 135,3 MHz. Această variație se obține din condensatorul  $C_V$ . Amplificatorul oscillatorului ( $T_4$ ) are un tranzistor BF 215.

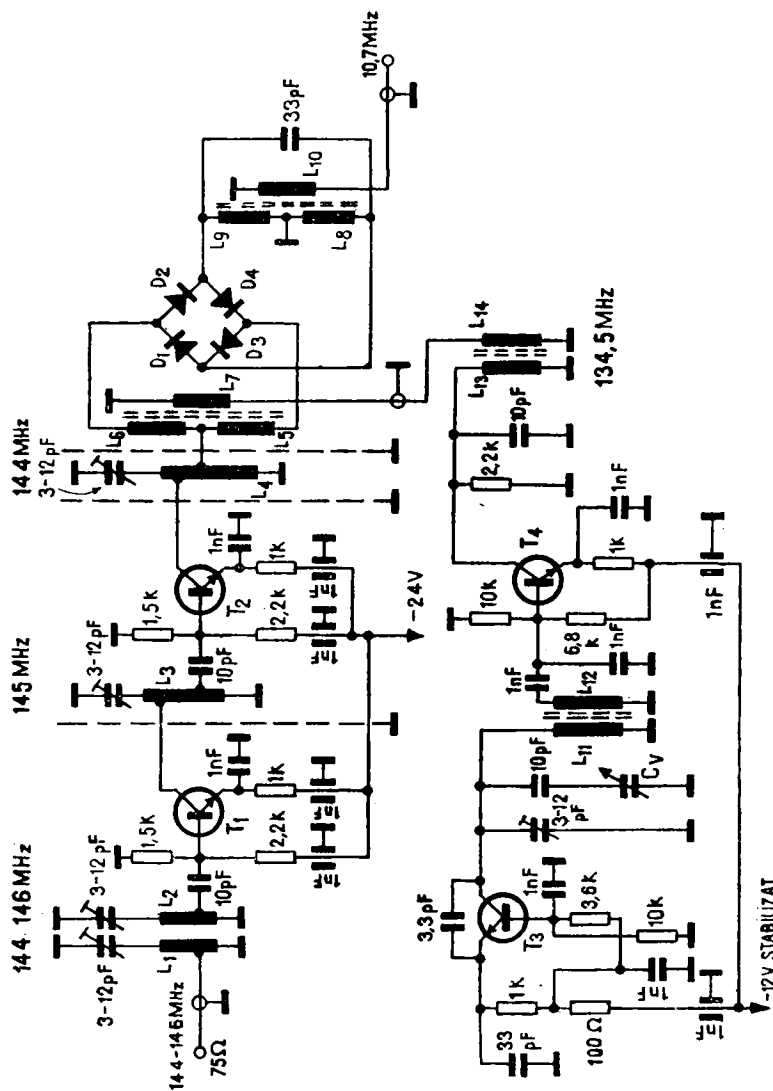


Fig. 17

Bobinele  $L_{11}$ ,  $L_{12}$ ,  $L_{13}$  și  $L_{14}$  se construiesc pe carcase  $\emptyset$  5 cu miez de ferită de tipul celor montate în blocul UUS al radioceptorului „Mamaia“.

Bobinele  $L_{11}$  și  $L_{13}$  au cîte 3,5 spire bobinate spiră lîngă spiră CuEm  $\emptyset$  0,6, iar bobinele  $L_{12}$  și  $L_{14}$  au cîte o spiră CuEm  $\emptyset$  0,2. Bobina  $L_{12}$  este plasată la 1 mm de  $L_{11}$ , iar bobina  $L_{14}$  se plasează la 1,5 mm de  $L_{13}$ .

Partea deosebită din acest convertor o constituie modulatorul. Acesta este de tip echilibrat cu 4 diode 1 N 4118 sau 1 N 914.

Înfășurările  $L_5$ — $L_6$ — $L_7$  sunt realizate pe o carcăsă de ferită de tip toroidal (în formă de 8), folosită la intrarea televizoarelor „Grigorescu“ și „Orion“. Înfășurările  $L_4$  și  $L_5$  se bobinează cu fir dublu după care se conectează corespunzător.

Înfășurările  $L_5$ ,  $L_6$ ,  $L_7$  au cîte 2 spire din sîrmă de cupru izolată cu PVC. Diametrul sîrmei pentru  $L_5$  și  $L_6$  este 0,15 mm, iar pentru  $L_7$  este 0,6 mm.

Înfășurările  $L_8$ — $L_9$ — $L_{10}$  se construiesc pe un miez tip „Mamaia“ cod 2336;  $L_8$  și  $L_9$  se bobinează pe galeții 1 și 3, iar  $L_{10}$  pe galetul 2.

$L_8$  are 8 spire CuEm  $\emptyset$  0,35,  $L_9$  are 8 spire CuEm  $\emptyset$  0,35,  $L_{10}$  are 3 spire CuEm  $\emptyset$  0,35.

Ieșirea de frecvență intermediară 10,7 MHz se couplează prin cablu ecranat la un amplificator FI.

Întreg montajul se introduce într-o cutie confectionată din plăcuțe de circuit imprimat dublu placat.

Tensiunile de 12 și 24 V vor fi stabilizate electronic.

## CONVERTOR CU TRANZISTOARE PNP

Cu tranzistoare AF 239 sau AF 139 se poate construi un convertor din 144 MHz în 10,7 MHz.

Convertorul din figura 18 se compune din 3 etaje și anume: amplificatorul de radiofrecvență ( $T_1$ ), mixerul ( $T_2$ ) și oscilatorul local ( $T_3$ ).

Etajul amplificator are la intrare și ieșirea sa circuite oscilante acordate pe 145 MHz.

Acordul acestor circuite și al oscilatorului se face simultan din condensatoarele  $CV$ . Acestea sunt 3 pe un ax (3–12 pF). În serie cu  $Cv$  sunt montate condensatoarele  $CS$  de aproximativ 4,7 pF, iar în paralel cu acest grup sunt montate condensatoarele  $CT$  (2–12 pF).

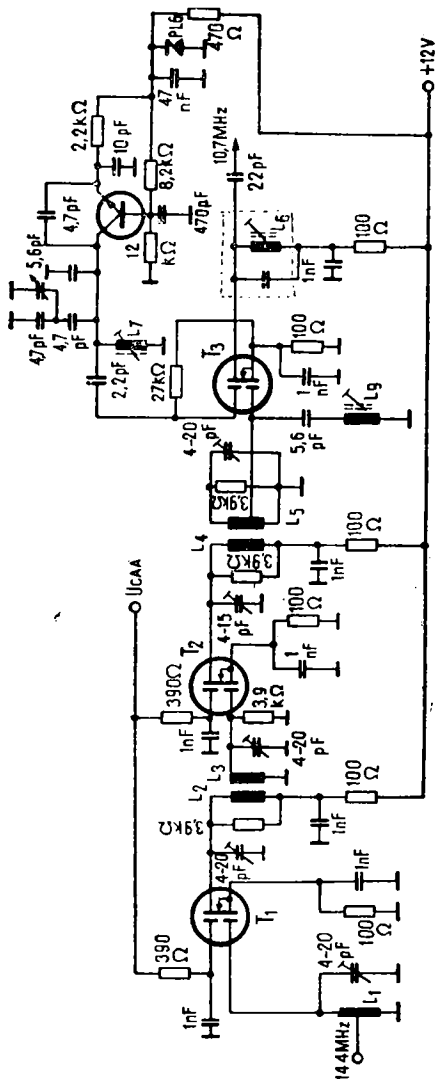


Fig. 19

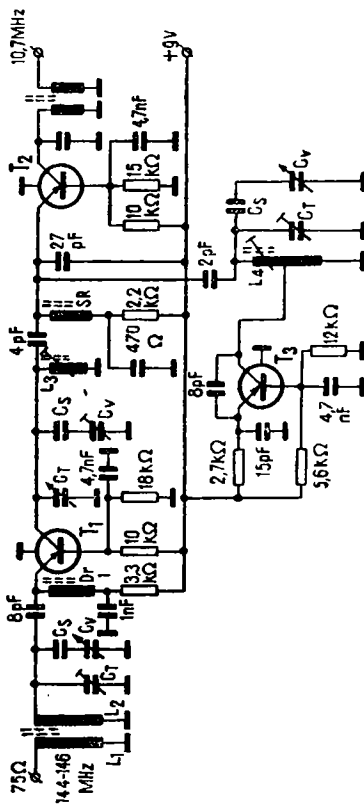


Fig. 18

Bobinele sunt construite pe carcase de la blocul UUS (din radioreceptoarele industriale) cu sîrmă CuAg sau CuEm  $\varnothing$  0,4. Înfășurările  $L_2$ ,  $L_3$  și  $L_4$  au cîte 4 spire, pas 0,6. Pe bobina  $L_4$  se scoate o priză (pentru colector) la spira 1. Pe carcasa bobinei  $L_2$  se mai bobinează 2 spire CuEm  $\varnothing$  0,25, spiră lîngă spiră, la distanța de 2 mm de  $L_2$ . Aceasta constituie înfășurarea  $L_1$ . La ieșirea mixerului ( $T_2$ ) se montează un transformator FI-MF — de la radioreceptoare, acordat pe frecvența de 10,7 MHz.

Convertorul are o sensibilitate și un raport semnal/zgomot foarte bune. Alimentarea se face cu tensiune stabilizată. řocul  $D_r$  are 10 spire CuEm  $\varnothing$  0,2 bobinate pe un miez de ferită  $\varnothing$  3.

## CONVERTOR CU TRANZISTOARE MOS-FET

Convertorul din figura 19 transpune banda de 2 m în frecvența de 10,7 MHz, utilizînd tranzistoare MOS-FET.

Tranzistorul din primul etaj este de tip 40673. Tranzistoarele  $T_2$  și  $T_3$  pot fi 40603, 40673 sau 3 N140. Amplificarea primelor două tranzistoare este de aproximativ 35 dB.

La poarta 1 a etajului mixer este montat și un etaj de rezecție L8C pentru frecvențele imagine.

Bobinele  $L_1$ ,  $L_2$ ,  $L_3$ ,  $L_4$  și  $L_5$  au cîte 5 spire CuAg  $\varnothing$  0,6 cu diametrul 6 mm și pas 0,6 mm. Bobinele  $L_1$  și  $L_5$  au priză la spira 1,5.

Etajul oscilator este construit cu tranzistorul BF 214.

Bobinele  $L_7$  și  $L_8$  sunt construite pe carcase de la blocul UUS „Mamaia“, din sîrmă CuAg  $\varnothing$  0,4 pas 0,5 mm ;  $L_7$  are 4 spire,  $L_8$  are 5 spire.

În drena tranzistorului  $T_3$  se montează un circuit acordat pe frecvența intermedieră de 10,7 MHz.

Condensatorul variabil de acord de la oscilator acoperă valurile 2–12 pF. Montarea convertorului se face pe circuit imprimat sau clasic într-o cutie compartimentată.

## CONVERTOR 432/144 MHz

Transpunerea benzii de 70 cm în banda de 2 m se poate obține cu convertorul din figura 20.

Convertorul se compune din amplificatorul pe frecvență de 432 MHz, echipat cu tranzistorul  $T_1$  de tip BF 181 sau 2 N918, mixerul cu tranzistorul  $T_5$  (BF 181) și heterodina locală cu tranzistoarele  $T_2$ ,  $T_3$  și  $T_4$ , toate de tip BF 200.

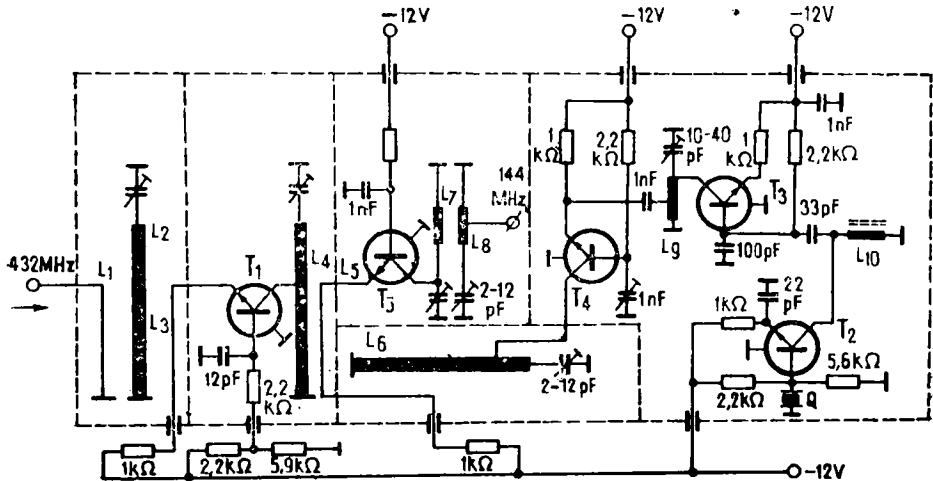


Fig. 20

De la antenă, prin linia  $L_1$ , semnalul este cuplat circuitului oscilant  $L_2C$  acordat pe frecvență de 432 MHz. Legătura cu antena se face cu un cablu de  $75 \Omega$ . În continuare, prin linia  $L_3$  semnalul este aplicat etajului amplificator, ce are în colector tot un circuit oscilant acordat pe 432 MHz. Liniile  $L_1$  și  $L_3$  se construiesc din CuAg  $\varnothing 1$ , cu lungimile de 45 mm și se fixează la distanță de 4 mm de linia  $L_2$ . Liniile  $L_2$  și  $L_4$  sunt din CuAg  $\varnothing 1,2$  și au lungimile de 60 mm. Condensatoarele lor de acord au capacitatea  $0,6 - 4 \text{ pF}$ . Colectorul tranzistorului  $T_1$  se cuplează la 45 mm.

Tranzistorul  $T_2$  constituie un etaj oscilator cu cuaț ce are frecvență de 32 MHz. Bobina  $L_{10}$  se construiește pe o carcăsă  $\varnothing 4$  are 12 spire CuEm  $\varnothing 0,3$ . Miezul de ferită este pentru gama UUS. Etajul cu tranzistorul  $T_3$  lucrează ca triplor de frecvență, circuitul din colectorul său fiind acordat pe 96 MHz.

Bobina  $L_9$  este fără carcăsă, are  $\varnothing 5 \text{ mm}$  și este compusă din 6 spire CuAg  $\varnothing 0,8$  cu priză pentru cuplaj la spira 1,5. Următorul etaj  $T_4$  este tot un triplor de frecvență la ieșirea sa semnalul având 288 MHz. Linia  $L_8$  este construită din CuAg  $\varnothing 1$  și are lungimea de 60 mm. Colectorul tranzistorului  $T_4$  se cuplează la 45 mm de la masă.

De la linia  $L_4$  și linia  $L_6$ , prin linia  $L_5$ , semnalele din antenă, respectiv din oscilator, se aplică etajului mixer  $T_5$ . La ieșirea mixerului semnalul are frecvență de 144 MHz, fiind selectat de cir-

cuitele oscilante cu bobinele  $L_7$  și  $L_8$  și este aplicat apoi unui receptor pentru banda de 2 m.

Bobinele au cîte 5 spire CuAg  $\varnothing$  1, pas 0,8 mm și diametru de 6 mm. Priza pe bobina  $L_8$  este la spira 1,5. Distanța între bobinele  $L_7$  și  $L_8$  se alege între 1,5 și 2 mm. Construcția convertorului se face pe compartimente, alimentarea fiind de 12 V.

Intrarea semnalului de 432 MHz și ieșirea de 144 MHz se asigură prin mufe sau cable coaxiale. Intrările pentru alimentare se fac prin condensatoare de trecere. Condensatoarele de acord vor fi de tip tubular ce se sudează de șasiu, acordul făcindu-se din exteriorul cutiei.

## CONVERTOR 1296/146 MHz

Recepția semnalelor din banda de 23 cm se poate efectua prin intermediul convertorului din figura 21.

Acest convertor este compus dintr-un oscilator local pilotat cu cuarți, cu etaj de mixare și un etaj de amplificare al frecvenței intermediare rezultate.

Oscilatorul local furnizează un semnal cu frecvență de 1 150 MHz. În mixer sărgează și semnalul de la antenă, cu frecvență de 1 296 MHz. Aceste două semnale sunt aplicate prin liniiile  $L_5$  și  $L_6$  unei diode metaloceramice montată între ele. În serie cu dioda se află un circuit oscillant ( $L_7, C$ ) acordat pe frecvență de 146 MHz. Semnalul de 146 MHz rezultat este amplificat de tranzistorul  $T_6$  și aplicat la intrarea unui radioreceptor pentru gama de 2 m.

În oscilator se pleacă de la frecvență de 11,5 MHz, la ieșirea tranzistorului  $T_1$  circuitul oscillant fiind acordat pe armonica a 5-a, deci pe 47,5 MHz.

Etajul cu tranzistorul  $T_2$  lucrează ca amplificator de radiofrecvență acordat tot pe 57,5 MHz. Următorul etaj ( $T_3$ ) este în regim de multiplicator de frecvență cu un ordin de multiplicare 5. Deci, în colectorul tranzistorului  $T_4$  se obține un semnal cu frecvență de 287,5 MHz. Etajul cu tranzistorul  $T_4$  lucrează în regim de dublare a frecvenței, la ieșirea sa obținându-se frecvența de 575 MHz. Ultimul etaj este tot un dublu de frecvență și are ca sarcină linia  $L_5$  din mixer, semnalul său de ieșire având frecvența de 1 150 MHz.

Cele două circuite oscilante, din baza și colectorul tranzistorului  $T_6$  sunt acordate pe frecvența de 146 MHz.

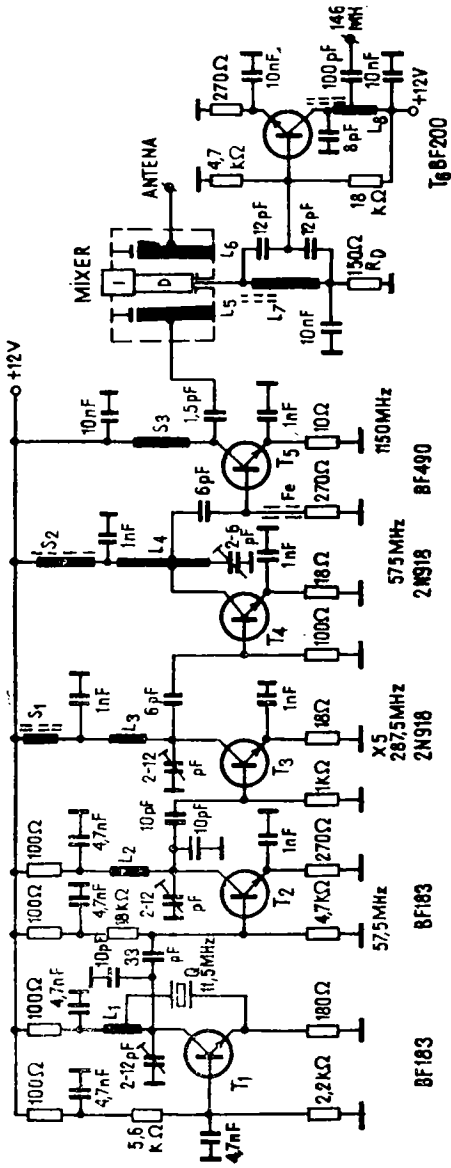


Fig. 21

Bobinele  $L_1$  și  $L_2$  se construiesc din CuEm  $\varnothing 0,8$  fără carcăsă cu diametrul interior 6 mm și au cîte 10 spire. Pe bobina  $L_1$  priza pentru cuplarea cuartului se ia la spira 4.

Bobina  $L_3$  se face din CuAg (eventual CuEm)  $\varnothing 1$  și are 3 spire. Diametrul bobinajului este de 8 mm.

Linia  $L_4$  este construită dintr-un fir de CuAg  $\varnothing 2$  și are lungimea de 7,5 cm. Cuplajul colectorului tranzistorului  $T_4$  și al bazei tranzistorului  $T_5$  se face la jumătatea liniei.

Bobinele  $L_7$  și  $L_8$  se construiesc pe carcăse de la blocul UU\$ „Mamaia“ și au cîte 3,5 spire din CuAg  $\varnothing 0,4$  bobinaj cu pas 1 mm. Priza pe bobina  $L_8$  se ia pe spira 1,5.

Socurile  $S_1$  și  $S_2$  sunt construite din CuEm  $\varnothing 0,4$  și au cîte 10 spire  $\varnothing 4$ ; șocul  $L_3$  este construit cu aceeași sîrmă și are 5 spire  $\varnothing 0,4$ .

Etajul schimbător de frecvență (mixer) este construit într-o cutie din aluminiu sau sticlotextolit dublu placat (eventual din cupru etc.) cu dimensiunile  $50 \times 46 \times 25$ . Cutia este prevăzută cu capacă, deci formează o incintă închisă. Modul de fixare al diodei și celor două linii este prezentat în schița din figura 22.

În această schiță reperele 1 sint liniile  $L_5$  și  $L_6$  construite din cupru argintat  $\varnothing 5$ . La distanță de 10 mm de la masă, pe aceste linii se couplează colectorul tranzistorului  $T_5$ , respectiv antena.

Dioda-reper 6 este fixată între reperele 2 și 3.

Reperul 2 este construit din bronz, are lungimea de 14 mm și este astfel modelat ca să fixeze virful diodei. Această piesă este prevăzută cu filet și piuliță. Reperul 3 este construit dintr-un material izolant (teflon, textolit, plexiglas etc.). La capătul spre diodă are o placă metalică (cu o scobitură de 1 mm) continuată prin corpul piesei izolante cu un fir metalic ce face legătura cu bobina  $L_7$ .

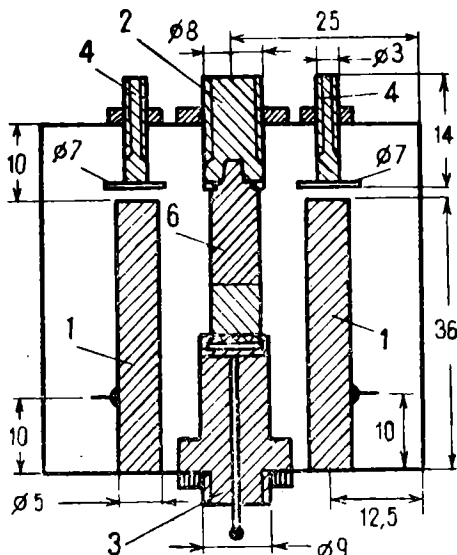


Fig. 22

Reperul 3 poate fi prins de cutie cu o piuliță sau lipit cu un adeziv.

Reperul 4 este un șurub (de fapt cîte unul pentru fiecare linie), prevăzut la cap cu o rondelă  $\varnothing$  7 ce constituie armătura condensatorului de acord al liniei  $L_5$  sau  $L_6$ . Aceste șuruburi sunt prevăzute și cu piulițe.

Acordul mixerului se face urmărind un curent maxim prin rezistența  $RD$ .

Acordul mixerului se poate verifica în condițiile de semnal aplicat pe cele două linii  $L_5$  și  $L_6$  și măsurând curentul prin rezistența  $RD$ , care trebuie să fie peste 200  $\mu A$ .

Întreg convertorul se construiește în compartimente ecranate între etaje. Elementele de alimentare cu energie electrică vor fi separate de etajele propriu-zise din punctele condensatoarelor de decuplare care pot fi chiar condensatoare de trecere.

Este bine ca acordul fiecărui circuit oscilant să fie verificat și cu un grid-dip.

Convertorul se va monta în imediata apropiere a antenei, legătura pînă la receptorul de 2 m făcîndu-se prin cablu coaxial.

### AMPLIFICATOR DE ANTENĂ PENTRU 2 m

Deosebit de eficace ca amplificatoare de radiofreqvență sunt tranzistoarele cu efect de cîmp. Amplificatorul de antenă din figura 23 este construit pentru banda de 2 m și utilizează două tranzistoare cu efect de cîmp de tip BF 245 (sau echivalent), montate cu poarta la masă.

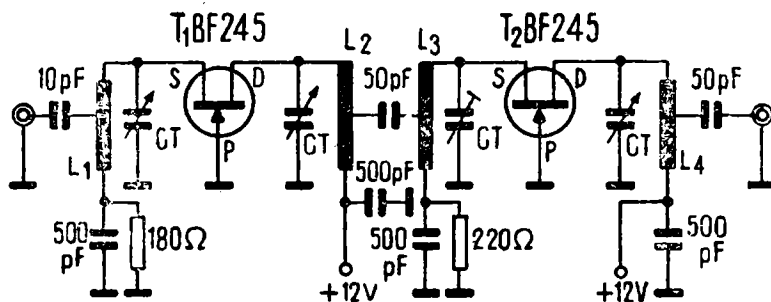


Fig. 23

Toate bobinele sint construite din CuAg  $\varnothing$  0,8 cu pas 0,8 și au cîte 5 spire bobinate în aer cu diametrul interior de 6 mm. Prizele sint luate de la spira 2. Condensatoarele semivariabile de acord  $CT$  au valoarea 2–12 pF.

Amplificatorul se construiește într-o cutie cu 3 compartimente. În primul compartiment este bobina  $L_1$  și tranzistorul, în compartimentul următor circuitele  $L_2$  și  $L_3$  împreună cu tranzistorul  $T_2$ , iar în ultimul compartiment circuitul oscilant de ieșire  $L_4CT$ .

Amplificatorul se montează pe antenă, alimentarea tranzistoarelor asigurîndu-se prin cablul coaxial.

### PREAMPLIFICATOR PENTRU 70 cm

Se poate construi un preamplificator sau amplificator de antenă cu calități electrice foarte bune, utilizînd un tranzistor cu efect de cîmp de tipul BF W 11 (fig. 24).

Montajul este construit într-o cutie cu două compartimente, tranzistorul fiind montat cu poarta la masă, intrarea semnalului făcîndu-se pe sursă.

Liniile  $L_1$  și  $L_2$  sint construite din sîrmă de Cu sau CuAg  $\varnothing$  1,2 și au lungimea de 60 mm fiecare.

Cuplajul intrării și ieșirii se face la 4 cm de la punctul rece.

Amplificarea acestui montaj este de 11 dB. Regimul pentru amplificare maximă și zgomot minim se stabilește din potențiometrul de  $1\text{ k}\Omega$ .

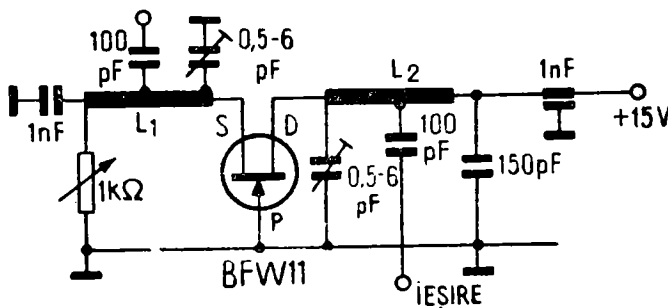


Fig. 24

## PREAMPLIFICATOR PENTRU BANDA DE 23 cm

Un preamplificator pentru banda de 1 296 MHz echipat cu tranzistorul AF 267 este prezentat în figura 25.

Alimentat cu 12 V și avind un consum de 2,5 mA, acest montaj realizează o amplificare de 12 dB.

Tranzistorul este cuplat cu baza la masă. Atât la intrarea cît și la ieșirea montajului sunt circuite oscilante formate din linii  $\lambda/4$ .

Cutia preamplificatorului cu dimensiunile de 37 mm  $\times$  47 mm  $\times$  18 mm se confectionează din placă imprimată cuprată pe ambele fețe. În cazul că numai una din fețe este cuprată, aceasta se va monta cu partea cuprată în interior. Cutia se va împărți în două compartimente cu un perete despărțitor (același material), iar pe acesta se fixează (într-un orificiu de  $\varnothing$  6 mm) tranzistorul.

Liniile se fac din bară ( $34 \times 6 \times 0,5$ ) sau țeavă de cupru argintată  $\varnothing$  3 mm și au lungimea de 34 mm. Un capăt al liniei este sudat la masă celălalt este rigidizat pe condensatorul trimer.

Dimensiunile pentru cuplarea cablelor coaxiale și ale terminalelor tranzistorului la linii sunt notate pe schemă.

Capsula tranzistorului este pusă la masa montajului. Se vor utiliza condensatoare disc pentru cuplajul emitorului și colectorului.

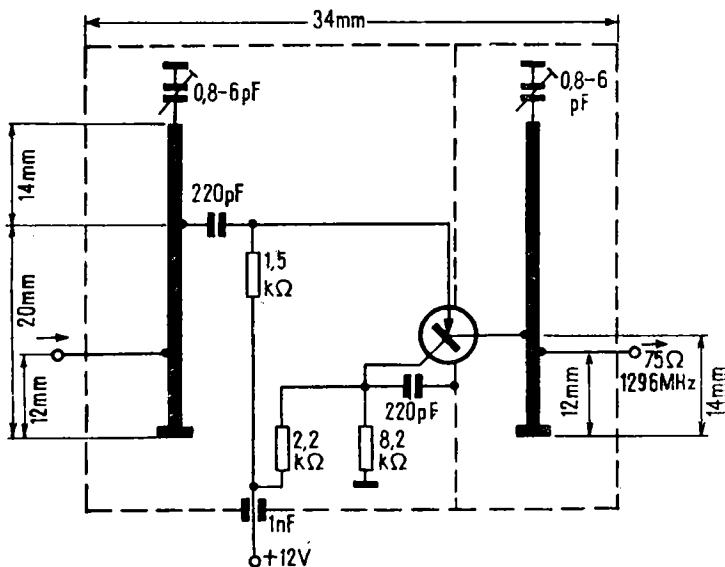


Fig. 25

## CAPITOLUL II

### **EMIȚATOARE**

#### **EMIȚATOARE PENTRU BANDA DE 2 m**

Tehnica construcției emițătoarelor pentru banda de 2 m impune respectarea unor cerințe specifice undelor ultrascurte, spre a se evita cuplajul parazit între etaje sau emiterea unor armonice în alte benzi de frecvență.

Semnal cu frecvența de 144 MHz se obține, de obicei, prin multiplicarea convenabilă a unui semnal cu una din frecvențele : 6 ; 7,2 ; 8 ; 9 ; 12 ; 24 ; 36 ; 72 MHz. Cum benzile de frecvențe alocate radioamatorilor sunt intercalate între benzile de comunicații ale altor servicii, se impune o mare stabilitate de frecvență a semnalelor emise și o atenuare convenabilă, în special a armonicilor de ordinul 2 și 3. Se recomandă ca emițătoarele să utilizeze oscilatoare stabile, eventual pilotate cu cristale de cuarț. Un dezavantaj al oscilatoarelor cu cuarț este imposibilitatea deplasării semnalului în bandă, scăzîndu-i eficacitatea în timpul concursurilor sau pentru stabilirea unor DX-uri. Acestea neajunsuri pot fi eliminate dacă se folosesc oscilatoare de bandă (VFO), dar, după cum specifică literatura de specialitate, stabilitatea lor de frecvență se obține cu precauții deosebite. În primul rînd, tensiunea lor de alimentare trebuie să fie foarte stabilă. De aceea, din alimentatorul general, ce are tensiunea bine filtrată și stabilizată electronic (vezi montajele din cap. Alimentatoare), pentru etajul oscillator se ia numai o parte din această tensiune ce se trece printr-un filtru suplimentar și încă un stabilizator de tensiune. Acest mod de alimentare în etajului oscillator VFO exclude, în același timp, influența celoralte etaje asupra sa prin circuitul de alimentare.

O altă măsură de precauție pentru VFO-uri este utilizarea unor piese, în special condensatoare, a căror valoare au o variație cît mai mică față de temperatură. În montaje se plantează condensatoare cu coeficient termic pozitiv și negativ, care în timpul funcționării se compensează reciproc, deriva de frecvență a oscillatorului fiind astfel în limitele admise.

înfluența temperaturii mai poate fi atenuată prin termoștarea întregului montaj. Elementul activ din oscilator (tranzistor sau tub electronic) trebuie să fie stabil în funcționare, să aibă o amplificare suficient de mare și să fie puțin zgomotos.

Spre a se evita cuplajele parazite cu alte etaje, etajul oscilator se introduce într-un ecran magnetic. Oscilațoarele VFO se construiesc pentru un semnal cu frecvență de maximum 12 MHz, peste această frecvență devenind instabile.

Un hibrid între oscilatorul cu cuarț și oscilatorul de bandă îl constituie oscilatorul de tip VFX.

Semnalul util la aceste oscilațoare se obține din mixarea unui semnal provenit de la un oscilator cu cuarț cu un semnal de la un oscilator de bandă. În general, pentru stabilitatea frecvenței, semnalul de la cuarț are frecvență mult mai mare ca semnalul de la oscilatorul de bandă (raport mai mare de 10/1). În felul acesta, semnalul rezultat are stabilitatea apropiată unui oscilator cu cuarț și poate fi deplasat în bandă. Ca mărimi orientative, oscilatorul cu cuarț are frecvență de 27 MHz, iar oscilatorul de bandă de 3 MHz, rezultanta având 24 MHz, după care prin multiplicări corespunzătoare se obține semnalul de 144 MHz.

Tinând cont de aceste cerințe și precauții în privința stabilității de frecvență, în practică nu se utilizează emițătoare autooscila-toare.

Emitătoarele pe 144 MHz, în afară de oscilațoare au în componenta lor etaje multiplicatoare de frecvență, amplificatoare de tensiune și putere. Este cunoscut faptul că aceste etaje lucrează în clasa B sau C. Multiplicarea de frecvență se face la nivele mici. O deosebită atenție trebuie acordată montării și fixării unui regim de lucru optim tranzistoarelor de putere din etajul final și prefinal.

Un regim corespunzător de lucru pentru un tranzistor de putere se obține numai atunci când tranzistorul are o bună adaptare a impedanțelor, atât la ieșire cît și la intrare. Impedanțele de ieșire și de intrare conțin, pe lângă componente rezistive, și componente reactive care, însă, se pot compensa cu ajutorul unor circuite de adaptare. Componentele rezistive de la intrare și de la ieșire trebuie să fie adaptate, cu rezistența sursei, respectiv cu rezistența de sarcină.

Circuitul de ieșire al emițătorului se construiește ca să compenseze componente reactive ale impedanței de ieșire a tranzistorului și să adapteze la rezistență sa de ieșire o rezistență de sarcină care, de regulă, are valoarea cuprinsă între 50 și 75 Ω. Datorită faptului că etajele de putere lucrează în clasă B sau C, ele generează un număr mare de armonici, atenuarea lor revenind

tot circuitului de adaptare. Adaptarea de impedanțe reduce puterea disipată, îmbunătățește randamentul etajului, asigurând o amplificare maximă de putere. Se știe că, la etajele finale de putere, mai importantă este puterea maximă la ieșire, decât amplificarea maximă de putere. Puterea maximală de ieșire se determină din tensiunea pe colector  $U_{ce}$  și rezistența de lucru după formula :

$$P_{iesire} = \frac{U_{ce}^2}{2 R_c}$$

Alegerea circuitului de ieșire depinde, în mare măsură, de frecvența de lucru și de putere. La frecvențe înalte și puteri mari circuitele rezonante paralel nu se mai recomandă, folosindu-se numai circuite rezonante serie, cuplarea sarcinii putîndu-se face capacativ.

Circuitul de intrare în etajul final trebuie să facă transferul energiei etajului prefinal către etajul final. Întrucât etajul final este constituit, de regulă, cu un alt tip de tranzistor, rezistența de sarcină solicitată pentru colectorul prefinalului este întotdeauna mai mare decât impedanța bază-emitor din etajul final. Impedanța bază-emitor din etajul final trebuie astfel transformată, încit să corespundă sarcinii etajului prefinal.

În figura 26 este redată schema pentru două etaje care poate fi utilizată atunci cînd impedanța din colectorul prefinalului este mai mare decât impedanța de intrare a etajului final. Colectorul tranzistorului din etajul prefinal este în paralel cu circuitul oscilant  $L_1$ ,  $C_1$ ,  $C_2$ , cît și cu capacitatea parazită de ieșire  $C_0$ . Jocuriunea bază-emitor din etajul final formează cu piesele circuitului oscilant  $C_2$ ,  $L_2$  un circuit serie. Ca circuit de cuplaj se folosește de seori filtrul  $\pi$  (fig. 27).

Pentru a ne da mai bine seama de modul de funcționare, privim filtrul  $\pi$  (denumit și filtru Collins) ca un circuit oscilant paralel, în care adaptarea rezistenței  $R_2$  are loc prin intermediul

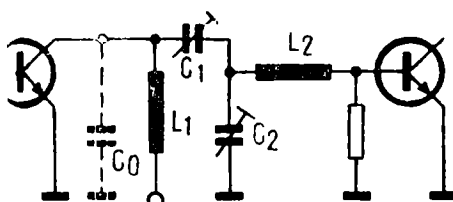


Fig. 26

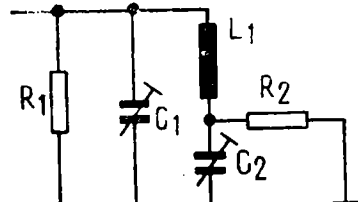


Fig. 27

unui divizor de tensiune. Acordul circuitului se face numai din condensatorul  $C_1$ , celelalte componente trebuie să apară, deci, inductive. Astfel, rezistența de putere  $R_2$  devine  $R_1$  montată în paralel pe  $C_1$ .

Condensatoarele  $C_1$  și  $C_2$  sunt semivariabile pentru a se realiza atât acordul, cât și transferul optim.

Pentru filtrul  $\pi$ ,  $R_1 > R_2$ , deci se poate folosi și la acordul etajului final cu antena.

Acest mod de cuplare are dezavantajul că raportul de transfer este influențat de elementele reactive ale sarcinii.

Modularea emițătoarelor constituie un proces de mare importanță.

Pentru modularea în frecvență — MF — acest proces are loc în etajul oscilator, în care un element reactiv (condensator în majoritatea cazurilor) își schimbă valoarea în funcție de amplitudinea semnalului de audiofrecvență. Special constituite acestui scop sunt diodele varicap. Ca tehnică, modulația de frecvență are avantajul că necesită semnal de audiofrecvență cu nivel mic. Modulația de amplitudine se obține în etajul final de putere prin variația tensiunii de alimentare a colectorului în ritmul semnalului de audiofrecvență. Puterea amplificatorului de audiofrecvență, pentru a modula în amplitudine un emițător, trebuie să fie egală cu a etajului final de radiofrecvență. Ca să se obțină un procent de modulație de 100% și un grad de distorsiuni mic, se modulează și etajul prefinal cu un procent de pînă la 40%. De reținut că un coeficient de modulație de 100% mărește puterea emisă de patru ori.

Ca etajul final în procesul de modulație să nu fie supus unor supratensiuni, în circuitul său se montează o diodă Zener cu  $U_z = 2U_c$ , sau modulatorul este prevăzut cu compresor de dinamică.

## MICROEMIȚĂTOR

Un microemisător pentru 144 MHz pilotat cu cuarț se poate construi cu două tranzistoare (fig. 28). Acest emisător cu rază mică de acțiune poate fi folosit ca reper pentru acordarea radio-receptoarelor, sau chiar pentru transmisiuni telegrafice. Cuarțul poate fi de orice frecvență, cu condiția ca una din armonicele sale, pare sau impare, să se includă în banda de 2 m.

Tranzistoarele  $T_1$  și  $T_2$  sunt de tip BF 214 ; BF 215 ; BF 200 etc. Circuitul oscilant din colectorul primului tranzistor este acordat chiar în banda de 2 m. Bobina este construită pe un suport de la circuitul de intrare a blocului UUS din radioreceptorul „Mamaia“

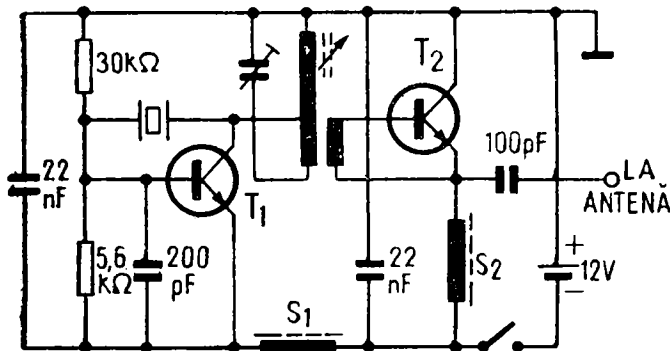


Fig. 28

Pe această carcăsă se bobinează 4 spire Cu-Em  $\varnothing$  0,6 pas 0,5 mm. Priza se scoate la spira 2. Peste această înfăşurare se bobinează 1,5–2 spire cu sîrmă  $\varnothing$  0,3 izolată în vinilin. Aceste spire constituie înfăşurarea în cuplaj. Cele două şocuri au cîte 10 spire Cu-Em  $\varnothing$  0,3 bobinate pe suportul de ferită.

Pentru transmisiuni se va utiliza o antenă cu ciştig, iar pentru verificări de receptoare, în locul antenei se montează cu fir de 15–20 cm.

### EMIȚĂTOR MF 100 mW

Un emițător modulat în frecvență cu bandă îngustă este redat în figura 29. Acest emițător de mică putere poate debita în antenă între 80 și 100 mW. Etajul cu tranzistorul  $T_1$  (BF 214 sau BF 215) oscilează pe frecvență de 8 MHz dictată de cristalul de cuarț. În colectorul tranzistorului este cuplat un circuit oscilant acordat pe frecvență de 8 MHz și puternic amortizat de rezistorul cu valoarea de 2,7 k $\Omega$ .

Cuplată paralel, pe circuitul oscilant apare dioda varicap, care, prin intermediul reacției interne a tranzistorului, influențează, în limite foarte mici, frecvența de oscilație a cuarțului. Toate bobinile sunt construite pe carcase  $\varnothing$  6 prevăzute cu miez de ferită. Bobina  $L_1$  are 40 de spire CuEm  $\varnothing$  0,35. Bobina  $L_2$  are 60 de spire CuEm  $\varnothing$  0,35. Următorul etaj echipat cu tranzistorul  $T_2$  (BC 107) lucrează în regim de triplare a frecvenței, la ieșirea sa semnalul avînd frecvența de 24 MHz. Bobina  $L_3$  are

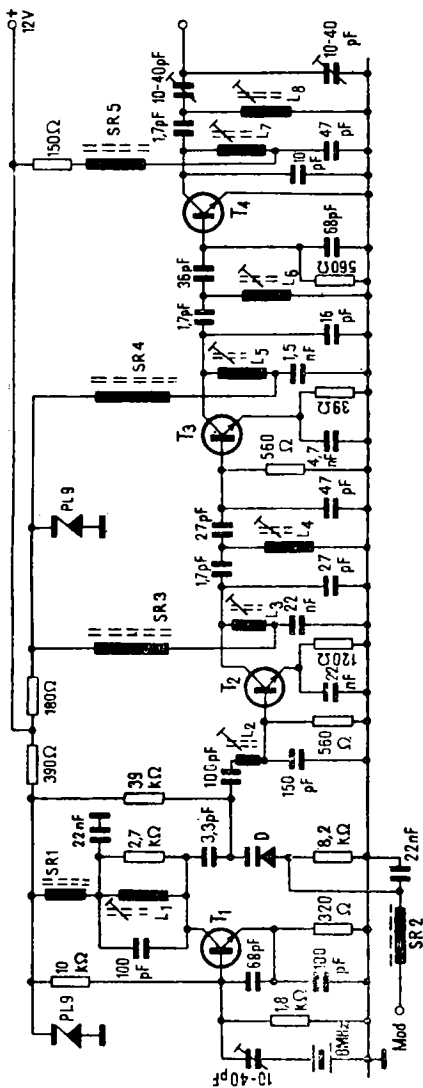
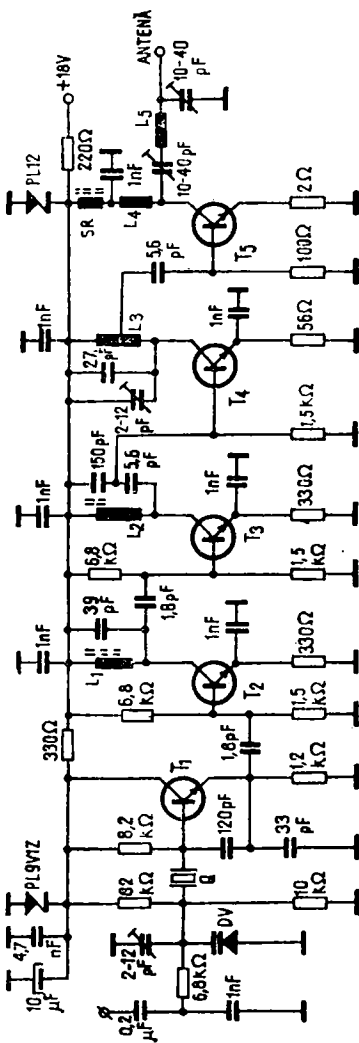


Fig. 29



15 spire CuEm  $\varnothing$  0,4. Bobina  $L_4$  și condensatoarele din paralel cu ea formează un circuit acordat tot pe 25 MHz, dar creează, în același timp, și divizorul pentru intrarea în tranzistorul  $T_3$ . Acest tranzistor — BSX 19 — lucrează tot ca triplor de frecvență, bobinele  $L_5$  și  $L_6$  făcând parte din circuite acordate pe 72 MHz. Astfel,  $L_5$  are 6 spire, iar  $L_6$  are 4 spire CuEm  $\varnothing$  0,6.

Etajul final echipat cu tranzistorul BFX 44 lucrează ca dublor de frecvență, debitând în antenă un semnal cu frecvență de 144 MHz. Bobinele  $L_7$  și  $L_8$  au cîte 2,5 spire CuEm  $\varnothing$  1.

Alimentarea se face cu 12 V din baterii.

Șocurile de radiofrecvență au cîte 8 spire CuEm  $\varnothing$  0,3 bobinate pe miezuri de ferită.

Acordarea emițătorului începe de la oscilator spre etajul final. Din condensatorul trimer montat în serie cu cuarțul se retușează frecvența de oscilație a acestuia.

## EMIȚATOR MF 590 mW

În figura 30 este prezentată schema unui emițător cu modulație de frecvență ce lucrează în banda de 2 m. Etajul oscilator echipat cu tranzistorul  $T_1$  (BF 199, BF 200) conține un cristal de cuarț, cu frecvență de 16,1 MHz. În paralel, pe cuarț apare montată o diodă varicap (BB 138) prin care se realizează modulația de frecvență.

La intrarea tranzistorului  $T_2$  (BF 119, BF 200) semnalul are frecvența fundamentală a cuarțului. Etajul cu tranzistorul  $T_2$  lucrează ca triplor, avînd conectat în colector un circuit oscilant acordat pe frecvență de 48,3 MHz. Următorul etaj ( $T_3$ ) este un amplificator cu circuitul oscilant acordat tot pe 48,3 MHz. Bobinele  $L_1$  și  $L_2$  se construiesc pe carcase cu miez de ferită, de tipul celor utilizate în blocul UUS din radioreceptoare. Pe aceste carcase se bobinează cîte 5 spire CuEm  $\varnothing$  0,3, spiră lîngă spiră, acordul pe frecvență făcîndu-se din miezul bobinei.

Etajul cu tranzistorul  $T_4$  (BF 199, BF 200) lucrează în clasa C ca triplor de frecvență la bornele bobinei  $L_3$ , semnalul avînd frecvență de 145 MHz. Bobina  $L_3$  este construită fără carcăsă, are un diametru de 6 mm, 3 spire CuEm sau CuAg  $\varnothing$  1 bobinate cu pas 1 mm și priza la spire 1,5. În etajul final este montat tranzistorul 2 N 3866. La ieșirea acestui tranzistor un filtru face adaptarea către fiderul (75  $\Omega$ ) și transferul de putere.

Bobinile  $L_4$  și  $L_5$  sunt construite, fără carcăsă, cu un diametru de 6 mm și conțin cîte 4 spire CuAg cu pas 1 mm. Scoul SR are 10 spire CuEm  $\varnothing$  0,3 bobinate pe un miez de ferită  $\varnothing$  3.

Ca modulator se pot folosi două tranzistoare BC 109 care prensează semnalul de audiofrecvență de la microfon. Constructiv emițătorul 2 N 3866 va fi prevăzut cu un mic radiator pentru răcire.

## EMIȚĂTOR MF 1 W

Emițătorul cu modulație de frecvență cu bandă îngustă (N B F M) este simplu, ușor de realizat și conține piese puține.

În figura 31 este prezentată schema unui astfel de emițător ce poate debita o putere de 1 W, în banda de 2 m, deci recomandat ca echipament portabil.

Etajul oscilator, pilotat cu un cristal de cuarț cu frecvență proprie de rezonanță de 12 MHz, nu conține circuite acordate, favorizându-se astfel o modulare în frecvență stabilă și liniară.

Deviația de frecvență se obține cu ajutorul diodei varicap montată în serie cu cristalul. Capacitatea diodei variază în funcție de tensiunea aplicată la bornele ei.

Microfonul este cuplat pe baza tranzistorului  $T_1$  (BC 107) printr-un filtru capacativ. Acest filtru înălțură apariția unor zgomote perturbatoare ce ar putea să apară din detectarea semnalului de radiofrecvență de la ieșire, pe joncțiunea bază-emitor a tranzistorului  $T_1$ . Tranzistorul  $T_2$  (BC 177) este cuplat galvanic cu tranzistorul  $T_1$  și din emitorul său semnalul de audiofrecvență este aplicat diodei varicap. Punctul static de funcționare a diodei este stabilit prin fixarea unui potențial de polarizare. Acest potențial se stabilește din potențiometrul cu valoarea de 47 k $\Omega$ . Dioda varicap este de tipul BA 102, BB 182 etc.

Etajul oscilator este dotat cu tranzistorul BC 109. După etajul oscilator, urmează un etaj amplificator în clasă A ce conține tranzistorul  $T_4$  (tot BC 108) și care în colector are un circuit acordat pe frecvență de 12 MHz. În acest etaj, care are o amplificare destul de redusă, este amplificat, în special, semnalul cu frecvență fundamentală, armonicele (destul de multe venite de la oscilator) fiind atenuate. Rolul principal al etajului  $T_4$  fiind selectivitatea.

Bobina  $L_1$  din colectorul tranzistorului  $T_4$  este construită pe o carcăsă cu diametrul de 6 mm prevăzută cu miez de ferită utilizată în radioreceptoare pentru gama de unde scurte. Pe această carcăsă, spiră lîngă spiră, se bobinează 24 spire CuEm  $\varnothing$  0,6.

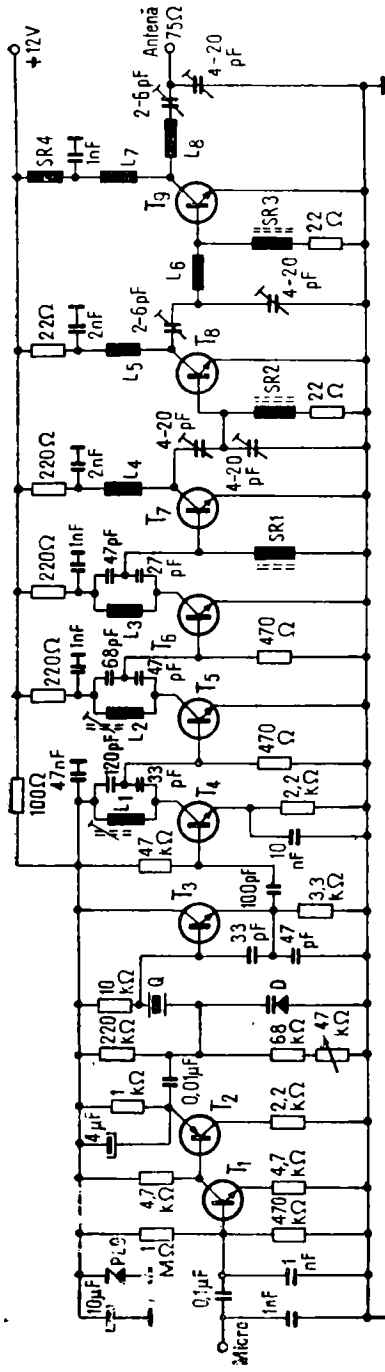


Fig. 31

Prințr-un divizor capacitive semnalul este apoi introdus în baza tranzistorului  $T_5$ . Regimul de funcționare a acestui tranzistor este în clasa C, lucrînd ca dublor de frecvență. Deci, regăsindu-se la intrarea tranzistorului  $T_6$  un semnal cu frecvență de 24 MHz.

Bobina  $L_2$  are o carcăsă asemănătoare cu  $L_1$ . Bobinajul, spiră lîngă spiră, conține 12 spire CuEm  $\varnothing$  0,6.

Etajul cu tranzistorul  $T_6$  lucrează în regim de triplarea frecvenței, la ieșirea sa obținându-se 72 MHz. Bobina  $L_3$  (carcăsă identică cu  $L_1$ ) are 4 spire CuEm  $\varnothing$  0,8. Socul de radiofrecvență  $SR_1$  are 4 spire din CuEm  $\varnothing$  0,3 bobinate pe un suport de ferită. Celelalte etaje ce urmează în emitător sunt amplificatoare.

Bobina  $L_5$ , fără carcăsă, cu diametrul de 8 mm, are 5,5 spire CuEm  $\varnothing$  0,8. Bobina  $L_6$  (cu același diametru ca  $L_5$  și aceeași sîrmă ca  $L_5$ ) are 3 spire.

Bobinile  $L_7$  și  $L_8$  au diametrul de 8 mm, construite fără carcăsă, au lungimea bobinajului de 12 mm.

Sîrma utilizată este CuEm  $\varnothing$  1;  $L_7$  are 2,5 spire, iar  $L_8$  are 4,2 spire.

Socurile de radiofrecvență  $SR_2$  și  $SR_3$  au cîte 3 spire bobinate pe miezuri de ferită cu sîrmă CuEm  $\varnothing$  0,3.

Socul  $SR_4$  este construit pe carcăsa de ceramică a unui rezistor de 0,5 W pe care se bobinează 20 de spire CuEm  $\varnothing$  0,3.

Reglajul emițătorului începe de la etajul oscilator.

Mai întîi, se verifică cu un grid-dip-metru sau cu un voltmetru electronic dacă există semnal la oscilator.

Se verifică după aceea, ca circuitele oscilante să fie acordate pe frecvențele indicate, apoi, cuplindu-se în locul antenei un bec 24 V/0,045 A, se reacordează pe rînd circuitele din miezuri sau condensatoarele trimere ca la ieșire becul să prezinte o incandescență maximă.

Etajele de audiofrecvență nu impun după construcție anumite reglaje. Cînd întregul emițător a fost construit și reglat, avînd ca sarcină becul, se pornește un receptor și se ascultă semnalul. Se cupleză microfonul și se regleză din potențiometrul de 47 k $\Omega$  ca semnalul recepționat să fie cel dorit. De reținut că tranzistoarele  $T_5$ ,  $T_6$  și  $T_7$  sunt de tip BF 254 sau BF 214, iar tranzistoarele  $T_8$  și  $T_9$  sunt de tip 2 N 3866.

În locul cuarțului cu frecvență de 12 MHz poate fi utilizat și cuarț de 8 MHz, dar prima multiplicare nu va mai fi dublare, ci triplare.

## EMIȚATOR MF DE 4,5 W

Schema unui emițător modulat în frecvență, alimentat dintr-un redresor cu tensiunea de 18 V, este dată în figura 32.

Etajul oscilator este echipat cu un cristal de quart ce are frecvența de bază în jur de 8 MHz. Circuitul oscilant din colectorul tranzistorului  $T_1$  este acordat pe armonica a 3-a a quartului, deci în baza tranzistorului  $T_2$  se injectează 24 MHz. Bobina  $L_1$  este construită pe o carcă cu diametrul de 6 mm cu sîrmă de cupru izolată cu email și mătase. Aceasta are 24 de spire de  $\varnothing$  0,3 bobinate spiră lîngă spiră.

Prizele sunt la spirele 5 și 10 față de masă. Quartul este cuplat între emitor și priza de la spira 10 a bobinei  $L_1$ . Tot pe emitor se cuplează și modulatorul MF. De fapt, acest modulator apare ca o capacitate variabilă montată în paralel pe quart. Tensiunea produsă de microfon variază capacitatea diodei vericap BB 139. Deviația de frecvență se regleză din condensatorul semivariabil montat în serie cu modulatorul. Dacă microfonul nu furnizează tensiune suficientă, atunci se intercalează un etaj amplificator de tensiune cu un tranzistor EFT 353.

Etajul următor ( $T_2$ ) lucrează ca triplor și la ieșirea sa se obțin 72 MHz.

Bobina  $L_2$  din circuitul oscilant se construiește fără carcăsă, cu diametrul de 9 mm, avind 9 spire din CuEm  $\varnothing$  0,8 cu priză la spirale 5 și 8. Bobinajul are pasul 1 mm.

Urmează apoi un etaj dublu ( $T_3$ ) echipat cu tranzistorul BF 214. Circuitul  $L_3C$  este acordat pe frecvența de 155 MHz.

Bobina  $L_3$  are diametrul de 9 mm, fără carcăsă, din sîrmă CuEm  $\varnothing$  0,8, avind 4 spire cu pas 2,5 mm și prize la spirale 5 și 3.

Etajele următoare sunt amplificatoare și au circuitele acordate în gama de 2 m (144 MHz).

Bobinile  $L_4$  și  $L_5$  au construcții identice, fiind bobinate fără carcăsă pe un diametru de 9,2 mm din sîrmă CuEm  $\varnothing$  0,8 avind fiecare cîte 4 spire.

Bobinajul are pasul de 3,5 mm, iar prizele se scot la spirele 0,5 și 3.

Etajul final de putere are plantat tranzistorul 2 N 3375, dar se poate folosi și KT 904. Circuitul său oscilant este astfel conceput ca să poată fi cuplat la ieșire un cablu coaxial cu impedanță de  $75 \Omega$ .

Bobina  $L_7$  este tot fără carcăsă, cu diametrul de 9,2 mm avind 2 spire CuEm  $\varnothing$  0,8 cu pas 5 mm.

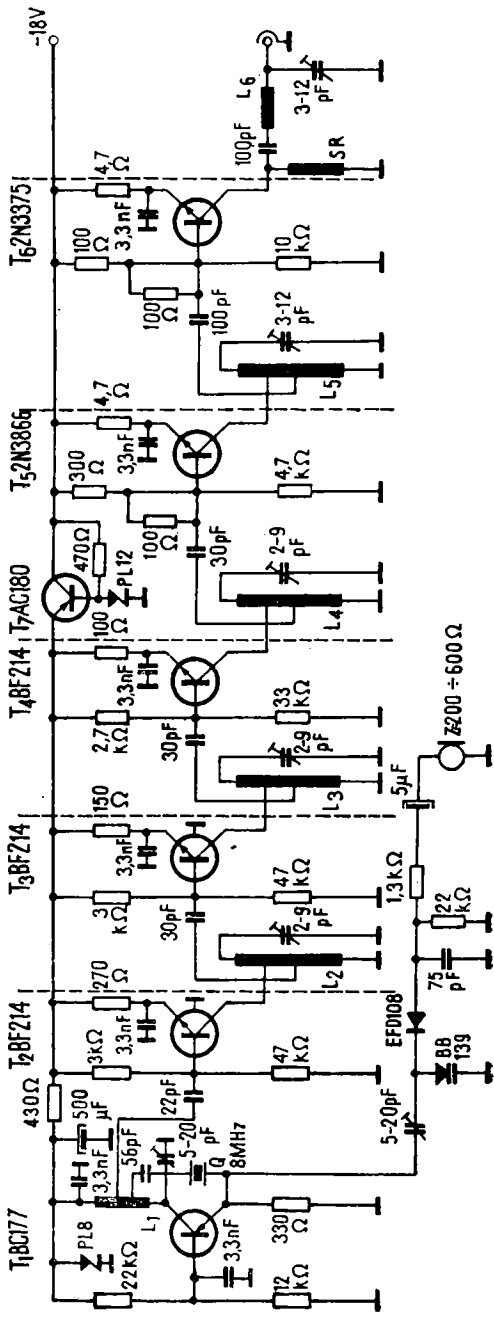


Fig. 32

Șocul de radiofrecvență montat între masă și colector are 3 spire cu pas 2 mm, din sîrmă CuEm  $\varnothing$  0,5. Diametrul bobinei este de 5 mm.

Condensatoarele semivariabile pot fi ceramice sau cu aer, dar în mod obligatoriu condensatorul semivariabil din etajul final va fi cu aer.

Montarea pieselor se face pe o plăcuță de circuit imprimat  $210 \times 50$ . Pe această plăcuță se lipesc pe margini alte plăcuțe, iar în interior se compartimentează pentru fiecare etaj în parte. Lungimile compartimentelor etajelor  $T_1 + T_3$  și circuitului de ieșire sunt de cîte 45 mm, iar ale celorlalte etaje de 30 mm.

Acordarea etajelor se face, în primul rînd, cu un grid-dip, fără a cupla tensiunea pe etaje și numai după această operație se couplează la emițător o sarcină și se alimentează cu tensiunea. Se revine apoi asupra acordului, urmărindu-se obținerea maximului de putere la ieșire.

Sarcina poate fi un bec 24 V/5 W deoarece puterea emițătorului este în jur de 4,5 W.

## EMIȚATOR MA DE 20 mW

Emitătorul din figura 33 este modulat în amplitudine, lucrează în banda de 2 m și debitează o putere de cel puțin de 20 mW.

Emitătorul conține două etaje în care primul este oscilator pilotat cu quart.

Frecvența quartului trebuie să aibă una din valorile : 72 MHz ; 48,3 MHz ; 36 MHz sau 24 MHz.

Principal este ca una din armonice să ajungă în banda de 2 m.

Circuitul din colectorul tranzistorului  $T_1$  este acordat pe frecvența de lucru de emisie (2 m), nu pe frecvența quartului. Bobina  $L$  are 4 spire din conductor CuEm (eventual CuAg)  $\varnothing$  1, cu diametrul interior 6 mm și pas 1 mm.

Antena formată dintr-un fir lung de 15–20 cm și diametru 2–5 mm se couplează în punctul notat pe schema A. Tranzistorul  $T_1$  este BFX 89, BF 167, BF 173, BF 200 etc.

Etajul de audiofrecvență cu tranzistoarele  $T_2$  și  $T_3$  formează modulatorul. Transformatorul de modulație este un driver de la aparatele de radio. Tranzistoarele  $T_2$  și  $T_3$  sunt BC 171. Șocul din emitorul tranzistorului  $T_1$  are 150 de spire CuEm  $\varnothing$  0,08 sau 0,1.

După montare, cu un măsurător de cîmp, circuitul oscilant al tranzistorului  $T_1$  se acordează astfel ca puterea emisă să fie maximă.

Ca microfon se poate utiliza și o cască telefonică.

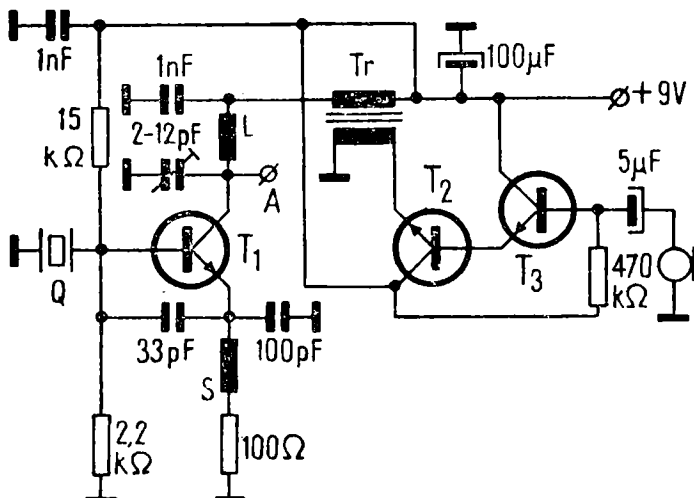


Fig. 33

### EMIȚATOR DE 100 mW

Un emițător de mică putere (100 mW) pentru telegrafie sau modulație în amplitudine este prezentat în figura 34.

Primul etaj este oscilatorul care are frecvența de 8 MHz dată de un cristal de cuarț.

Semnalul de 8 MHz este regăsit cu frecvența triplată în colectorul tranzistorului BC 107. Același regim de triplare a frecvenței îl are și tranzistorul BSX 19, deci la ieșirea lui circuitul este acordat pe 72 MHz. Tranzistorul final lucrează ca dublor. De remarcat că în punctul *M* al etajului final poate fi introdus, în afara alimentării, și un semnal audio pentru obținerea modulației în amplitudine. Fără semnal audio, cu un manipulator, emițătorul lucrează în regim telegrafic.

La ieșirea acestui emițător se mai poate cupla un etaj de putere. Toate bobinile sunt construite din sîrmă CuEm  $\varnothing$  0,25 pe carcasa  $\varnothing$  6 prevăzute cu miez de ferită. Bobinajul se face spiră lîngă spiră exceptând  $L_7$  și  $L_8$  ce au bobinaj cu pas 0,25 mm.

Bobina  $L_1$  are 40 spire;  $L_2$  are 60 spire;  $L_3$  are 15 spire;  $L_4$  are 20 spire;  $L_5$  are 6 spire;  $L_6$  are 4 spire;  $L_7$  are 2,5 spire și  $L_8$  are 2,5 spire.

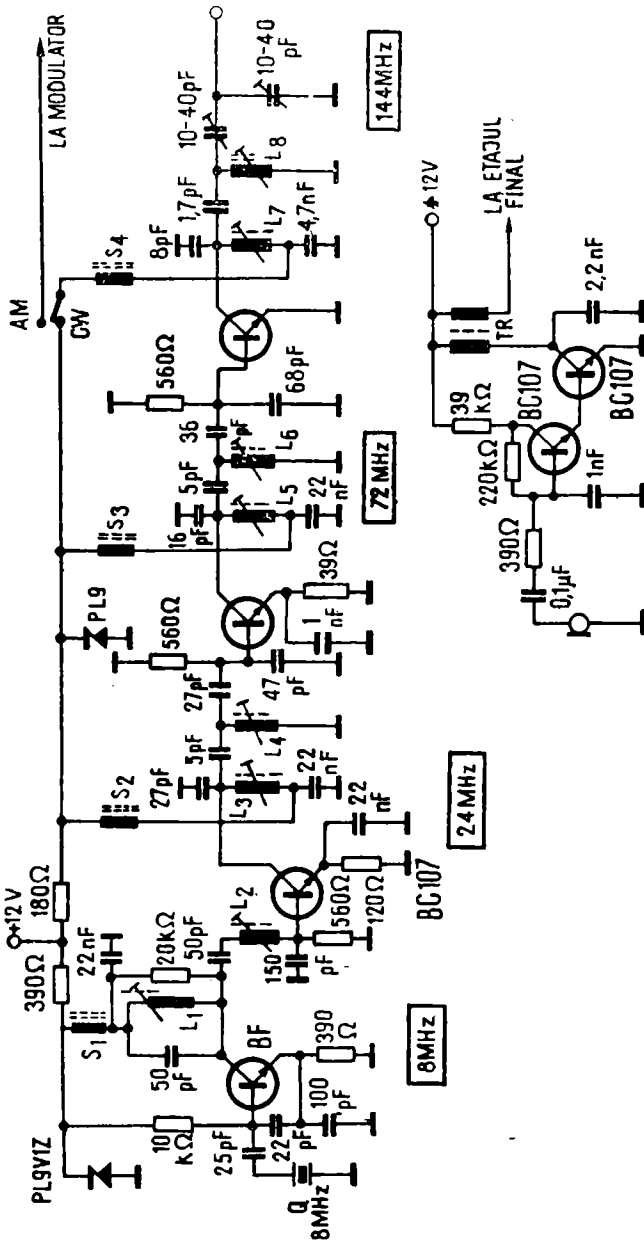


Fig. 34

Socurile de radiofreqvență  $S_1$ ,  $S_2$ ,  $S_3$ ,  $S_4$  sunt tot din sîrmă CuEm  $\varnothing$  0,25 avînd cîte 9 spire pe miezuri de ferită  $\varnothing$  3.

Acordul circuitelor oscilante din fiecare etaj se face din miezurile bobinelor, urmărindu-se maximum de putere debitată.

În figura 34, a este prezentat modulatorul pentru emițătorul din figura 34. Transformatorul de modulație este de la etajul final în contratimp din aparatele de radio. Din acest transformator se folosește numai primarul.

### EMIȚĂTOR MA de 150 mW

Emitătoarele de mică putere sunt recomandate în locurile în care singurele surse de energie o constituie bateriile sau un mic acumulator, cum este cazul lăcerului de pe munte.

În figura 35 este prezentată schema electrică a unui emițător cu puterea de 150 mW modulat în amplitudine, alimentat cu o tensiune de 12 V.

Primul etaj constituie oscillatorul pilotat cu cuarț pe frecvență de 14,55 MHz. La ieșirea acestui etaj se obține un semnal cu frecvență de 72,75 MHz și o putere de 15 mW. Etajul cu tranzistoare  $T_2$  lucrează în regim de dublare de tensiune, la ieșirea lui sem-

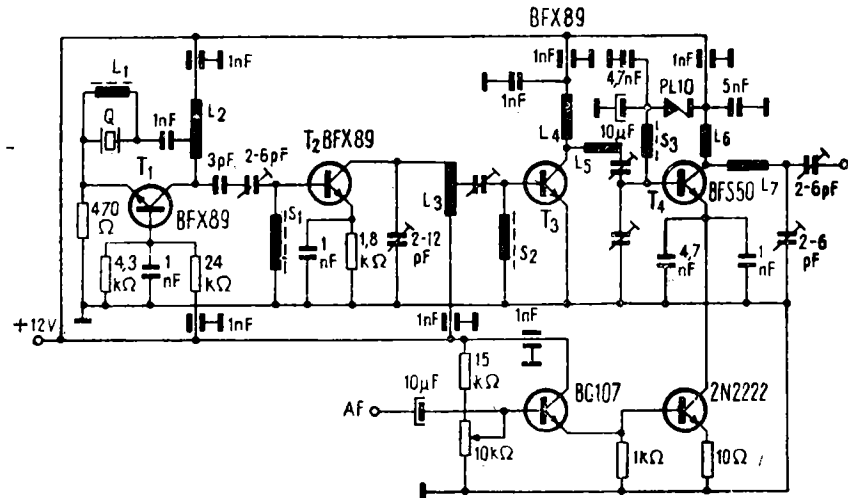


Fig. 35

nalul avind 145,5 MHz și o putere de 5 mW. Următoarele etaje sunt amplificatoare pe frecvență de 145,5 MHz. Toate bobinile sunt constituite din sîrmă de CuAg Ø 1, diametrul bobinajului avind 6 mm, cu pas 0,5 mm. Excepție face bobina  $L_1$  care este construită pe o carcăsă Ø 6 prevăzută cu miez de ferită pe care se bobinează 8 spire CuEm Ø 0,5.

Bobina  $L_2$  are 12 spire cu priză la spira 2. Bobina  $L_3$  are 7 spire cu priză la spira 3,5, bobinile  $L_4$  și  $L_5$  au cîte 4 spire, bobina  $L_6$  are 1,5 spire, iar bobina  $L_7$  are 2,5 spire.

Regimul etajului final se stabilește la un curent în colector de 120 mA valoare ce se reglează din potențiometrul de 10 kΩ montat în baza tranzistorului BC 107. Cînd gradul de modulație este de 100 % puterea emițătorului crește la 600 mW. Modularea se execută fără transformator prin montarea în serie cu etajul final a unui tranzistor 2 N 2222.

## EMIȚĂTOR MA de 1 W

Emitătorul din figura 36 este echipat cu cinci tranzistoare și poate furniza o putere de 1 W.

Ca o particularitate a acestui montaj este faptul că primele 4 etaje sunt construite cu baza la masă. Acest mod de conectare are avantajul unei separări bune între intrare și ieșire, evitînd mult apariția autooscilației.

Alimentarea întregului montaj se face de la tensiunea de 12V, deci o tensiune de la un mic acumulator, și în acest caz, emitătorul este recomandat pentru lucrul în portabil.

Primul etaj este oscilator, pilotat cu un cristal de quarț, pe frecvență de 16 MHz.

În colectorul primului tranzistor circuitul oscilant este acordat pe 48 MHz. Acest etaj consumă un curent de aproximativ 12–14 mA.

Bobinile  $L_2$  și  $L_3$  se realizează pe o carcăsă cu diametrul de 5,5 mm cu miez de ferită utilizate în radioreceptoare pentru gama de unde scurte.  $L_1$  are 11 spire CuEm Ø 0,8 bobinaj spiră lîngă spiră. Alături de bobina  $L_1$  se construiește  $L_3$ , care are 2,5 spire bobinate cu aceeași sîrmă ca și  $L_2$ . Următorul etaj este construit tot cu un tranzistor BC 107 și lucrează ca amplificator, în colectorul său culegindu-se tot frecvența de 48 MHz. Bobina  $L_{34}$  este construită pe o carcăsă identică cu a bobinei  $L_3$  și din aceeași sîrmă, avind 8 spire. Bobinile  $L_3$  și  $L_4$  se montează cu axele verticale. Consumul etajului  $T_2$  este de 10 mA.

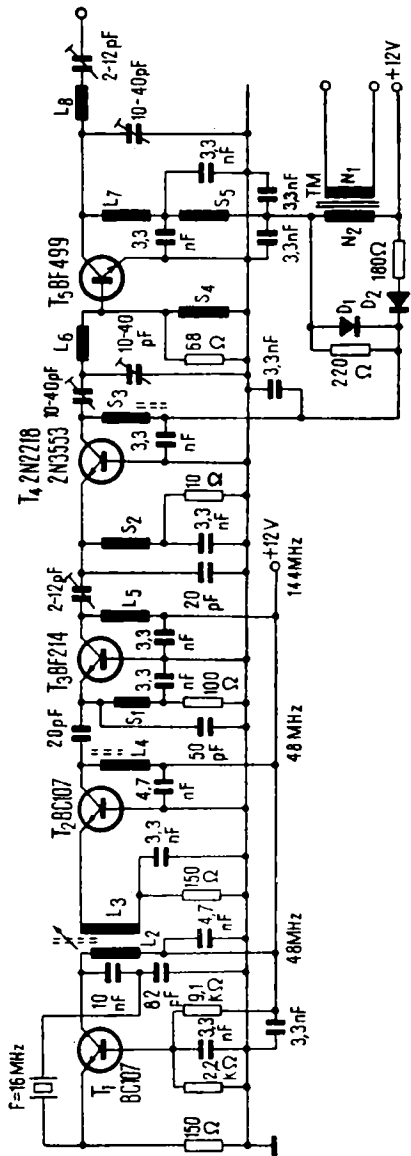


Fig. 36

Șocul de radiofrecvență  $S_1$  din emitorul tranzistorului  $T_3$ , are 15 spire din CuEm  $\varnothing$  0,3 bobinate fără carcăsă, cu un diametru de 3 mm și o lungime de 7 mm.

Etajul  $T_2$  este în clasa C. Regimul său optim de funcționare se stabilește prin valoarea rezistorului montat în emitor. Aceasta se determină experimental și cea mai probabilă valoare este  $150\ \Omega$ .

Etajul  $T_3$  lucrează tot în clasa C și regim de triplare a frecvenței, cu un consum de 22 mA debitind frecvența de 144 MHz. Bobina  $L_5$  din circuitul său acordat se confectionează din sîrmă de CuAg  $\varnothing$  1,3 mm, are 4 spire cu diametrul de 8 mm și lungimea 10 mm.

Acordul acestui circuit se face din condensatorul semireglabil (2–12 pF). Șocul  $S_2$  are 9 spire din CuEm  $\varnothing$  0,6 bobinaj fără carcăsă cu diametrul de 3 mm și lungimea de 10 mm.

Următorul etaj,  $T_4$ , construit cu tranzistorul 2 N 2218 amplifică semnalul la valoarea de 200–300 mW și consumă 45 mA. Bobina  $L_6$  este identică cu  $L_5$ .

Ultimul etaj,  $T_5$ , construit cu BFY 99 este de tipul cu emitor comun, constituie etajul de putere, fiind modulat în amplitudine prin transformatorul TM. Ieșirea etajului final este cuplată cu un filtru pentru adaptarea cu feederul antenei ( $75\ \Omega$ ). Șocul  $S_3$  are 8 spire din CuEm  $\varnothing$  0,3 bobinate pe un miez de ferită cu diametrul de 3 mm de la gama de UUS din radioreceptoare. Șocul  $S_4$  are 7 spire din CuEm  $\varnothing$  0,8 fără carcăsă avînd bobinajul cu diametrul de 4 mm și lungimea de 12 mm. Șocul  $S_5$  are 9 spire CuEm  $\varnothing$  0,3, fără carcăsă, bobinajul avînd lungimea de 5 mm și diametrul de 3 mm.

Bobina  $L_7$  are 3 spire din CuAg  $\varnothing$  1,3 mm și este construită fără carcăsă, avînd diametrul de 9 mm și lungimea de 10 mm. Bobina  $L_8$  este tot din CuAg  $\varnothing$  1,3 mm, avînd 5 spire fără carcăsă, cu diametrul de 9 mm și lungimea de 12 mm. Consumul etajului final este de 150 mA.

Emitătorul se cuplează la antenă prin intermediul unui cablu coaxial cu impedanță de  $75\ \Omega$ .

Modulația de amplitudine se obține prin acțiunea atât pe etajul final, cât și prefinal. Cînd tensiunea în secundarul transformatorului TM este mai pozitivă decît tensiunea de alimentare, se aplică prin  $D_1$  și etajului prefinal, obținîndu-se, în acest mod, o creștere a tensiunii sale de colector, deci modularea sa cu un grad de modulație de aproximativ 0,5. Pronunțat modulat este etajul final. Dar, modulînd ambele etaje, prefinal și final, în procente subunitare efectul total este obținerea unui grad de modulație mare, aproape de 1, și, în plus, gradul de distorsiune este mic.

Puterea modulatorului este de aproximativ 1,2 W. Transformatorul de modulație este construit pe un miez cu secțiunea de 4 cm<sup>2</sup>, avind ambele înfășurări din CuEm Ø 0,6 mm;  $N_1$  are 60 de spire, iar  $N_2$  are 152 spire.

Etajul final al modulatorului este în clasa B construit cu tranzistoarele AC 180 K și AC 181 K. Schema electrică a modulatorului este asemănătoare cu amplificatorul de radiofrecvență din radioreceptoarele „Albatros“, „Neptun“ etc. În locul difuzorului este cuplată înfășurarea  $N_1$ . La o funcționare normală pe înfășurarea  $N_2$  se obține o tensiune de 8 V.

Etajul final de radiofrecvență, în afară de BFY 99, mai poate utiliza unul din tranzistoarele: KT 904; 2 N 2219; BSY 34; BSW 63.

Acordul circuitelor oscilante se face cu un grid-dip iar verificarea acordului etajului final și al modulației se realizează prin montarea în locul antenei a unui bec 24 V/5 W.

## EMIȚATOR MA de 3 W

Emitătorul din figura 37 este pilotat cu cuarț și modulat în amplitudine. Alimentat cu tensiune de 14 V absorbe o putere de 4,5 W, inscriindu-se, deci, în clasa emițătoarelor de mică putere.

Primul etaj este oscillatorul care folosește un tranzistor BC 107 și un cristal de cuarț pe frecvență de 8 MHz. În colectorul tranzistorului  $T_1$  se culege armonica a 3-a, deci un semnal cu frecvență de 24 MHz, frecvență pe care este acordat și circuitul oscilant. Bobina  $L_1$  are 12 spire cu diametrul de 6 mm, fără carcăsă, bobinate cu sîrmă CuEm Ø 0,9 și pas 1 mm. Priza de cuplaj este la spira 3. De reținut că toate bobinile din circuitele oscilante se realizează cu sîrmă CuEm Ø 0,9 iar diametrul bobinelor este 6 mm. Următorul etaj este un triplor de frecvență și folosește un tranzistor BF 215. Circuitul oscilant  $L_2C$  este acordat pe frecvență de 72 MHz și are bobina  $L_2$  compusă din 8 spire cu pas 1 mm priză la spira 2. Circuitul  $L_3C$  este acordat pe 144 MHz, deci etajul  $T_3$  lucrează ca dublu de frecvență având un tranzistor BF 215.

Bobina  $L_3$  are 6 spire cu pas 1 mm și priză la spira 1. Celelalte etaje sunt acordate pe 144 MHz. Bobina  $L_4$  are 5 spire cu pas 1 mm și priză la spira 1. Bobinile  $L_5$  și  $L_6$  au cîte 5 spire bobinate spiră lîngă spiră.

Socurile de radiofrecvență se bobinează fără carcăsă spiră lîngă spiră. Astfel, socurile  $S_1$ ,  $S_2$ ,  $S_4$ ,  $S_5$  au cîte 50 de spire CuEm

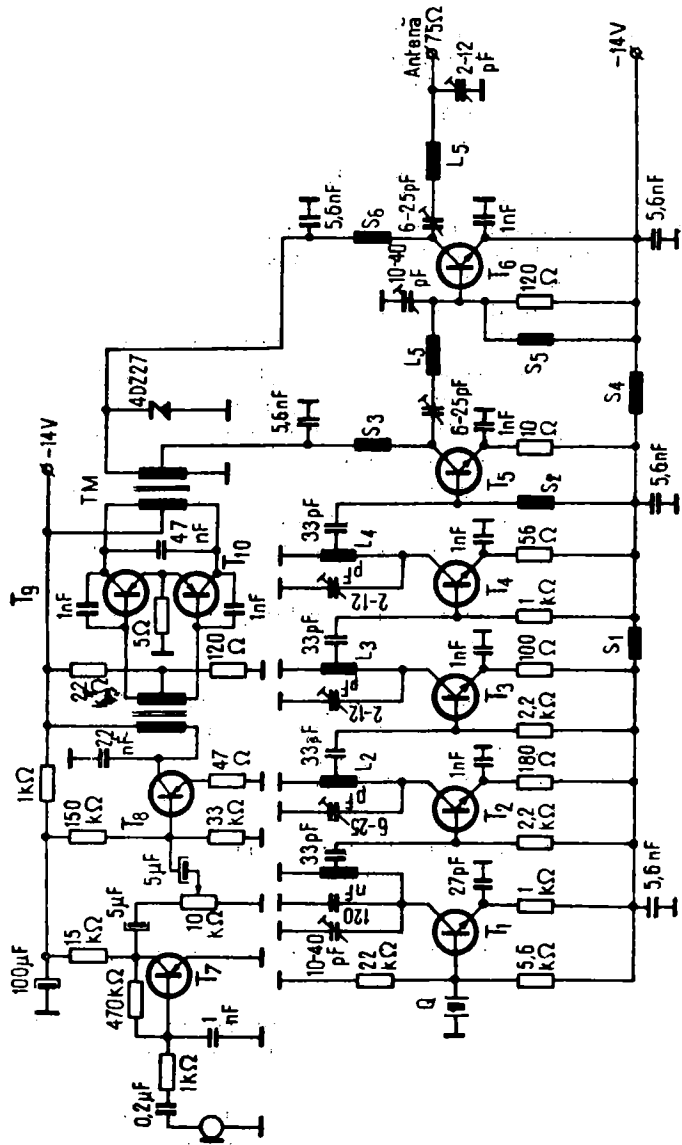


Fig. 37

$\emptyset$  0,3 cu diametrul bobinajului de 3 mm.  $S_3$  are 30 de spire CuEm  $\emptyset$  0,5 cu un diametru de 5 mm, iar  $S_8$  are 15 spire CuEm  $\emptyset$  0,9 cu diametrul bobinajului de 5 mm. O altă piesă care urmează a fi confectionată este transformatorul de modulație  $TM$ . Acesta necesită un pachet de tole cu secțiunea miezului de 4 cm<sup>2</sup>. Pentru primar se bobinează  $2 \times 100$  spire CuEm  $\emptyset$  0,5. În secundar se bobinează  $50 + 100$  spire CuEm  $\emptyset$  0,5. La spira 50 se cuplează  $S_3$ , deci se modulează și etajul prefinal.

Construirea emițătorului începe de la etajul oscilator. Astfel, după ce etajul oscilator a fost terminat, la ieșirea sa, ca sarcină, după condensatorul de 33 pF, se cuplează un bec de 24 V/20 mA și se urmărește maximul de incandescență prin manevrarea condensatorului semivariabil montat în colector. Acordul se mai poate verifica cu un grid-dip sau un voltmètre electronic.

Cu acest procedeu se acordă circuitele oscilante de la fiecare etaj. Începind cu etajul  $T_4$  (BF 215), apoi cu  $T_5$  (2 N 3866) și  $T_6$  (2 N 3375) se are în vedere că în timpul reglajului aceste transzistoare să nu se supraîncâlzească.

Atât tranzistorul 2 N 3866, cât și tranzistorul 2 N 3375 nu vor fi puse sub tensiune fără radiatoare de răcire. Radiatorul tranzistorului 2 N 3375 trebuie să aibă o suprafață de cel puțin 80 cm<sup>2</sup>.

După ce toate etajele au fost acordate, în locul antenei se cuplează un bec de 24 V/5 W și se încearcă o reacordare a tuturor etajelor, începând cu oscilatorul și terminând cu etajul final. Urmează apoi montarea modulatorului. Nu se va face proba modulației fără dioda de protecție la supramodulație 4 DZ 27. Verificarea gradului de modulație se urmărește pe un oscilograf sau pe becul montat la ieșire. Nivelul de audiofrecvență se fixează din potențiometrul de 10 k $\Omega$ .

Modulatorul este echipat cu tranzistoarele  $T_7$  (EFT 323)  $T_8$  (EFT 323) și  $T_9$ ,  $T_{10}$  (AD 155).

## EMIȚĂTOARE PENTRU 70 cm și 23 cm

Pentru gamele de 70 cm și 23 cm nu se mai utilizează tranzistoare în etajele de putere și nici pentru multiplicarea frecvenței. Tehnica folosită este multiplicarea frecvenței cu dioda varactor.

Se pleacă, în general, de la un semnal de 144 MHz cu putere de cîțiva wați, care, aplicat unui triplor cu varactor, rezultă din semnal în banda de 70 cm (respectiv 432 MHz).

Aplicînd același procedeu prin multiplicarea cu 3 a semnalului de 432 MHz, se obțin 1 296 MHz, adică semnal în banda de 23 cm.

Multiplicatoarele cu varactor sunt simplu de construit, dezavantajul lor constînd în pierderea de energie.

Varactoarele sunt diode a căror capacitate internă este dependentă de tensiunea aplicată la borne, relația între tensiune și curent fiind o funcție în general neliniară.

Variatîa capacității unui varactor se poate calcula în domeniul de blocare după formula :

$$C = C_{mtr} \frac{U_D - U_z}{U_c - U} \gamma$$

în care  $U_D = 0,5 - 0,7$  V pentru siliciu ;  $U_z$  este tensiunea zener a jonețuiunii ;  $\gamma$  — un coeficient tehnologic cuprins între 0,35—0,5.

Caracteristica capacității unui varactor cu siliciu este dată în figura 38. În cazul în care pe varactor se conectează o tensiune sinusoidală, curentul de ieșire va fi distorsionat. Dacă varactorului îi se aplică un curent sinusoidal, atunci distorsiunea apare în tensiunea de ieșire.

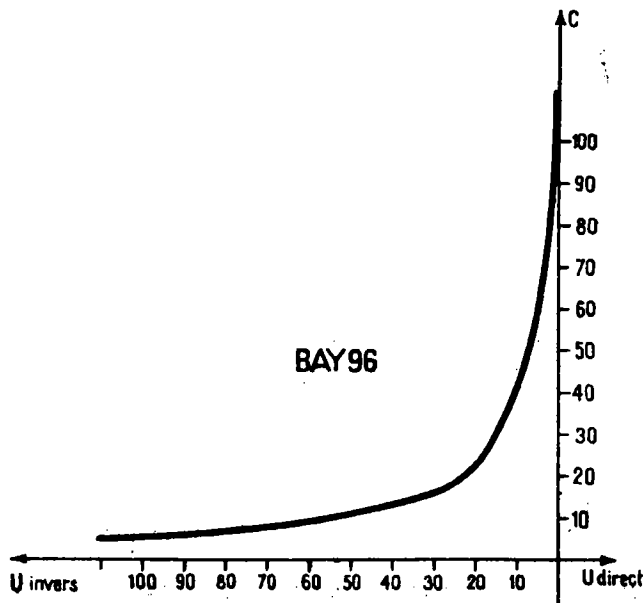


Fig. 38

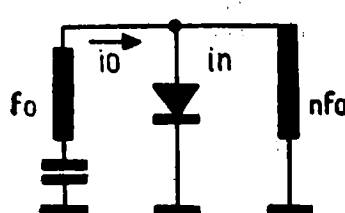


Fig. 39

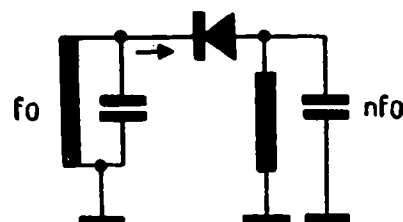


Fig. 40

La cuplajul în tensiune, varactorul este serie cu tensiunea de comandă (fig. 39). La cuplajul de curent, varactorul este legat în paralel (fig. 40). Mai frecvent este utilizată a două variantă, adică legarea în paralel. În acest mod de cuplare impedanța varactorului este joasă, ceea ce facilitează o adaptare mult mai bună; de asemenea, dioda varactor poate fi legată la masă și temperatura de lucru scăzută, însăcind un coeficient de utilizare mult mai mare.

În cazul în care varactorul nu ar avea o capacitate neliniară și nu ar avea pierderi, coeficientul de utilizare ar fi influențat numai de pierderile în circuitul oscilant. Din schema echivalentă în serie cu varactorul apare o rezistență  $R_s$ , de aproximativ  $1\ \Omega$ . Această rezistență reduce curentul în varactor și contribuie la pierderi de putere. Rezistența în serie este aproape independentă de frecvență. Rezistența în serie și capacitatea de blocaj  $C_{m_{in}}$  contribuie împreună la stabilirea frecvenței superioare limită de lucru

$$f_{max} = \frac{1}{2\pi R_s} C_{m_{in}}$$

Tensiunea aplicată unui varactor, respectiv domeniul său de utilizare este limită de valorile tensiunii de difuzie  $U_D$  și ale tensiunii Zener  $U_z$ , fapt ilustrat în figura 41 sub forma unei caracteristici complete.

Pentru fixarea domeniului de lucru se montează un șunt (un rezistor). Șuntul fixează punctul de lucru astfel încât virful pozitiv al tensiunii de radiofreqvență să pătrundă puțin în zona de conducție și, astfel, să apară o tensiune redresată pentru polarizarea varactorului.

Mărimea rezistenței se poate determina prin încercări, valoarea obișnuită fiind cuprinsă între 3 și  $200\ k\Omega$ .

Circuitele de intrare și de ieșire sint, în cazul unui cuplaj de curent, în paralel cu varactorul. Acest mod de cuplaj asigură o

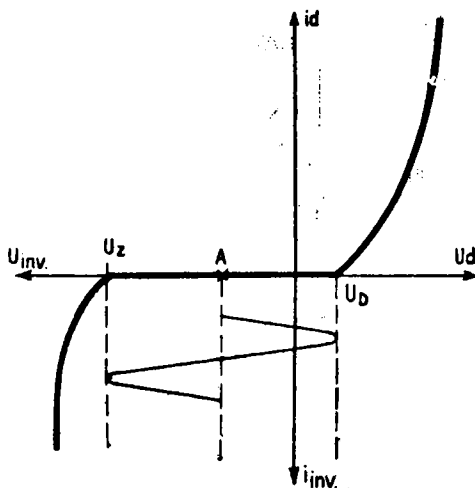


Fig. 41

adaptare optimă, influențind și filtrajul armonicelor superioare. Cînd se cer suprimeri substanțiale ale unor armonici, trebuie montate la ieșire filtre cu mai multe circuite.

Utilizarea montajelor cu varactor necesită și o anumită experiență practică, pentru că toate circuitele se influențează reciproc. Prin reglajul trimerului unui circuit se schimbă rezonanța tuturor circuitelor.

Unele varactoare acceptă o putere de intrare de 25 W, debindind la ieșire circa 18 W, revenindu-le astfel un coeficient de utilizare de 72%.

Odată cu creșterea puterii de intrare, scade coeficientul de utilizare. Se recomandă deci, ca varactorul să nu fie supus unor temperaturi ridicate, adică să se țină seama că pentru obținerea unui coeficient de utilizare mare să se lucreze cu putere disipată redusă.

### TRIPLOR CU BAY 96

Un montaj practic de triplor cu varactor este în figura 42.

Bobina  $L_1$  are 6,5 spire din CuAg  $\varnothing$  1,3. Bobinaj fără caracasă cu pas 1,5 mm și diametru de 7,5 mm. Această bobină intră în acordul circuitului cu frecvența de 144 MHz.

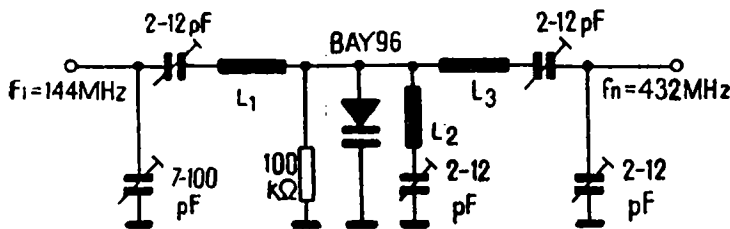


Fig. 42

Bobina  $L_2$  face parte din circuitul acordat pe frecvență de 288 MHz, care este un filtru pentru armonica a 2-a. Aceasta are 2 spire din CuAg  $\varnothing$  2, cu diametrul de 6,5 mm și pas de 2 mm (rejecție armonica 2).

Bobina  $L_3$  acordă circuitul pe armonica a 3-a a semnalului, respectiv pe 432 MHz. Aceasta este formată dintr-o bandă de cupru  $0,5 \times 6,3 \times 35,4$  mm, fixată cu un capăt pe varactor și cu un capăt pe trimer la distanță de aproximativ 15 mm față de săsii.

La reglare se constată în primul rînd, cu un grid-dip-metru, dacă toate circuitele se află la frecvența de rezonanță.

### TRIPLOR CU ATENUAREA ARMONICELOR LA 70 dB

Schema unui triplor tot cu BAY 96 cu atenuarea armonicilor la 70 dB este dată în figura 43. Schema include două circuite de rejecție pentru armonicele 2 și 4. Filtrul de ieșire se compune din trei linii care au fost cuplate inductiv prin intermediul unor fante în peretele despărțitor.

Coefficientul de utilizare este 70 % pentru o putere de intrare de 15 W.

Datele constructive ale bobinelor sunt:  $L_1$ , cu diametrul de 7 mm, are 6 spire din CuAg  $\varnothing$  2 pas 2 mm;  $L_2$  are 2 spire CuAg  $\varnothing$  1,2 pas 1 mm diametrul bobinajului fiind 6 mm;  $L_3$  are o spiră cu diametrul de 6 mm din CuAg  $\varnothing$  1,2 mm;  $L_4$  este o bandă de Cu  $0,5 \times 6,3 \times 25$  mm.

Cele trei linii  $\lambda/4$  ce constituie filtrul de ieșire pe 432 MHz sunt construite din CuAg  $\varnothing$  2 cu lungimea de 70 mm. În montaj pe aceste linii se execută și cîte 2 spire cu diametrul de 6 mm.

Intrarea și ieșirea acestui multiplicator sunt acordate pe impedanță de  $75 \Omega$ .

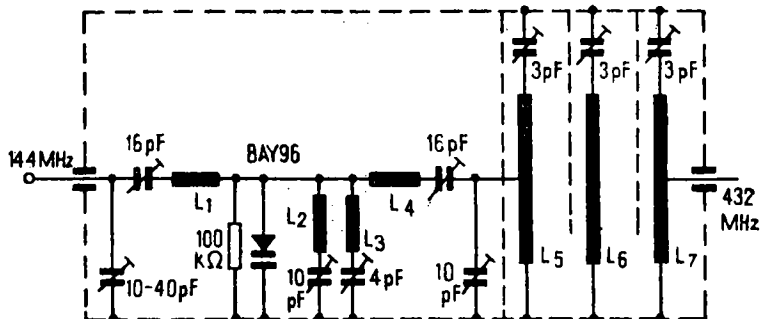


Fig. 43

### TRIPLOR CU KB 106

Schema electrică este dată în figura 44, iar în figura 45 sunt noteate cotele construcției mecanice. Randamentul montajului, cînd acordul circuitelor este corect, ajunge la cifra de 60%.

Elementul multiplicator este un varactor de tipul KB 106. Circuitul  $L_2C$  este acordat pe frecvența semnalului de intrare, respectiv pe 144 MHz. Circuitul  $L_1C$  are menirea de a rezerca semnalul cu frecvența de 288 MHz care apare în procesul de triplare.

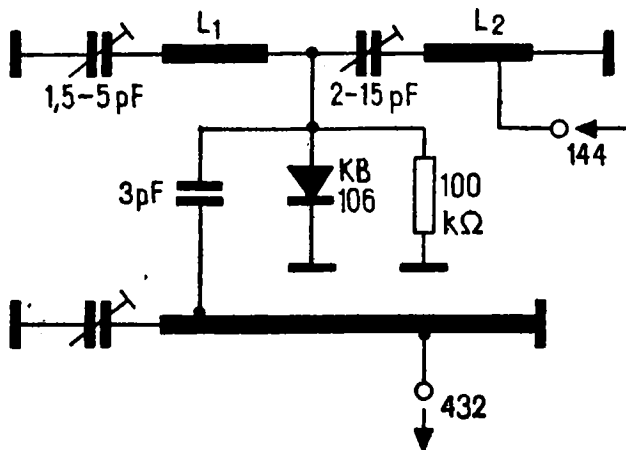


Fig. 44

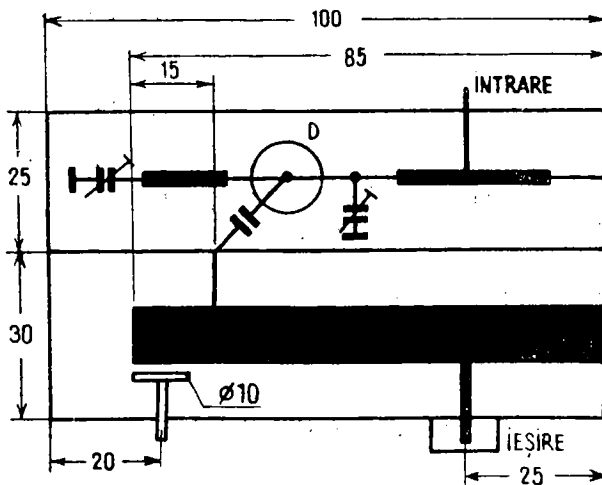


Fig. 45

Bobinele  $L_1$  și  $L_2$  sunt fără carcasa și au diametrul de 9 mm. Astfel,  $L_1$  are 3 spire, iar  $L_2$ , are 6 spire cu priză la spiră 2. Pasul bobinajului este 2,5 mm, sîrma utilizată fiind CuEm  $\varnothing$  0,8.

Linia circuitului acordat pe 430 MHz este din cupru cu secțiune circulară cu diametrul de 10 mm. Aceasta se poate realiza dintr-o bucătică de ţeavă. Capacitatea sa de acord este plăcuță circulară cu diametrul de 10 mm și care este prinsă pe un șurub ce ajută la deplasarea sa.

Puterea aplicată triplorului nu trebuie să depășească 7 W.

### TRIPLOR CU JONCȚIUNE CB

În cazul cînd nu avem la dispoziție un varactor, putem folosi joncțiunea colector-bază a unui tranzistor de putere a cărui frecvență de lucru să coincidă cu domeniul dorit de noi. Astfel, joncțiunea bază-colector a tranzistorului de putere 2 N 3632 poate suporta o putere de intrare pînă la 10 W. În cele ce urmează, prezentăm schema unui multiplicator sin 144 MHz în 432 MHz, folosind o joncțiune din tranzistorul KT 904 A, sau 2 N 3375 ce suportă o putere de intrare de 4 W (fig. 46).

Circuitul de intrare pentru  $f = 144$  MHz la o impedanță de  $75 \Omega$  este format din  $L_1$  și  $C_1$ . Circuitul format din  $L_2$  și  $C_2$  este

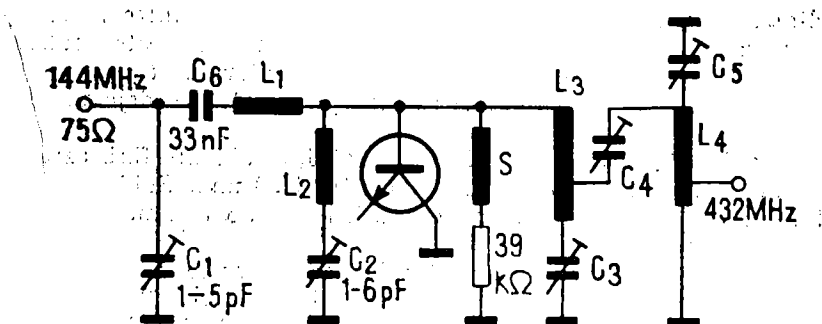


Fig. 46

acordat pe 288 MHz și are rolul de îmbunătățire al factorului de utilizare al multiplicatorului. La ieșire avem un filtru de bandă format din liniile  $L_3$  și  $L_4$  conectat capacitive. Rolul acestui filtru de bandă conectat la ieșirea montajului este de a permite trecerea semnalului cu frecvența de 432 MHz, blocând componentele cu frecvența de 144 și respectiv 288 MHz. Schema de montaj se poate realiza pe o placuță cu dimensiunile de 220 mm × 70 mm. În figura 47 este arătat modul de construcție al filtrului de ieșire. Sunt montate două circuite în  $\lambda/4$ . Cu ajutorul condensatoarelor  $C_3$  și  $C_5$  se poate ajusta banda de trecere a filtrului. Cuplarea ( $C_4$ )

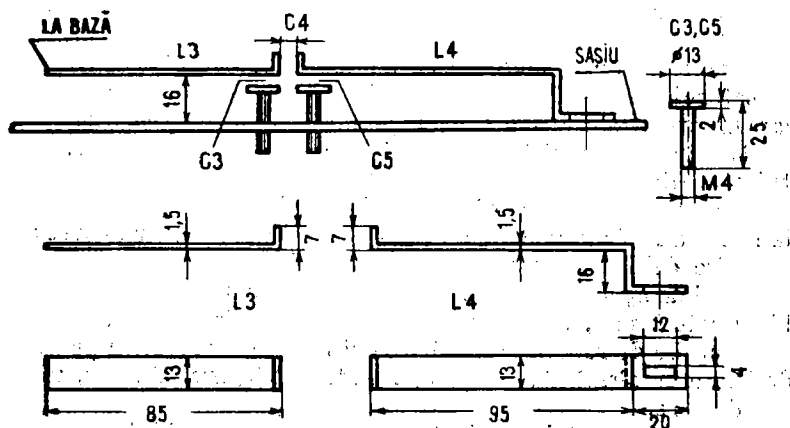


Fig. 47

dintre  $L_3$  și  $L_4$  se face prin modificarea distanței între  $L_3$  și  $L_4$ . Pentru obținerea unui factor de cuplare optim,  $L_4$  este deplasabilă, deci prin modificarea valorii condensatorului  $C_4$ .

Reglarea multiplicatorului se face prin metodele deja prezentate.

Bobina  $L_1$  are 4 spire din CuAg  $\varnothing$  1,5 bobinate fără carcăsă pe un diametru de 10 mm, lungimea fiind 20 mm. Bobina  $L_2$  are 2 spire CuAg  $\varnothing$  1,5 mm fără carcăsă, lungă de 10 mm și cu diametru 9 mm.

Pentru polarizarea tranzistorului se folosește rezistorul de 39 k $\Omega$  în serie cu socul format din 10 spire CuEm  $\varnothing$  0,5 bobinate fără carcăsă cu un diametru de 3 mm (spira lîngă spiră).

Cuplajul la linia  $L_4$  se face la 1/3 din lungimea sa față de masă.

### EMIȚĂTOR CW PE 70 cm

Emițătorul din figura 48 debitează o putere de 50 mW în regim de telegrafie. De remarcat că toate tranzistoarele sunt în montaj cu bază la masă, ceea ce asigură mare stabilitate montajului. Primul tranzistor lucrează ca oscilator și este pilotat cu un cristal de cuart ce are frecvența proprie de oscilație 12 MHz. În colector circuitul oscilant este acordat pe frecvența de 36 MHz, respectiv pe armonica a 3-a a cuartului. Bobinele de la tranzistoarele  $T_1$  și  $T_2$  sunt construite pe carcase din material plastic cu miez de ferită  $\varnothing$  5 utilizate în gama de UUS în radioreceptoare. Astfel,  $L_1$  are 11 spire CuEm  $\varnothing$  0,4, bobinaj spiră lîngă spiră, iar peste  $L_1$  se bobinează 4 spire CuEm  $\varnothing$  0,3 care constituie infășurarea  $L_2$ .

Tranzistorul  $T_2$  lucrează ca triplor de frecvență. Circuitul din colectorul său fiind acordat pe 108 MHz. Bobina  $L_3$  are 8 spire, iar  $L_4$  are 3 spire din CuEm  $\varnothing$  0,4 bobinate spiră lîngă spiră.

Etajul cu tranzistorul  $T_3$  este un dublor de frecvență circuitul său fiind acordat pe 216 MHz. Bobina  $L_5$  are 6 spire CuAg  $\varnothing$  0,6 cu pas 0,5 mm, diametrul bobinajului fiind 6 mm. Priza se ia la spira 2 (de la masă). Ultimul etaj este tot dublor de frecvență, la ieșire debitând un semnal de 432 MHz.

Bobina  $L_6$  are 2,5 spire CuAg  $\varnothing$  0,8 pas 1 mm. Diametrul bobinei este 6 mm, iar priza pentru antenă se ia la spira 1,5.

Socurile de radiofrecvență  $SR_1$  și  $SR_2$  se construiesc pe miezuri de ferită cu sîrmă CuEm  $\varnothing$  0,2. Astfel,  $SR_1$  are 10 spire, iar  $SR_2$  are 8 spire.

După ce montajul a fost executat, cu un drid-dip se acordă pe rînd circuitele oscilante. În lipsa grid-dioplului, se montează

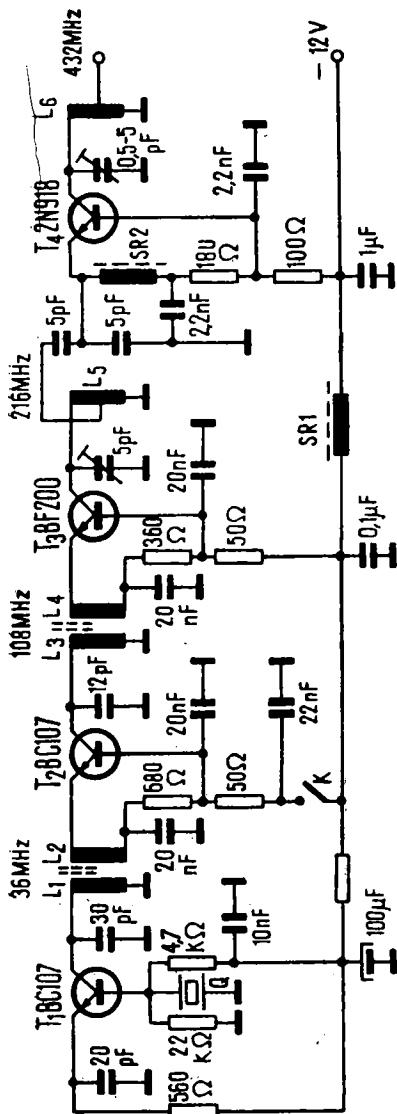


Fig. 48

în locul antenei o sarcină artificială formată dintr-un bec de 12 V/0,045 mA. Se acordă pe rînd circuitele oscilante, la primele etaje din miezurile de ferită și la celelalte din condensatoarele trimer. În timpul reglajului manipulatorul telegrafic este închis.

Acest emițător se pretează a fi modulat și în amplitudine inserind cu bobina  $L_6$  transformatorul de modulație (driver „Mamaia“). Etajul final audio poate fi un tranzistor BC 107.

### ADAPTOR EMISIE RECEPTIE PENTRU 70 cm

Adaptorul din figura 49 este utilizat atât pentru emisie cât și pentru recepție în banda de 70 cm.

Cînd se emite în 432 MHz, la intrarea adaptorului se cuplează un emițător ce debitează o putere de maxim 2,5 W în banda de 144 MHz.

Acest semnal este aplicat de fapt unui multiplicator cu diodă, la ieșire fiind favorizată armonica a 3-a respectiv 432 MHz.

Circuitul de intrare ( $L_5C$ ) este acordat pe frecvență de 144 MHz. Bobina  $L_5$  are 5 spire CuAg  $\varnothing$  0,6, cu pas 0,5 mm bobinate cu diametrul de 8 mm.

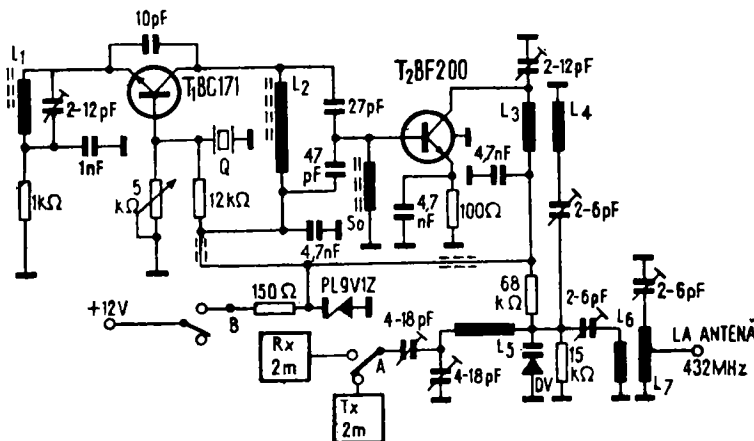


Fig. 49

Dioda multiplicatoare de frecvență este BA 110. Polarizarea acestei diode se realizează cu rezistorul de  $15\text{ k}\Omega$ . Circuitul cu bobina  $L_4$  este acordat pe 288 MHz, deci rezercta armonica a 2-a.

Bobina  $L_4$  are 5 spire CuAg  $\varnothing 0,8$  bobinate cu un diametru de 6 mm. Circuitele cu bobinele  $L_6$  și  $L_7$  sunt acordate pe frecvența de 432 MHz. Aceste două bobine sunt construite din CuAg  $\varnothing 0,8$  și au cîte 3 spire  $\varnothing 6$ , cu pas 0,5 mm. Aceste bobine se montează cu axele paralele. Distanța între aceste bobine este de 1 mm. Priza pe bobina  $L_7$  este la spira 1.

Cînd se trece la recepționarea unui semnal din 70 cm, la intrarea triplorului se conectează un receptor pentru banda de 2 m.

În acest caz, tranzistoarele  $T_1$  și  $T_2$  primesc alimentare. Aceste două tranzistoare formează un generator de semnal pe frecvența de 288 MHz.

Etajul cu tranzistorul  $T_1$  constituie un oscilator cu cuarț. Cuarțul are frecvența de rezonanță 32 MHz. Circuitul oscilant cu bobina  $L_1$  este acordat tot pe 32 MHz.

Bobina  $L_1$  este construită pe o carcăsă (de la circuitul UUS din radioceptorul Mamaia)  $\varnothing 5$  mm și are 12 spire CuEm  $\varnothing 0,4$ .

În colectorul tranzistorului  $T_1$  se află un circuit acordat pe 96 MHz. Bobina  $L_2$  (pe același tip de carcăsă ca  $L_1$ ) are 6 spire CuEm  $\varnothing 0,5$ .

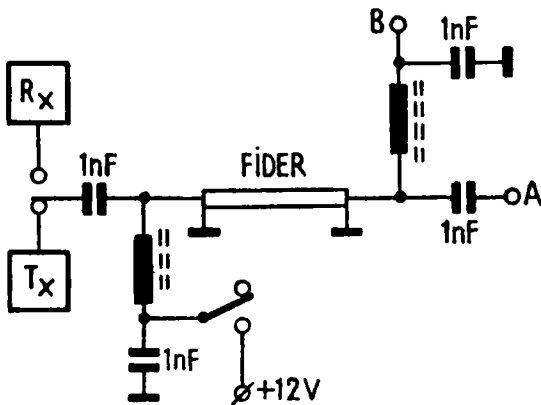


Fig. 50

Etajul cu tranzistorul  $T_2$  lucrează în clasa C ca triplor de frecvență. Circuitul din colectorul său este acordat pe frecvența de 288 MHz. Bobina  $L_2$  (pe același tip de carcăsa ca  $L_1$ ) are 6 spire CuEm  $\varnothing$  0,5.

Etajul cu tranzistorul  $T_2$  lucrează în clasa C ca triplor de frecvență. Circuitul din cloectorul său este acordat pe frecvența de 288 MHz. Bobina  $L_3$  este cuplată cu  $L_4$ ; distanța între ele fiind 1 mm.

Deci, la varactor sosește semnal de 432 MHz din antenă și semnal de 288 MHz de la oscilatorul local. Prin mixaj se obține un semnal cu frecvența de 144 MHz care selectat intră în receptor și ascultat.

Bobina de șoc SR are 12 spire CuEm  $\varnothing$  0,3 bobinate pe un miez de ferită  $\varnothing$  3. Pe firele de alimentare se montează perle de ferită.

Este recomandabil ca acest adaptor să se monteze chiar lîngă antenă, prin cablu de coboare asigurîndu-se alimentarea cu energie electrică și transportul de semnal.

Schema acestei legături (fig. 50) face comutarea prin intermediul unui releu. Cele două șocuri au cîte 20 de spire din CuEm  $\varnothing$  0,35 bobinate spiră lîngă spiră, pe miezuri de ferită. Punctele notate cu A și B se couplează la triplor, respectiv la alimentarea oscilatorului. Fiderul este un cablu coaxial de 75  $\Omega$ .

## TRIPLOR PENTRU 23 cm

Semnale în gama de 23 cm (1 296 MHz) se obțin cu ajutorul multiplicatoarelor de frecvență cu varactor. Aceste multiplicatoare sunt foarte asemănătoare ca schemă cu multiplicatoarele pentru gama de 70 cm. Evident, pentru gama de 23 cm se utilizează componente special construite acestui scop.

Schema electrică a unui multiplicator de frecvență pentru 1 296 MHz este prezentată în figura 51. Acesta se montează într-o cutie de aluminiu  $118 \times 27 \times 40$ , grosimea pereților cutiei fiind 3 mm. În locul cutiei de aluminiu poate fi construită o cutie din circuit dublu placat.

La intrarea multiplicatorului se aplică un semnal cu frecvență de 432 MHz și o putere de maximum 4 W, iar la ieșirea sa se obține 1 296 MHz cu o putere de 2 W. Dioda varactoare este de tip MA 4 B-300 („Motorola“) sau 2 B 103 A. Circuitul de la intrare este acordat pe frecvența de 432 MHz; circuitul de la ieșire pe armonica a 3-a, deci pe 1 296 MHz.

Se observă că în paralel cu varactorul apare circuitul oscilant  $L_2C_3$ , care trebuie acordat pe armonica a 2-a a semnalului, respectiv pe 864 MHz. Rezistorul de polarizare a varactorului este de  $15 \text{ k}\Omega/0,5 \text{ W}$  cu rezistență distribuită în volum. Linia  $L_1$  este construită dintr-un fir de CuAg  $\varnothing 1,5$  lung de 70 mm. Condensatoarele  $C_1$  și  $C_2$  au capacitatea cuprinsă între 1–4 pF.

Linia  $L_2$  are o lungime de 50 mm confecționată din stirmă sau țeavă CuAg  $\varnothing 3$ . Condensatorul  $C_3$  are valoarea cuprinsă între  $0,5$  –  $3$  pF. Linia  $L_3$  din circuitul oscilant pe 1 296 MHz are o construcție deosebită, dimensiunile sale fiind date în figura 52. Aceasta se confecționează din cupru sau alamă, după care se arginteză.

În interior, la un capăt, se practică filet și se introduce un șurub ce constituie o armătură a condensatorului  $C_4$ . La cealaltă extremitate linia se fixează de cutie (tot cu filet).

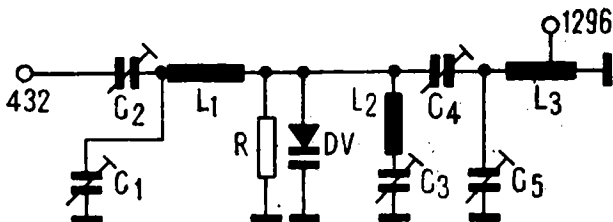


Fig. 51

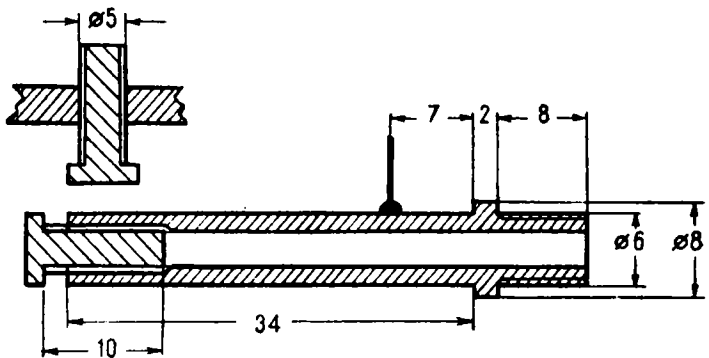


Fig. 52

Condensatorul  $C_6$  este format din corpul liniei  $L_3$  (capătul cu condensatorul  $C_4$ ) și un șurub  $M_5$  ce se înfiletează prin cutie, prevăzut la un capăt o rondelă  $\varnothing 8$ .

Pe corpul liniei  $L_3$  se conectează ieșirea pentru antenă. Pentru acordarea multiplicatorului se conectează în locul ieșirii un bec 12 sau 24 V/2–4 W și se acordă în ordine circuitele (de la intrare sau ieșire) din condensatoare pentru iluminare maximă a becului.

Ordinea și tehnica acordului sunt asemănătoare cu aceleași operații ce se execută la multiplicatoarele pentru 432 MHz.

Pe terminalul varactorului se sudează (prin cositorie) o rondelă  $\varnothing 8$  care împreună cu rondela de la linia  $L_3$  să formeze condensatorul  $C_4$ . Se recomandă ca acest triplor să se fixeze sub antena de emisie. Condensatorul  $C_4$  se manevrează din exteriorul cutiei prin linia  $L_3$ .

## CAPITOLUL III

### ANTENE

#### PROPAGAREA UNDELOR

Pentru o justă apreciere a posibilităților de emisie-recepție în banda undelor metrice-centimetrice, trebuie avut în vedere că acestea se propagă după legi proprii. Se știe că în gama undelor medii propagarea este de suprafață și spațială. Propagarea fiind aproape independentă de forma de relief a terenului. Aceasta are ca urmare pătrunderea lor în vâi adânci sau printre case și blocuri înalte, pe o anumită rază care depinde de puterea emițătorului. Condiția și modul de propagare a undelor ultrascurte se poate compara însă cu propagarea razele de lumină, prezintând multe asemănări.

Undele ultrascurte ca și razele de lumină se propagă în linie dreaptă, deci ele nu urmăresc suprafața pământului și nu sunt nici reflectate de ionosferă, distanța lor de propagare fiind limitată. Razele de lumină ajung într-un cîmp deschis pînă la orizontul vizibil; în cazul undelor ultrascurte, datorită lungimii de undă proprii mai mare ca a luminii, cît și a unei difracții, acestea depășesc limita orizontului, iar aria de pătrundere crește, față de razele luminoase, cu circa 35 % (valabil pînă spre 600 MHz).

Chiar dacă mărîm puterea emițătorului, undele nu pătrund mult dincolo de granița naturală — orizontul; distanța de propagare a acestora se poate calcula în funcție de înălțimea antenelor utilizate.

Cu ajutorul unui sistem de oglinzi razele luminoase pot fi dirigate (reflectate) în fascicul, într-o anumită direcție, această proprietate fiind valabilă și pentru undele ultrascurte.

Întrucît undele ultrascurte nu sunt reflectate de ionosferă, emițătoarele își trimit întregă energie în plan orizontal (polarizare). Prin aceasta, la un consum de energie constant, se cîștigă putere radiată. Cu toate că alegem pentru stațiile de emisie antene înalte (dealuri etc.) aria de lucru este diminuată tocmai datorită reliefului.

O propagare dificitară apare și în orașele cu clădiri înalte, blocurile din beton armat fiind medii de atenuare și reflexie.

În legătură cu utilizarea unor antene și, în special, pentru compararea calităților unor antene, sunt utilizate cîteva expresii și noțiuni.

La definirea unor mărimi referitoare la tensiuni sau puteri ca unitate de măsură este folosit decibelul (dB). Aceasta indică raportul logaritmice între două mărimi de tensiune sau putere.

Cu ajutorul decibelului putem opera adunări și scăderi în cîstigul unei antene sau a unei instalații de antene. Cind este vorba de cîstig de energie rezultatul se notează cu +dB (de exemplu +3 dB), iar în cazul unei atenuări se notează cu -dB (-3 dB).

O mărime a unei antene este cîstigul ( $G$ ) care arată cîtă energie în plus a furnizat unui receptor o antenă cu mai multe elemente față de dipolul simplu, cind se găsesc în aceeași intensitate de cîmp electromagnetic și în aceeași frecvență.

Cîstigul este un raport de puteri și, în general, se reprezintă sub formă de grafic.

În comparație cu un dipol simplu, o antenă cu mai multe elemente are un sens preferențial de a emite sau capta energie, respectiv o directivitate pronunțată. Raportul dintre energia captată de antenă cind este cu față spre emițător (direcția  $0^\circ$ ) și energia captată cind antena este rotită cu  $180^\circ$  se numește raportul față/spate și se exprimă tot în dB. Cu cît acest raport este mai mare, antena este mai bună.

O altă mărime ce caracterizează o antenă este unghiul de directivitate. Această mărime este deosebit de importantă, influențând atât cîstigul antenei, cît și raportul semnal/zgomot al semnalului recepționat, delimitând influența surselor perturbatoare în cazul recepției, sau mărind cîmpul în cazul emisiei.

Merită să amintim și sarcina eoliană și anume, influența vînturilor asupra construcției mecanice. Înălțimea, suprafața, greutatea și materialul sunt cîteva elemente pe care constructorul trebuie să le aibă în vedere cind instalează o antenă care va fi supusă încărcării cu zăpadă sau chiciură și rafalelor de vînt.

## LINII DE TRANSMISIE (FIDERI)

Legăturile electrice între emițător și antenă sau între antenă și receptor se realizează prin intermediul cablului bifilar sau coaxial special construit în acest scop.

Prin forma lui geometrică, cablul coaxial este o linie asimetrică de transmisie; pe cind cablul bifilar este simetric.

Cînd la capătul unei linii se aplică un semnal, prin conductoarele liniei vor circula curenți, iar între conductoare va apărea o tensiune.

Viteza de propagare a acestor mărimi are o valoare bine determinată de proprietățile dielectricului dintre conductoare. Astfel, dacă între conductoare dielectricul este aerul, viteza de propagare poate fi considerată chiar viteza luminii, și anume 300 000 km/s.

Cum, în general, radioamatorii folosesc linii ce au un dielectric oarecare, trebuie ținut cont că viteza de propagare, în acest caz, este mult mai mică și determinată de valoarea constantei dielectrice relative a materialului  $\epsilon$ . Pentru cablurile coaxiale cu dielectric polietilenă  $\epsilon = 2,25$  și din calcule rezultă că viteza de propagare este de 200 000 km/s. De această valoare a vitezei, depind mărimele fizice ale cablurilor cu care operăm în practică.

Relația care dă dependența între lungimea de undă măsurată și lungimea de undă în vid are expresia:

$$\lambda = K\lambda_0.$$

Coefficientul de scurtare  $K$  pentru cablul coaxial are valoarea de 0,66–0,8.

De exemplu, pentru gama de 145 MHz  $\lambda_0 = 2$  m. Dacă urmează să dimensionăm o bucată de cablu în  $\lambda/2$ , atunci conform relației amintite avem:  $\frac{\lambda}{2} = K \frac{\lambda_0}{2} = 0,66 \frac{2}{2} = 0,66$  m.

Acest calcul a determinat de fapt o buclă de adaptare în  $\lambda/2$  între o antenă Yagi și o linie coaxială. La alte cabluri factorul  $K$  atinge valoarea 0,8.

Prin propagarea lor pe linie undele ajung la sarcină (conectată la capătul liniei) unde energia poate fi în întregime absorbită de sarcină, sau o parte din energie este reflectată înapoi pe linie. Valoarea undei reflectate este dependentă de raporturile ce există între impedanța caracteristică a liniei  $Z_c$  și impedanța de sarcină  $Z_s$ . Impedanța caracteristică a unei linii este o mărime specifică și nu depinde de lungimea, ci de forma fizică, respectiv de raportul între inductanță și capacitatea pe unitatea de lungime. Din acest motiv, impedanța caracteristică a cablelor coaxiale are o valoare destul de scăzută: 50–100 Ω, pe cind cablurile bifilare constituite industrial au impedanța caracteristică cuprinsă între 240–300 Ω.

Așadar, dacă linia are impedanța caracteristică  $Z_c$  și are conectată o sarcină cu impedanță  $Z_s$  egală cu  $Z_c$ , atunci întreaga

energie trece în sarcină și, în acest caz, spunem că am realizat un regim de undă progresivă.

Evident, în toate cazurile cînd impedanța de sarcină  $Z_s$  are o valoare diferită de valoarea impedanței caracteristice a liniei, vor apărea unde reflectate, acest regim fiind de unde staționare. Pe linie, undele reflectate și undele directe se adună, rezultanta prezentînd maxime și minime. Cînd reflexia este totală, minimele au valoarea zero, iar maximele au valoarea dublă față de unda directă. Un alt fenomen rezultat pe liniile de transmisii este atenuarea semnalului, concretizat prin pierderile de energie în cablu provocate, în primul rînd, de componenta rezistivă.

În practică, pentru transmiterea optimă de energie de la un generator la o sarcină trebuie să ținem cont de relațiile ce se pot stabili între impedanța de la intrarea liniei (notată cu  $Z_i$ ), impedanța caracteristică a liniei ( $Z_c$ ) și impedanța de sarcină ( $Z_s$ ).

Expresia matematică generală ce stabilește relația între aceste impedanțe este :

$$Z_i = Z_c \frac{Z_s + j Z_c \operatorname{tg} \frac{2\pi}{\lambda} l}{Z_c + j Z_s \operatorname{tg} \frac{2\pi}{\lambda} l}.$$

De reținut că  $\lambda$  are valoarea  $K\lambda_0$ , deci s-a avut în vedere propagarea pe linia reală cu dielectric.

În calcule, lungimea liniei (cablului coaxial)  $l$  și lungimea de undă  $\lambda$  se vor exprima în aceleași unități de măsură, funcție de domeniul frecvențelor în care lucrăm.

Cîteva cazuri particulare ale relațiilor dintre aceste impedanțe sunt exploatate în practica radiocomunicațiilor și merită a fi cunoscute. Astfel, dacă  $Z_s = Z_c$ , atunci  $Z_i = Z_c$ . Aceasta înseamnă că impedanța sarcinei este transferată chiar la intrarea liniei sau că sarcina este cuplată chiar pe generator. Evident, mai par și pierderile, dar pentru lungimi mici ale cablului acestea pot fi neglijate.

Cazul cînd  $Z_s = Z_c$  este deosebită de important pentru cuplarea unei antene la un emițător.

Linia terminată în scurtcircuit ( $Z_s = 0$ ) sau terminată în gol ( $Z_m = \infty$ ) prezintă la intrare reactanță și în funcție de lungimea lor pot fi utilizate ca circuite oscilante.

Dacă linia este terminală în scurtcircuit  $Z_s=0$  și are lungimea  $l=\lambda/4$ , la intrarea prezintă o impedanță  $Z_i=\infty$ , adică se prezintă ca un circuit oscilant derivatie de foarte bună calitate. Linia în  $\lambda/2$ , în acest caz, apare ca un circuit oscilant serie, deci  $Z_i = 0$ .

Pentru linia terminată în gol, deci  $Z_s = \infty$  și de lungime  $\lambda/4$  impedanța de intrare este  $Z_i = 0$ , iar pentru lungimea  $\lambda/2$ ,  $Z_i = \infty$ .

Cind impedanța de sarcină  $Z_s$  are o anumită valoare, impedanța de intrare în linie este determinată de lungimea liniei. Astfel, pentru  $l = \lambda/2$  sau un multiplu de  $\lambda/2$  se obține  $Z_i = Z_s$ , iar pentru  $l = \lambda/4$  relația este  $Z_i \cdot Z_s = Z_c^2$ .

Din cauza multitudinilor de soluții ce pot exista, valoarea impedanței generatoarelor, a liniilor de transmisie și a sarcinilor este oarecum standardizată.

Majoritatea sarcinilor conectate la liniile de transmisie (numite și fideri) sunt antenele și pentru benzile de unde metrice (VHF) sau centimetrice (UHF) transferul de energie de la emițător la antenă sau de la antenă la receptor constituie o problemă tehnică deosebit de importantă.

Este cunoscut faptul că foarte des utilizat ca fider este cablul coaxial, ce prezintă un număr mare de avantaje electrice și mecanice față de cablul bifilar.

Antenele pentru frecvențe superioare (indiferent de denumire) sunt simetrice. Ori, pentru cuplarea unei antene la un cablu coaxial trebuie să realizăm adaptarea de impedanțe între  $Z_c$  și  $Z_s$  (antenă) și, totodată, pentru a menține calitățile electrice ale antenei, să realizăm trecerea de la simetric la asimetric prin intermediul unui cablu coaxial cu lungimea  $\lambda/2$  ca în figura 53.

Cel mai frecvent caz și metodă de simetrizare o constituie cuplarea unei antene simetrice cu impedanță de  $300 \Omega$  la un cablu coaxial cu impedanță de  $75 \Omega$ . Simetrizarea se face prin intermediul unui cablu coaxial cu lungimea  $\lambda/2$  ca în figura 53.

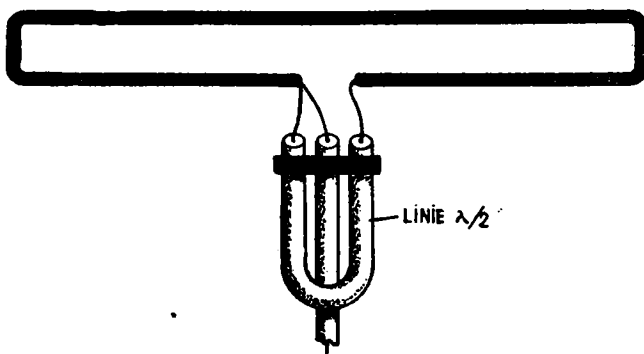


Fig. 53

Se observă că la un punct al antenei, care are impedanța de  $150 \Omega$  este adus și celălalt punct tot de  $150 \Omega$  prin intermediul cablului  $\lambda/2$ . Cele două impedanțe de  $150 \Omega$  conectate în paralel creează un punct cu impedanță de  $75 \Omega$  la care se conectează cablul coaxial care are  $Z_c = 75 \Omega$ .

În alte cazuri, cînd urmează să adaptăm două impedanțe, se folosește o linie  $\lambda/4$ , a cărei impedanță caracteristică să îndeplinească relația  $Z_c^2 = Z_i \cdot Z_s$ .

## REGLAREA ANTENELOR

După confectionare, următoarea etapă în construcția unei antene este reglarea sa.

Prin reglare înțelegindu-se acordarea ei în banda de frecvențe pentru care a fost construită, precum și adaptarea ei la fider.

În primul rînd, trebuie avut în vedere că, pentru reglarea unei antene, un radioamator are nevoie de un indicator de cîmp și, eventual, de un indicator de unde staționare. Pentru reglaj, antena se montează într-un cîmp deschis, fără obstacole pe o rază de  $30-50$  m. Se va evita poziționarea antenei spre un gard de sîrmă sau ceva asemănător, cunoscut fiind că aceste obstacole reflectă puternic undele electromagnetice, gradul de eroare al măsurătorilor crescind considerabil. Antena trebuie să fie ridicată la înălțimea de  $1,5-2$  m de la sol. În fața antenei, la cîțiva metri ( $4-5$ ), se instalează măsurătorul de cîmp (fig. 91). Antena se alimentează cu o putere redusă și se reglează distanța între elemente (pentru unele) sau linia de acord (pentru altele), urmărindu-se o indicație maximă pe măsurător. Cînd este montat și un instrument indicator de unde staționare, acesta trebuie să aibă o indicație minimă pentru un cîmp radiat cît mai mare.

La antenele cu linie gama acordul se face atit din lungimea liniei, cît și din condensatorul de acord (în special).

În majoritatea cazurilor, din practică, s-a constatat că dacă amatorul respectă exact cotele și indicațiile date pentru o antenă, aceasta poate fi utilizată cu succes și fără efectuarea unor reglaje.

## YAGI CU 9 ELEMENTE

Antena Yagi cu 9 elemente pentru banda de  $2$  m se caracterizează prin calități electrice și mecanice foarte bune. Respectînd cotele antenei din figura 54 și a vibratorului din figura 55 se obține un unghi de directivitate de  $39^\circ$ , un ciștig de  $11$  dB și un raport

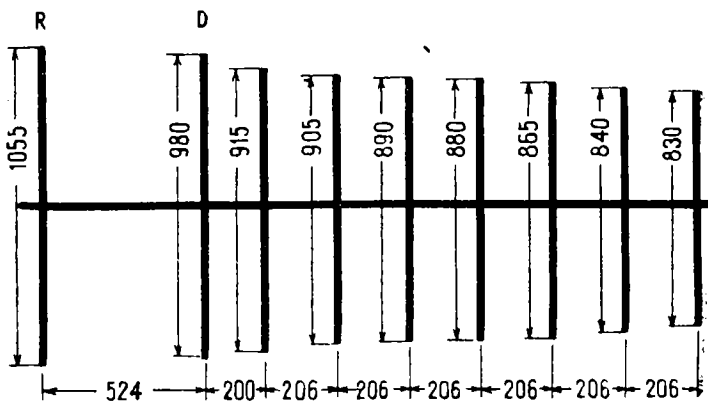


Fig. 54

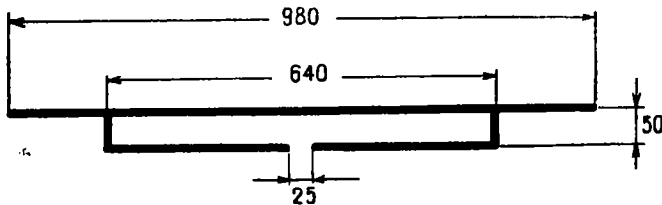


Fig. 55

față spate de 24 dB. Adaptarea antenei la un cablu coaxial cu impedanță de  $75 \Omega$  se face cu o linie  $\lambda/2$  cu lungimea fizică de 690 mm.

Elementele antenei sunt confectionate din țeavă de aluminiu sau cupru  $\varnothing 6$  mm.

### **YAGI CU 10 ELEMENTE**

Antena din figura 56 este tot pentru 2 m și are 10 elemente. Această antenă are un ciștig de 13 dB, un unghi de directivitate de  $36^\circ$  și o impedanță de  $300 \Omega$ .

Lungimea totală a antenei este de 3,5 m, impunind un pilon de susținere foarte robust.

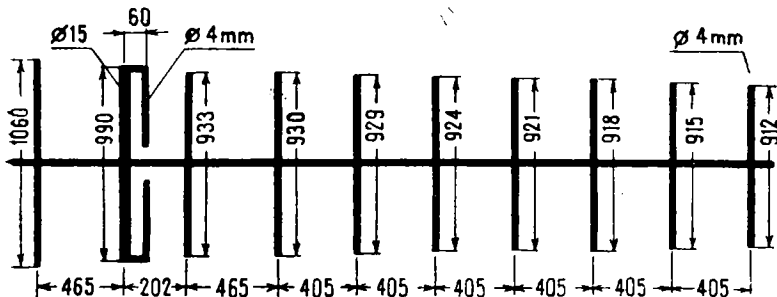


Fig. 56

Adaptarea fiderului de  $75 \Omega$  se face printr-o buclă cu lungimea de 68 cm. Toate elementele sunt din țeavă  $\varnothing$  cm, cu excepția unei părți din vibrator care are  $\varnothing$  15.

### ANTENA QUAGI

O combinație între antena Quad și antena Yagi a dat naștere unui nou tip de antenă care îmbină calitățile celor două tipuri de antene și care poartă denumirea de Quagi (fig. 57).

Această antenă are reflectorul și vibratorul sub formă de cadru, iar directoarele sub forma celor de la antena Yagi. Impedanța de intrare a antenei este de  $50 \Omega$ . În figura 58 sunt date detalii ale vibratorului și modul de legare a fiderului, iar în figura 59 este prezentat aspectul fizic al acestei antene.

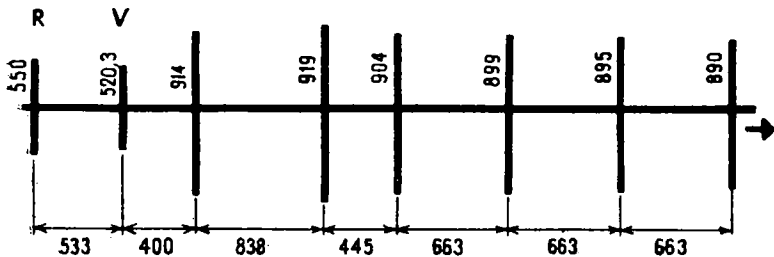


Fig. 57

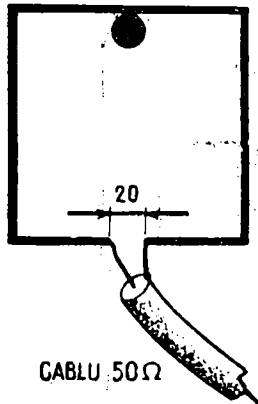


Fig. 58

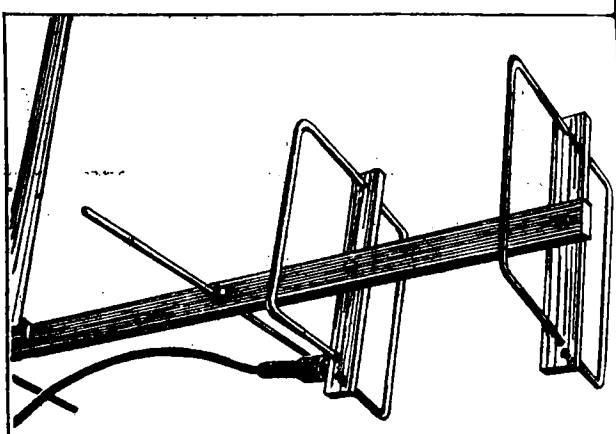


Fig. 59

## ANTENE PENTRU 70 cm

### YAGI CU 4 ELEMENTE

Pentru stații portabile se folosesc, de regulă, antene ușor manevrabile. Dacă stația de emisie-recepție portabilă este amplasată într-un loc de unde transmisiile se pot realiza fără mari dificultăți geografice, nu mai este necesar să obținem un cîstig atit de mare. Pentru astfel de cazuri se utilizează antene cu greutate și dimensiuni reduse. În figura 60 sunt date dimensiunile unei antene Yagi cu 4 elemente.

Reglarea corespunzătoare a antenei se face cu ajutorul unei linii gama. Construcția elementelor este din țeavă de duraluminiu cu un diametru de 8 mm și o grosime a pereților de 0,5 mm. Dealtfel, se pot utiliza și bare din aluminiu sau din alamă. Pentru linia gama se utilizează sîrmă argintată  $\varnothing$  2 mm (fig. 61). Bara portantă este dintr-un profil „U“, dar poate să fie și dintr-o țeavă din aluminiu sau dintr-un cornier.

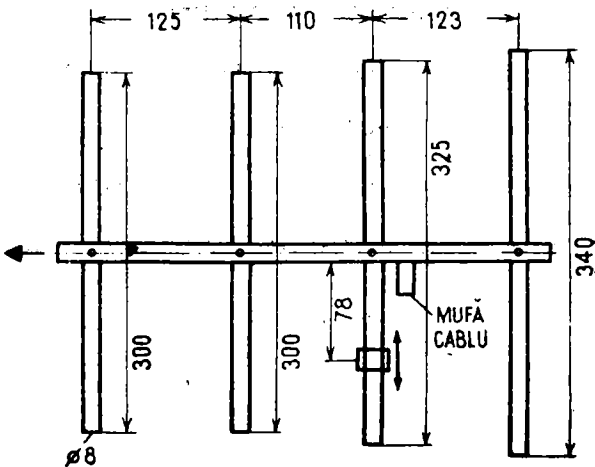


Fig. 60



Fig. 61

## **YAGI CU 5 ELEMENTE**

O antenă cu dimensiuni mai mari, dar și cu un ciștig mai mare este dată în figura 62.

În cazul în care folosim bare mai subțiri decât la antena cu 4 elemente, greutatea antenei va fi redusă.

Reglarea antenei se face empiric. Antena realizează un ciștig de 10 dB față de dipolul în  $\lambda/2$ .

Adaptarea la cablul coaxial se realizează prin linia gama.

## **ANTENA HB 9 CV**

O variantă a antenei Yagi este cunoscută sub denumirea de HB 9 CV, antenă la care sunt alimentate atât elemente radiatoare cât și cele reflectoare. Directivitatea este apropiată de a antenei Yagi cu 4 elemente, dar pierderile sunt mult mai reduse. Un avantaj deosebit al acestei antene este faptul că ea poate fi construită cu ușurință și nu necesită o reglare specială.

Această antenă are două elemente la care distanța între ele este  $\lambda/8$ . Cu defazajul creat între semnalele de pe cele două elemente se obține un ciștig de 4–5 dB față de antena obișnuită cu două elemente.

În figura 63 este dat modul general de dimensionare a antenei HB 9CV.

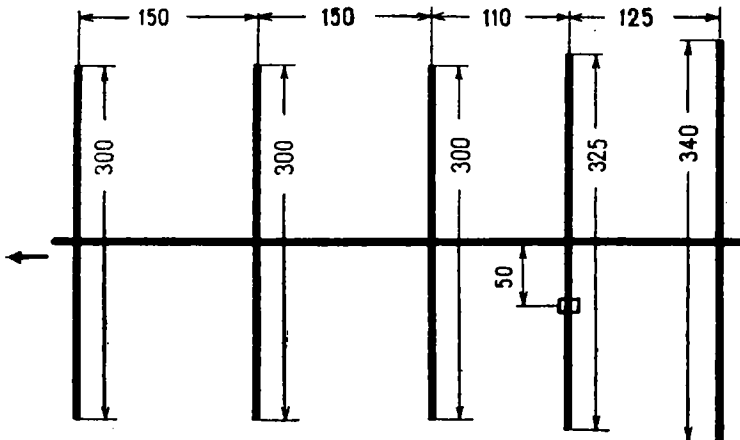


Fig. 62

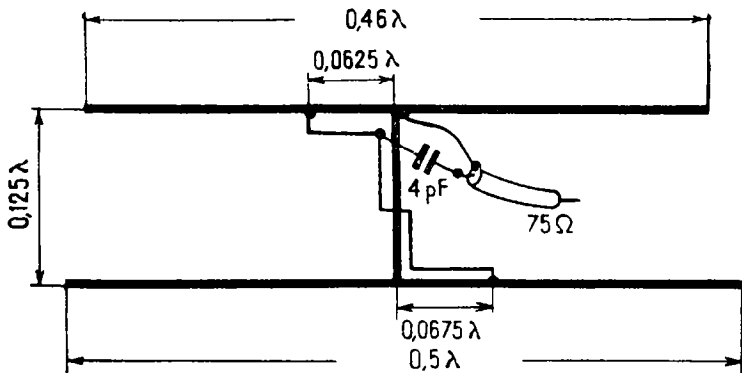


Fig. 63

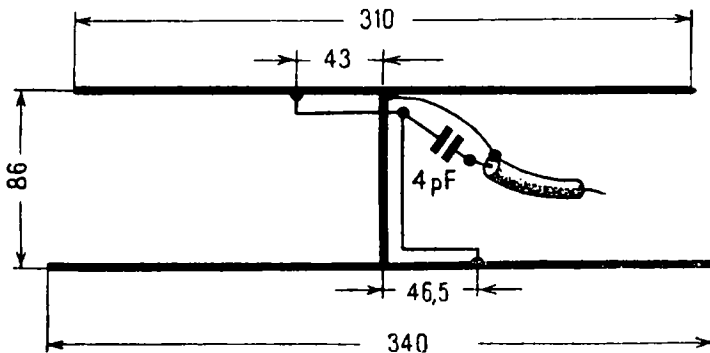


Fig. 64

În figura 64 sunt noteate dimensiunile antenei HB 9 CV pentru banda de 70 cm. Elementele antenei sunt realizate din bare de alamă de 5 mm, iar bara de susținere din țeavă de 8 mm. Locurile de imbinare sunt fixate prin sudură. Eventual, după sudare se poate arginta. Stabilitatea mecanică a antenei este deosebit de mare, astfel încit se poate utiliza cu siguranță în orice împrejurare.

Firul de legătură pentru cuplaj și adaptare este din cupru  $\varnothing$  1,5. Traекторia planului firului urmărește modelul antenei, fiind perpendiculară pe planul orizontal. Distanța pînă la antenă este de 8 mm. Cuplajul antenei cu fiderul se face cu o mufă pentru cablu coaxial. O antenă fizică HB 9 CV este prezentată în figura 65.

Fig. 65

### **YAGI CU 5 ELEMENTE**

Cu această antenă (fig. 66) s-a obținut un ciștig de 7 dB. Elementele și bara de susținere sunt confectionate din țeavă de duraluminiu cu un diametru exterior de 8 mm. Bara de susținere se compune de fapt din două țevi între care s-au fixat elementele. În locul de îmbinare elementele au fost astfel pilite încit să nu aibă posibilitatea de rotire. Deci, prin acesta s-a realizat o stabilitate mecanică mare. Dimensiunile elementelor sunt notate în figura 67, iar detaliul liniei gama este în figura 68.

### **ANTENA ELICOIDALĂ**

Antena elicoidală în banda de 2 m și 70 cm, are dimensiuni mari, iar rezistența mecanică nu prezintă siguranță. Cu mici excepții, ea poate fi utilizată chiar în banda de 70 cm, dar pentru banda de 23 cm ea poate fi realizată fără eforturi. Pentru că dimensiunile antenei sunt reduse, poate fi utilizată o construcție sub forma unor grupe de antene. Pentru a da, în acest caz, antenei o utilizare universală, jumătate din antene s-ar regla cu rotire spre stînga, iar cealaltă jumătate spre dreapta. Astfel, se pot receptiona orice fel de posturi. Aceasta are avantajul că se pot receptiona semnale de la distanțe mari sau chiar transmise prin

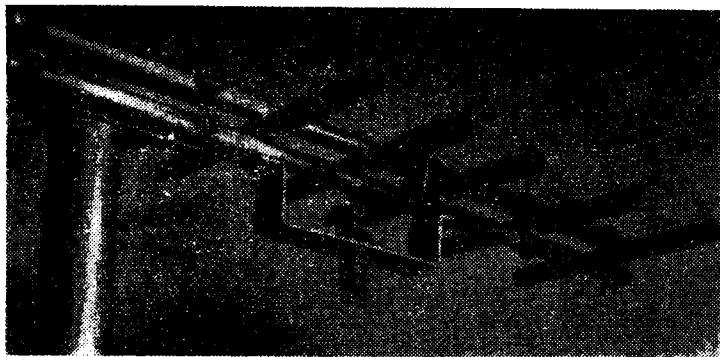


Fig. 66

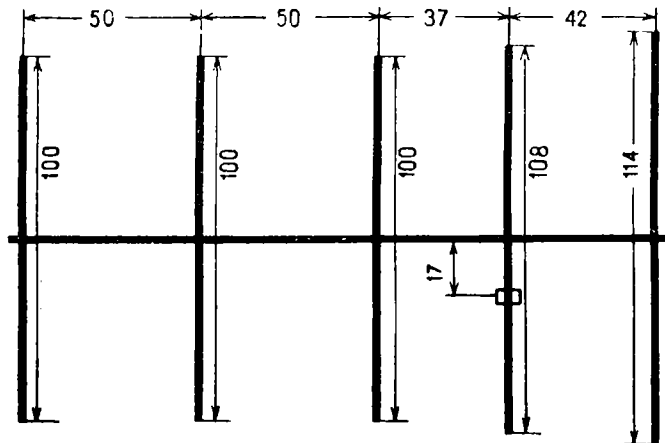


Fig. 67

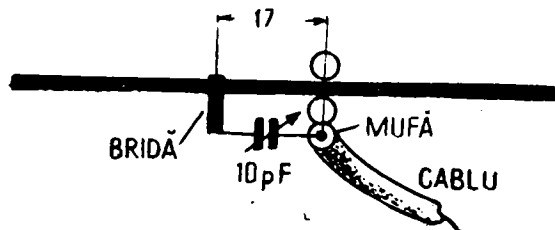


Fig. 68

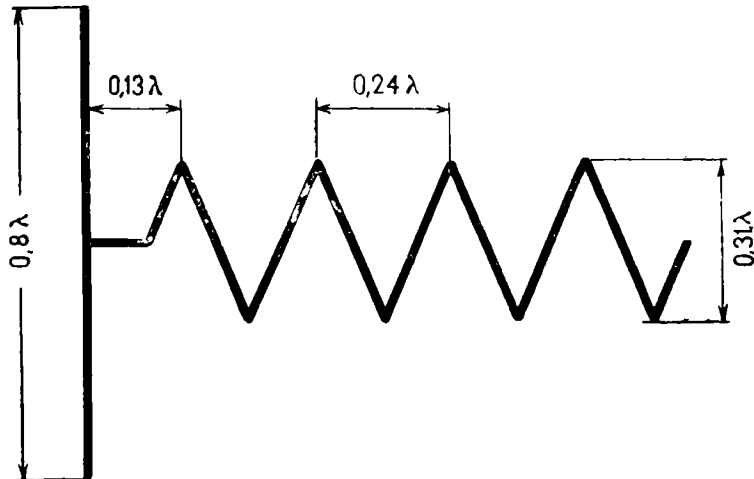


Fig. 69

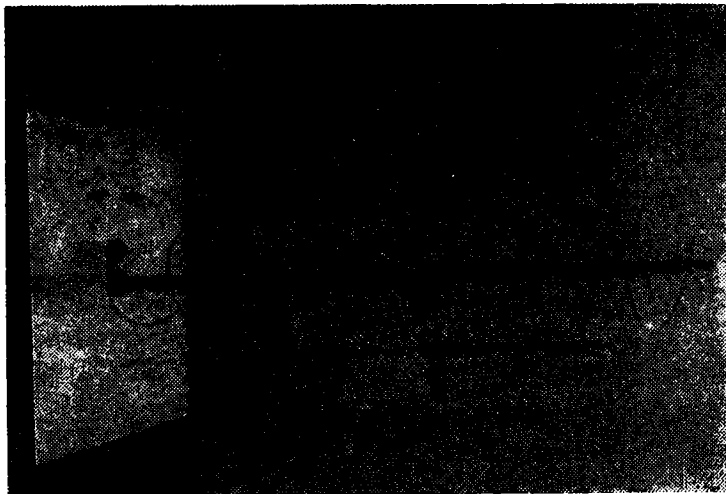


Fig. 70

**satelit.** La legăturile radio care au în drumul lor o sursă de reflexie pot apărea schimburi de polarizare, dar, și în acest caz, antena elicoidală prezintă avantaje.

Dimensiunea antenei nu este chiar atât de complicată cum s-ar crede. Important este diametrul spirei, ținându-se seama de un factor de reducție, care să corespundă lungimii de undă pentru care va fi construită antena. De numărul de spire depinde cîștigul antenei. Se recomandă ca numărul să nu fie mai mic de 5 și nu mai mare de 20.

Reflectorul trebuie să fie o plasă cu ochiuri foarte dese (apropiate) sau se poate utiliza chiar o bucată de tablă.

Impedanța de intrare a antenei elicoidale este între 120 și 140  $\Omega$ , iar legătura se face cu un cablu de 60–75  $\Omega$ . Cablul de adaptare va fi de  $\lambda/4$  cu  $Z_c = \sqrt{120 \times 75} = 90 \Omega$ .

Practic, este un transformator  $\lambda/4$  dintr-o țeavă metalică căreia i se introduce un cablu. De exemplu, pentru un diametru interior al țevii de 10 mm și pentru o impedanță caracteristică de 90  $\Omega$  ar fi necesar un fir cu un diametru de 2 mm. Lungimea țevii ar fi (ținându-se seama de factorul de reducere, pentru banda de 23 cm) de 50 mm.

Dacă recepționăm cu o antenă cu polarizare circulară o emisie polarizată orizontal, ar rezulta, datorită deosebirii de polarizare, o pierdere de 3 dB. Dacă două antene se leagă în paralel, atunci obținem o impedanță totală de 60–70  $\Omega$  și cu acest gen de antene se poate lucra fără transformator, iar alimentarea putându-se realiza printr-un cablu de 75  $\Omega$ . Această variantă este recomandată, iar distanța dintre antene de la centru la centru să fie de  $1/5\lambda$ . Pentru ambele antene se folosește un singur reflector dimensionat corespunzător.

În figura 69 este dată o antenă elicoidală pentru banda de 23 cm care poate fi realizată cu mijloace deosebit de simple.

Aspectul unei antene elicoidale este dat în figura 70.

## ANTENA DIEDRU

Antena diedru pentru 23 cm se confectionează din tablă de aluminiu cu grosimea de 0,3–0,5 mm sau din oricare alt tip de tablă. Dimensionarea bucăților de tablă este dată în figura 71 și figura 72. Din figura 72 se observă că antena propriu-zisă este un segment în  $\lambda/4$  din fir de cupru  $\varnothing 2$ .

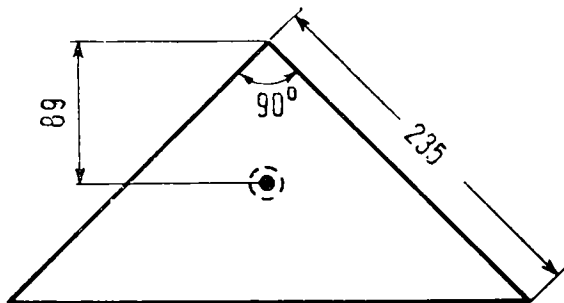


Fig. 71

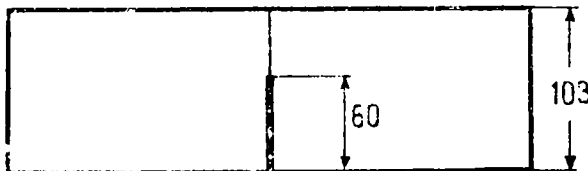


Fig. 72

Triunghiul de bază al reflectorului se fixează (cu șuruburi) chiar de cutia emițătorului (la 89 mm de la colț pe bisectoare) în dreptul mufei de ieșire a elementului  $\lambda/4$ .

După ce ansamblul antenei a fost montat, se încearcă o ușoară reacordare a elementelor de la ieșirea emițătorului, urmărindu-se cîmp electromagnetic maxim la receptor sau la un măsurător de cîmp. Ciștigul antenei este de 10 dB.

## CAPITOLUL IV

### ALIMENTAREA CU ENERGIE ELECTRICĂ

Alimentarea cu energie electrică a echipamentului tranzistorizat se poate face din baterii galvanice, baterii de acumulatoare sau din rețeaua electrică de curent alternativ.

Alimentarea de la primele categorii de surse nu necesită montaje sau amenajări speciale. Cum majoritatea radioamatorilor își alimentează aparatul din rețeaua de curent alternativ, în acest capitol vom prezenta mai multe montaje practice cu rezultate foarte bune în exploatare.

#### ALIMENTATOR CU TIRISTOR

Montajul din figura 73 poate servi la alimentarea unui echipament tranzistorizat ce necesită un curent de pînă la 1 A. Cu elementele din montaj tensiunea debitată are valoarea de 30 V, dar schimbînd diodele Zenner, în funcție de tipul lor se schimbă și valoarea tensiunii de la ieșire.

În acest montaj nu se utilizează transformator, reglajul tensiunii fiind realizat de tiristor.

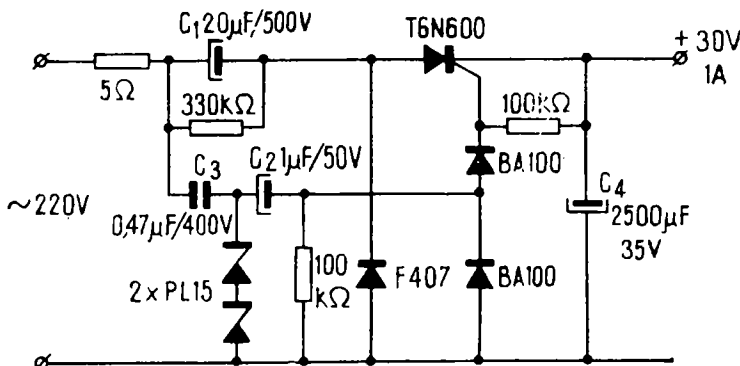


Fig. 73

La o semialternanță condensatorul  $C_1$  cu valoarea de  $20 \mu\text{F}$  se încarcă prin dioda F 407 la valoarea de 300 V. În semialternanță următoare tiristorul se deschide la un moment dat și sarcina electrică înmagazinată în  $C_1$  este transferată condensatorului  $C_4$ . Acest transfer de sarcină electrică este posibil numai cind tensiunea la bornele condensatorului  $C_4$  este mai mică decât valoarea tensiunii de referință dată de diodele Zenner (în cazul de față 30 V).

Se observă că tensiunea rețelei este aplicată mai întâi diodelor Zenner care exclud alternanța negativă, iar alternanța pozitivă o liniitează la 30 V. Prin diferențierea acestui semnal de condensatorul  $C_2$  și rezistorul de  $100 \text{ k}\Omega$ , impulsuri pozitive ajung prin dioda BA 100 la poarta tiristorului, creșându-i condiția de deschidere. În acest mod, tensiunea de la ieșire este practic independentă față de variațiile tensiunii rețelei și de curentul consumat.

Se mai pot utiliza tiristoare de  $5-10 \text{ A}$  și  $600 \text{ V}$ , de tipul KY 201.

## FILTRE CU TRANZISTOARE

Cele mai multe montaje de alimentare folosesc transformatoare de rețea coboritoare de tensiune. Tensiunea de la aceste transformatoare este redresată, filtrată și, în unele cazuri, aplicată unui stabilizator electronic.

Montajul din figura 74, după ce redreseză tensiunea, o aplică tranzistorului BD 135.

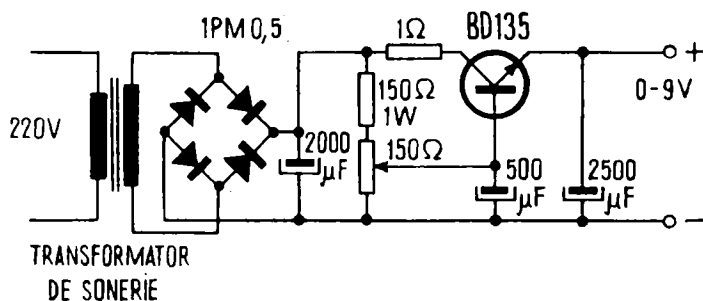


Fig. 74

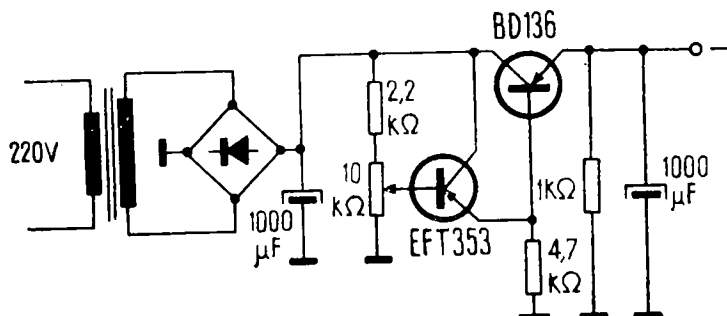


Fig. 75

Prin polarizarea bazei la o anumită valoare se stabilește valoarea tensiunii la ieșire. De remarcat că acest montaj nu realizează o stabilizare a tensiunii, ci numai o pronunțată filtrare a sa. Același efect îl are și montajul din figura 75. Curentul obținut de la aceste montaje este în jur de 500 mA.

### STABILIZATOR SIMPLU

În figura 76 este prezentat un alimentator ce folosește un transformator de sonerie. După redresare cu o punte 1 PM 0,5 tensiunea are valoarea de 12 V.

Dioda Zenner și tranzistorul BC 107 formează un stabilizator electronic care furnizează la ieșire o tensiune de 9 V, iar curentul maxim admis este de 500 mA.

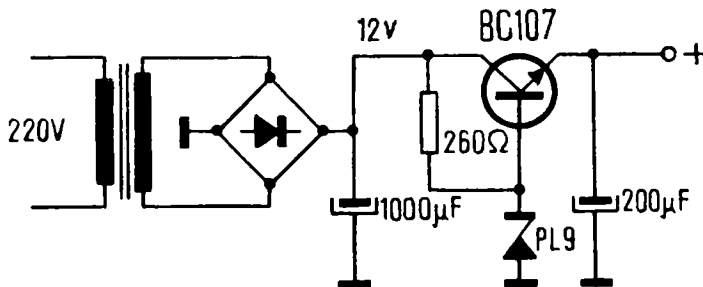


Fig. 76

## STABILIZATOR AUTOPROTEJAT

Există montaje de stabilizatoare mai complexe, ale căror rezultate sunt mult utilizate. Astfel, montajul din figura 77 asigură atât stabilizarea de tensiune, cât și protecția la supracurent.

Transformatorul se confeționează pe tole cu secțiunea de 10 cm<sup>2</sup>. În primar se bobinează 1 100 de spire CuEm Ø 0,25 iar în secundar 137 de spire Cu-Em Ø 1. Puntea redresoare este de tipul 3 PM 1.

Tranzistorul  $T_3$  este amplificator de eroare care, prin intermediu lui  $T_2$  și  $T_1$ , stabilizează valoarea tensiunii la ieșire.

Valoarea acestei tensiuni se fixează din potențiometrul  $P_1$ .

Normal, tranzistorul  $T_4$  este blocat. Când curentul consumat depășește o anumită valoare, căderea de tensiune pe rezistorul cu valoarea de 1 Ω aduce tranzistorul  $T_4$  în conducție, în modul acesta  $T_2$  și  $T_1$  se blochează și stabilizatorul este protejat.

Valoarea maximă a curentului pentru care protecția intră în acțiune se stabilește din potențiometrul  $P_2$ . Tensiunea la ieșirea acestui stabilizator este cuprinsă între 9 și 24 V, iar curentul maxim este de 1,5 A. Tranzistorul 2 N 3055 se va monta pe un radiator cu suprafață de 100 cm<sup>2</sup>.

## VARIANTA DE STABILIZATOR AUTOPROTEJAT

Aplicînd la intrarea stabilizatorului din figura 78 o tensiune de 24 V, la ieșire se poate obține o tensiune cuprinsă între 9 și 18 V cu un grad pronunțat de stabilizare. Orice variație de tensiune la ieșire este sesizată de amplificatorul diferențial construit cu tranzistoarele  $T_4$  și  $T_5$ . Variațiile curentului prin  $T_4$

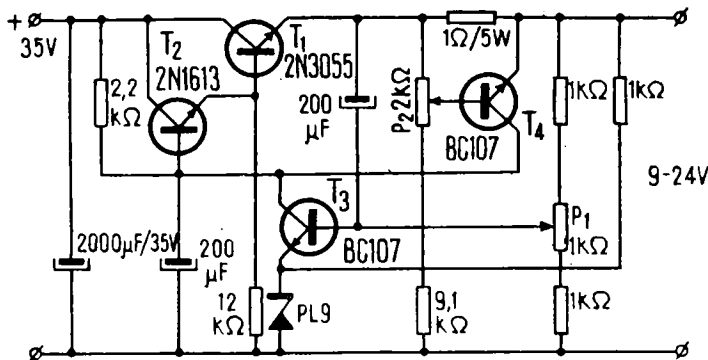


Fig. 77

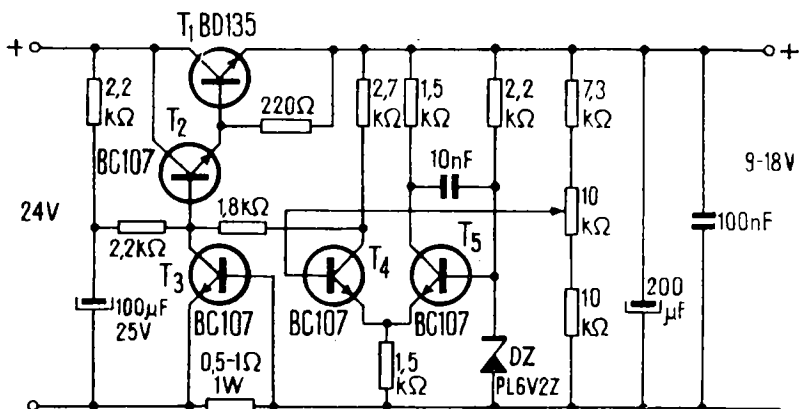


Fig. 78

modifică potențialul bazei tranzistorului  $T_2$ , în sensul că dacă tensiunea la ieșire scade, curentul de colector a lui  $T_4$  scade, iar potențialul bazei tranzistorului  $T_2$  crește. Această creștere deschide mai mult tranzistorul  $T_2$  care fiind cuplat cu tranzistorul  $T_1$  îl deschide și pe acesta, compensându-se astfel scăderea de tensiune. Valoarea tensiunii la ieșire se stabilește din potențiometrul de 10 kΩ.

Se observă că în serie cu stabilizatorul este montat un rezistor cu valoarea de  $0,5 - 1 \Omega / 1 \text{ W}$ . Cînd consumul de curent depășește o anumită valoare, căderea de tensiune la bornele acestui rezistor, aplicată între baza și emitorul tranzistorului  $T_3$ , care în mod normal este blocat, se deschide. Deschiderea sa se traduce prin punerea la minus a bazei tranzistorului  $T_2$ . Minus pe baza lui  $T_2$  inseamnă blocarea sa și a tranzistorului  $T_1$ . În modul acesta se obține autoprotecția la supracurenți. Cînd scurtecircuitul de la ieșire dispare, stabilizatorul intră automat în funcțiune.

Tranzistoarele  $T_1$  și  $T_2$  se vor monta pe un radialor cu suprafață de  $100 \text{ cm}^2$ . Cu acest montaj se recomandă un consum maxim de curent de 700 mA.

### ALIMENTATOR PROTEJAT CU TIRISTOR

Alimentatorul a cărei schemă este prezentată în figura 79 furnizează o tensiune cuprinsă între 5 și 15 V stabilizată electronic și, în plus, întreg ansamblul este protejat la supracurenți.

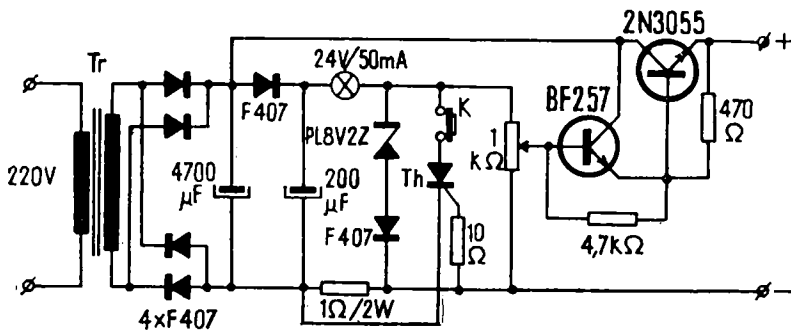


Fig. 79

Transformatorul de rețea este prevăzut în primar cu înfășurare la 220 V și este confectionat pe un miez cu secțiunea de  $6 \text{ cm}^2$  avind 1 840 de spire  $\varnothing 0,2 \text{ Cu-E}$ . Secundarul are 130 de spire  $\varnothing 0,5$ . Redresarea se face în puncte cu 4 diode F 407.

Stabilizarea tensiunii este asigurată de cele două tranzistoare, în raport cu tensiunea de la dioda Zenner. Valoarea tensiunii de ieșire de 12 V (sau alta în limitele cunoscute) se stabilește din potențiometrul cu valoarea de  $1 \text{ k}\Omega$ .

Cind curentul debitat depășește 700 mA, tiristorul  $Th$  se deschide și blochează stabilizatorul, în felul acesta realizându-se protecția. Această situație este semnalizată de bec.

Revenirea în situația normală se obține prin desfacerea contractului  $K$ . Tiristorul poate fi de orice tip. Montând pe o altă valoare în locul rezistenței de  $1 \Omega$ , se modifică pragul de limitare a curentului debitat în sarcină.

### STABILIZATOR CU CIRCUIT INTEGRAT $\beta$ A 741

Stabilizatorul din figura 80 protejează sursa de alimentare la supracurent și, în plus, stabilizarea de tensiune este foarte pronunțată.

Amplificatorul de eroare este constituit la acest montaj cu circuitul integrat  $\beta$  A 741 ce are o amplificare foarte mare. Aceasta asigură însă și o rezistență de ieșire foarte mică. Stabilizarea de tensiune este apoi realizată de tranzistoarele  $T_2$  și  $T_1$ . Valoarea tensiunii de ieșire se fixează din potențiometrul  $P_2$ .

Tranzistorul  $T_3$  asigură stabilizatorului protecția la supracurenți și fixează pragul de curent maxim admis.

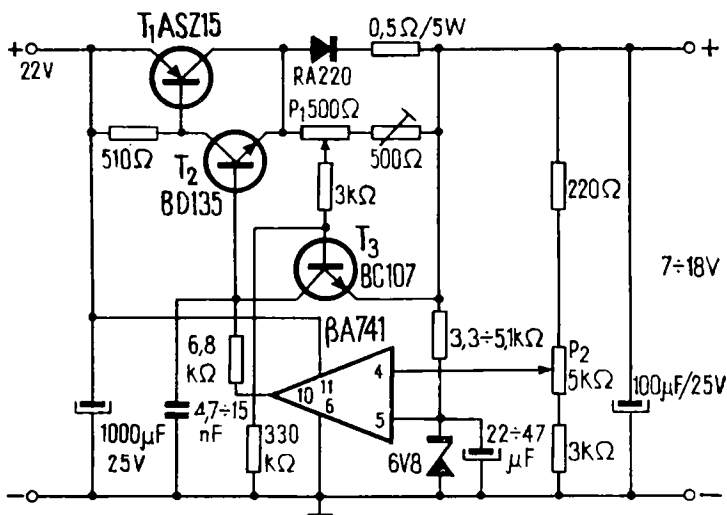


Fig. 80

Cu tranzistorul ASZ 15 (montat pe radiator  $100 \text{ cm}^2$ ) se poate debita  $1,4 \text{ A}$ . Pragul de curent se fixează din potențiometrul  $P_1$ . Tranzistoarele ASZ 15 și BD 135 se montează pe un radiator de căldură.

### STABILIZATOR CU CIRCUIT INTEGRAT $\beta$ A 723

Un alimentator cu stabilizator electronic ce are incorporat și un circuit integrat  $\beta$  A 723 este prezentat în figura 81.

Cu datele din schemă, alimentatorul poate debita o tensiune maximă stabilizată de  $15 \text{ V}$  și un curent de  $1 \text{ A}$ , fiind recomandat în special pentru tensiunea curentă din emițătoarele tranzistorizate (de  $12 \text{ V}$ ).

Circuitul integrat  $\beta$  A 723 îndeplinește funcția de amplificator de eroare. Valoarea tensiunii de ieșire se stabilește din potențiul aplicat pe terminalul 4 al circuitului integrat, luat din potențiometrul cu valoarea de  $2,2 \text{ k}\Omega$ .

Tranzistorul serie 2 N 3055 suportă foarte ușor un curent de colector de  $1 \text{ A}$ . Se va avea totuși în vedere ca acest tranzistor să fie montat pe un radiator de căldură  $100 \times 80 \times 2$ .

Transformatorul se confectionează pe un miez ou secțiunea de  $5 \text{ cm}^2$ , în primar având 2 200 spire CuEm  $\varnothing 0,2$  iar în secundar

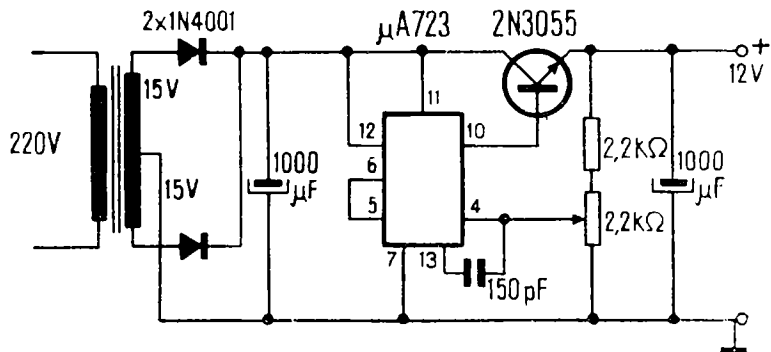


Fig. 81

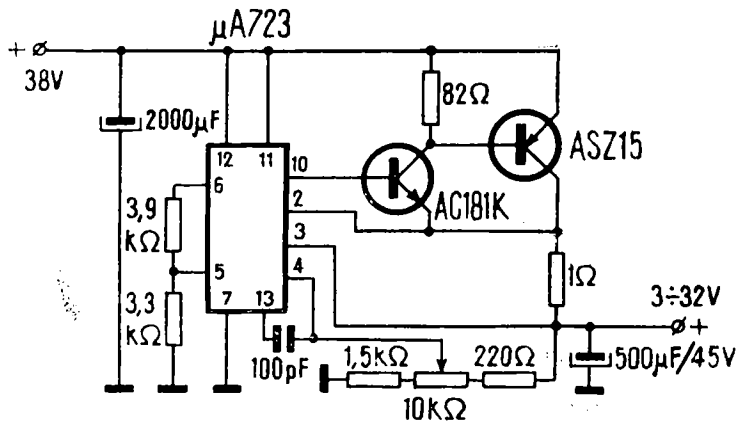


Fig. 82

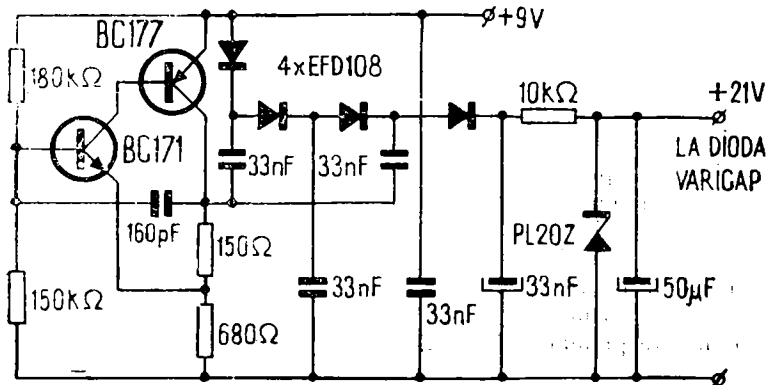


Fig. 83

$2 \times 165$  spire CuEmin  $\varnothing 0,6$ . Diodele 1 N 4001 se pot înlocui cu 1 N 4004 sau oricare diode ce admite un curent maxim direct de 1 A și o tensiune inversă de cel puțin 50 V.

## STABILIZATOR CU CIRCUIT INTEGRAT ȘI LIMITATOR DE CURENT

Mai complet este stabilizatorul din figura 82. Acesta, pe lîngă faptul că realizează o pronunțată stabilizare a tensiunii, asigură și o protecție la supracurent.

La intrare se aplică o tensiune redresată cu valoarea de 38 V, la ieșire tensiunea putând căpăta valori între 3 și 32 V.

Căderea de tensiune pe rezistența serie cu ieșirea stabilisce valoarea maximă a curentului admis prin stabilizator.

Elementul principal din această schemă îl constituie circuitul integrat  $\beta A 723$  care lucrează atât ca amplificator de eroare, cât și ca amplificator de supracurent. Curentul maxim debitat este de 3 A.

Cele două tranzistoare AC 181 K și ASZ 15 se vor monta în inod obligatoriu pe un radiator cu suprafață de  $100 \text{ cm}^2$  confecționat din tablă de aluminiu cu grosimea de 2 mm.

Pentru acest stabilizator se poate folosi un transformator cu secțiunea de  $10 \text{ cm}^2$ , în primar avînd 1 100 de spire  $\varnothing 0,3$  iar în secundar 140 de spire  $\varnothing 1,2$ .

## ALIMENTAREA DIODELOR VARICAP

Comanda diodelor varicap din circuitul de acord ale etajelor de radiofrecvență se face cu tensiuni mai mari decît tensiunile de alimentare a tranzistoarelor.

Dacă aparatul este alimentat de la rețea prin transformatoare, pe acestea se pot face înfășurări pentru tensiuni mai mari, dar în cazul aparatelor alimentate de la baterii ar fi necesară montarea unui număr mai mare de baterii.

Montajul din figura 83 este alimentat cu 9 V, dar furnizează la ieșire o tensiune de 21 V. Tranzistoarele formează un generator de impulsuri. Aceste impulsuri sunt aplicate unui multiplicator de tensiune și apoi sunt integrate, iar tensiunea rezultată stabilizată la valoarea dorită (cu o diodă Zenner). Tensiunea de ieșire este stabilă în timp și prin intermediul unui potențiometru se aplică diodelor varicap.

## CAPITOLUL V

### OSCILATOARE

Generarea semnalelor de radiofrecvență, în scopul realizării unor sisteme de transmisie sau pentru heterodinare în radioreceptoare, implică construirea unor montaje speciale.

Aceste montaje, numite oscilatoare, se construiesc urmărindu-se o mare stabilitate a frecvenței generate, luîndu-se, în acest scop, precauții speciale, cum ar fi: tensiune de alimentare stabilizată, rigiditate mecanică, plantarea unor componente electronice cu derivă termică mică, bobine cu factor de calitate mare etc.

În general, aceste construcții se introduc în cutii cu rol de ecran electromagnetic și termic. Ca radiația parazită de semnal să fie minimă, legătura între oscilatoare și alte etaje se face prin cabluri ecrurate.

Oscilatoarele se împart în două mari categorii: cu frecvență fixă și cu frecvență variabilă. Din seria oscilatoarelor cu frecvență fixă, cele mai folosite de radioamatori sunt cele pilotate cu cristal de quart, care asigură o mare stabilitate a frecvenței.

În acest capitol sunt prezentate cîteva montaje de oscilatoare cu frecvență variabilă și fixă, cu bune rezultate în exploatare.

#### OSCILATOR DE BANDĂ

Un oscilator de bandă cu mare stabilitate de frecvență are schema electrică din figura 84.

Etajul oscilator folosește un tranzistor BF 214 sau BF 215 care, prin polarizarea fixată bazei, asigură stabilitatea frecvenței cerută în benzile de radioamatori.

Frecvența se poate fixa între 6 și 14 MHz, în funcție de dimensiunile fizice ale bobinei. Astfel, pentru a genera 12 MHz, bobina se construiește pe o carcăsă cu miez de ferită (de la US din radioreceptoare) pe care se bobinează 10 spire CuEm  $\varnothing$  0,6. Variația frecvenței în bandă se fixează din condensatorul C. Acesta are o valoare medie de 20 pF. Cu valorile din schemă se acoperă banda de 2 m în limitele 143,8–146,2 MHz.

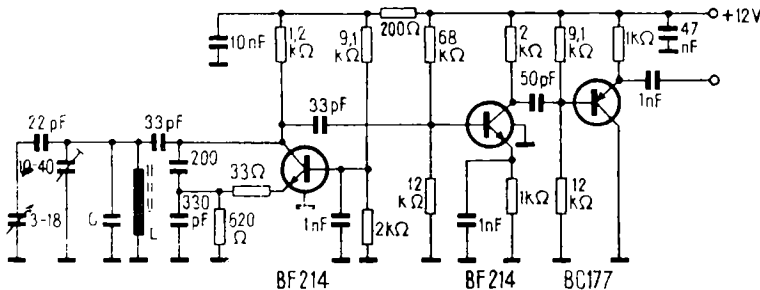


Fig. 84

Următorul etaj este amplificator de tensiune construit tot cu tranzistorul BF 214.

Pentru ca oscilatorul să nu fie influențat de celelalte etaje din emițător, este montat și etajul cu tranzistorul BC 171. Acest etaj este repertor pe emitor, care reprezintă la intrare o impedanță mare, iar la ieșire o impedanță mică, fapt ce înlesnește cuplarea în continuare a semnalului printr-un cablu coaxial.

Alimentarea oscilatorului se face cu tensiune stabilizată electronică, iar întregul montaj se introduce într-o cutie cu rol de ecran teranic și electromagnetic.

Din cutieiese axul condensatorului variabil.

### OSCILATOR PE 6 MHz

O altă variantă de oscilator cu frecvență variabilă este dată în figura 85. Montajul este conceput a lucra între 5 și 6 MHz. Bobina este construită pe o carcăsă  $\varnothing$  6 cu miez de ferită, avind

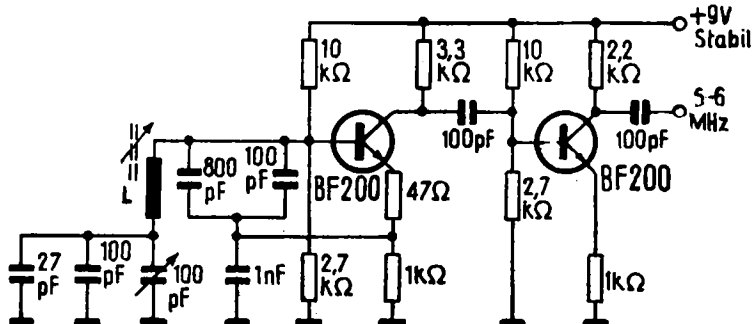


Fig. 85

bobinate 14 spire din CuEm  $\varnothing$  0,4. Se observă că în etajul oscillator apar grupuri de cîte două condensatoare. Cum în oscilatoare se montează condensatoare ce au o gamă de valori destul de restrinsă, în paralel cu ele, de valori mult mai mici, se montează alte condensatoare pentru acordul exact în bandă.

Ecranarea montajului și alimentarea sa cu tensiune stabilizată este indispensabilă bunei funcționări.

### OSCILATOR PE 9 MHz

Oscilatorul a cărui schemă electrică este dată de figura 86 se caracterizează printr-o bună funcționare și, în plus, folosește piese puține.

Ambele tranzistoare sunt de tip BC 107, BC 108, BC 109 sau similară.

Primul etaj constituie partea generatoare cu frecvență în jur de 9 MHz ; Deplasarea frecvenței cu  $\pm 1$  MHz se obține din condensatorul trimer. Pentru ca etajul oscilator să nu fie influențat de celelalte etaje din emițător, se montează și un etaj separator, echipat cu tranzistorul  $T_2$ . Acest etaj este repetor pe emitor, creând o impedanță mare la intrare și o impedanță mică la ieșire. În acest fel, etajul oscilator este separat. Tensiunea la ieșirea tranzistorului  $T_2$  este în jur de 2 Vef.

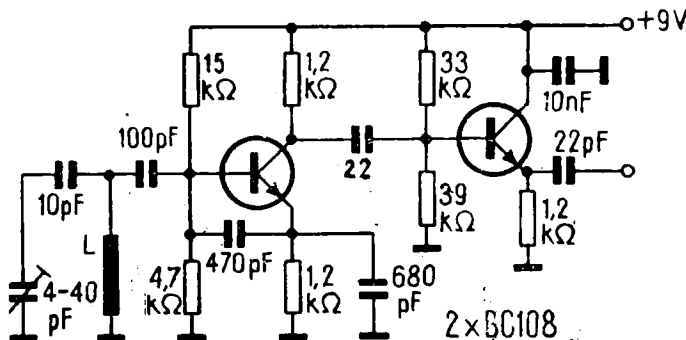


Fig. 86

Pentru frecvență de 9 MHz, bobina  $L$  se confectionează pe o carcăsă cu diametrul de 5 mm (de la bobinele din radioreceptoare).

Pe această carcăsă se bobinează 33 de spire CuEm  $\varnothing$  0,35 mm. Bobina se introduce într-o cutie cu rol de ecran.

Variația frecvenței oscilatorului se obține din condensator. Tensiunea de alimentare trebuie să fie stabilizată.

## OSCILATOR PE 12 MHz

Oscilatorul din figura 87 folosește tranzistoarele  $T_1$  (BF 183) și  $T_2$  (BF 214–215) în montaj cascod, fapt care duce la o bună stabilitate de frecvență.

Tranzistorul  $T_3$  (BF 214) constituie etajul separator. În continuare, semnalul se aplică etajului amplificator echipal cu tranzistorul  $T_4$  (BF 214–125).

În colectorul acestuia se află circuitul oscilant  $L_2 – C_5$  acordat pe frecvență de 12 MHz.

Bobina  $L_1$  are 8 spire din sîrmă de CuEm  $\varnothing$  0,3 bobinate pe o carcăsă folosită în blocul de UUS la radioceptorul „Mamaia“.  $L_2$  are 12 spire din aceeași sîrmă și este bobinată pe același tip de carcăsă ca  $L_1$ . Bobina  $L_3$  are 3 spire bobinate peste  $L_2$  (din sîrmă de CuEm  $\varnothing$  0,3).

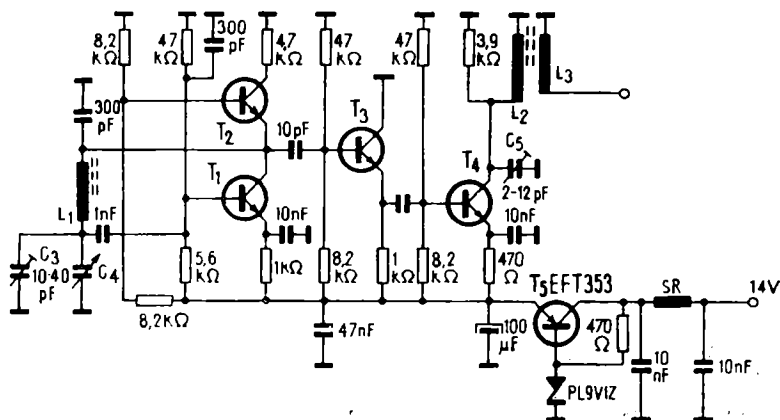


Fig. 87

Condensatorul  $C_3$  este un trimer cu aer, iar  $C_4$  este condensatorul variabil folosit la radioceptorul „Mamaia“, din care se utilizează secțiunile de UUS legate în paralel.

Nivelul de ieșire al ansamblului este de 2 Vef, cu o neuniformitate mai mică de 3 dB.

Șocul de radiofrecvență are 25 spire CuEm  $\varnothing$  0,35 bobinate pe un suport ceramic.

## OSCILATOR CU CUART

Pentru frecvențele cele mai uzitate ale cuarțurilor folosite în benzile rezervate radioamatorilor, unele montaje electronice dă rezultate excepționale. Un astfel de montaj este redat în figura 88.

Primul etaj, cu tranzistorul BC 107, este oscilatorul. Cristalul de cuarț are inseriat un condensator semivariabil, cu ajutorul căruia se poate retușa în limite mici frecvența de rezonanță. La ieșirea etajului oscilator, semnalul are frecvența cristalului și o serie de armonice. Următorul etaj este un repertor pe emitor, care izolează etajul oscilator de influența etajelor următoare. Și în acest etaj se utilizează tot un tranzistor BC 107. Evident, pot fi folosite și alte tranzistoare. Tensiunea de alimentare a etajului trebuie să fie stabilizată. În acest montaj oscilează cuarțuri cu frecvență cuprinsă între 7 și 9 MHz.

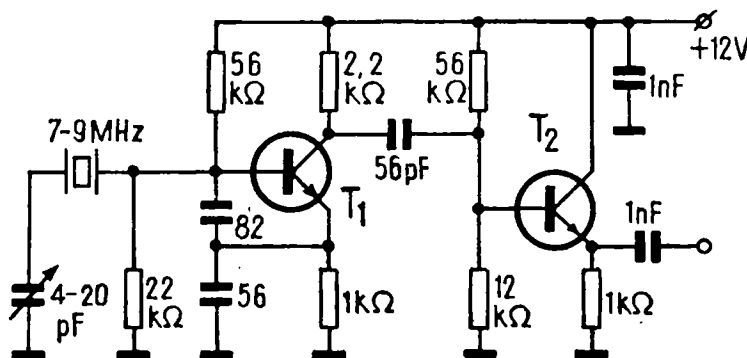


Fig. 88

## OSCILATOR-MULTIPLICATOR

Un montaj de oscilator cu cuarț care debitează la ieșire armónica a 5-a a cuarțului are schema electrică din figura 89.

Utilizindu-se un cuarț cu frecvență de 7,2 MHz, la ieșire se obține un semnal cu frecvență de 36 MHz. Evident, pot fi folosite și alte combinații de frecvență.

Bobina oscilatorului are 12 spire CuEm  $\varnothing$  0,35 bobinate pe o carcăsă de la radioreceptorul „Mamaia“. Pe această bobină se scoad spire din 3 în 3 spire.

Retușul frecvenței de oscilație se stabilește din trimerul montat în paralel cu cuarțul, iar nivelul semnalului de ieșire se obține din trimerul montat în paralel pe bobină.

Acest montaj este deosebit de eficace și cînd circuitul oscillator este acordat pe frecvența cuarțului, furnizîndu-se în felul acesta fundamentală.

Rezultatele acestea sunt valabile pentru frecvențe ridicate 20–80 MHz.

### VFX

În figura 90 este prezentat un VFX de la care se obține un semnal cu frecvență cuprinsă între 24 și 24,33 MHz. Principala sa calitate o constituie pronunțata stabilitate a frecvenței.

Tranzistorul  $T_1$  de tip BF 244 sau BF W 11 constituie un oscilator de bandă VFO ce generează un semnal cu frecvență în jur de 3 MHz. Bobina  $L_1$  este construită pe o carcăsă cu diametrul de 7 mm, dotată cu miez de ferită. Pe această carcăsă se bobinăază 50 de spire CuEm  $\varnothing$  0,2, bobinaj spiră lîngă spiră.

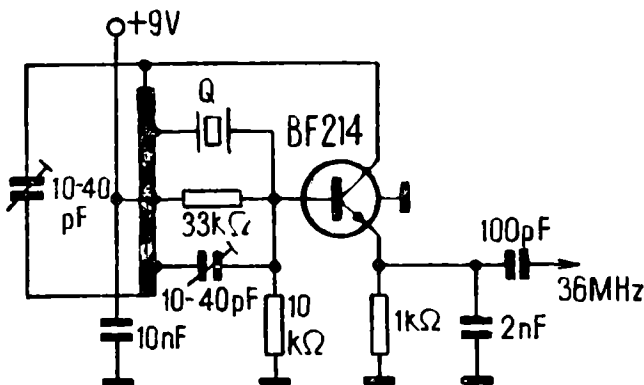


Fig. 89

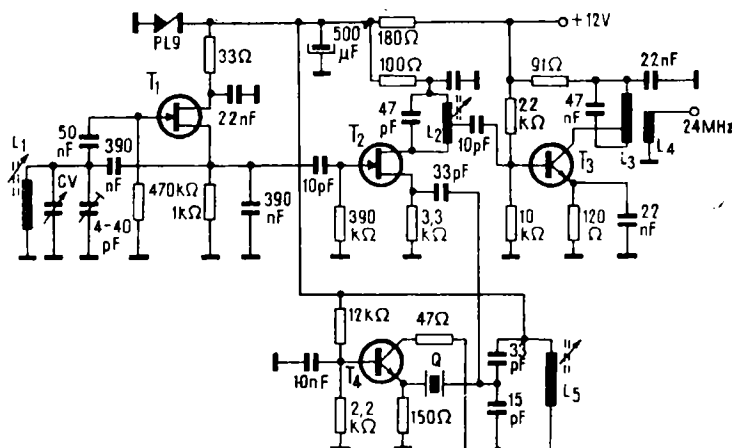


Fig. 90

Tranzistorul  $T_4$  (BF 214 — BF 215) constituie un oscilator cu cuaț ce are frecvență de bază aproximativ 9 MHz. Circuitul oscilant din colector este acordat pe armonica a 3-a a cuațului, respectiv pe 27 MHz.

Bobina  $L_5$  are 20 de spire din CuEm  $\varnothing$  0,3 bobinate pe o carcă identică cu a bobinei  $L_1$ .

Cele două semnale, de la  $T_1$  și de la  $T_4$ , se aplică tranzistorului  $T_2$  (BF 244) care are rol de mixer.

Aici, din semnalul de 27 MHz se scade semnalul de 3 MHz și se obține semnalul de 24 MHz. Circuitul oscilant din drena tranzistorului  $T_2$  este acordat de 24 MHz. Bobina  $L_2$  are 11 spire CuEm  $\varnothing$  0,4 priza fiind la spira 3, carcă  $\varnothing$  7 mm cu miez bobinaj spiră îngă spiră.

Cu tranzistorul  $T_3$  este construit un etaj amplificator de radiofrecvență având circuitul acordat pe 24 MHz. Bobina  $L_3$  este identică cu bobina  $L_2$  priza fiind tot la spira 3. Îngă  $L_3$  la 2 mm se vor bobina 3 spire, cu aceeași sîrmă, care constituie înfășurarea de cuplaj  $L_4$ .

Întregul montaj se introduce într-o cutie metalică, dintr-un material feromagnetic.

În aceeași cutie se introduce și condensatorul variabil  $C_v$  (cu valoarea 3–12 pF). Alimentarea se face de la o sursă cu tensiunea de 12 V, stabilizată electronic.

## CAPITOLUL VI

# INSTRUMENTE DE MĂSURĂ

Controlul și verificarea aparatelor construite de radioamatori este necesară având în vedere diversitatea calitativă a pieselor utilizate de acești constructori. Fără a aborda construcția unor apărate de măsură complicate, prezentăm cîteva accesoriile absolut indispensabile oricărui radioamator.

Cu aceste instrumente mărimile constatate dău informații cantitative, putîndu-se pune astfel în evidență o mulțime de fenomene fizice ce apar în procesul de reglare și depanare a apăratelor de recepție și emisie.

### INDICATOR DE CÎMP

Pentru determinarea prezenței cîmpului electromagnetic pe o anumită frecvență într-un anumit punct, de exemplu în fața unei antene, se utilizează un instrument de măsură numit indicator de cîmp. În esență, acest instrument se compune dintr-o antenă dipol, o diodă detectoare și un instrument indicator.

Schema electrică este prezentată în figura 91.

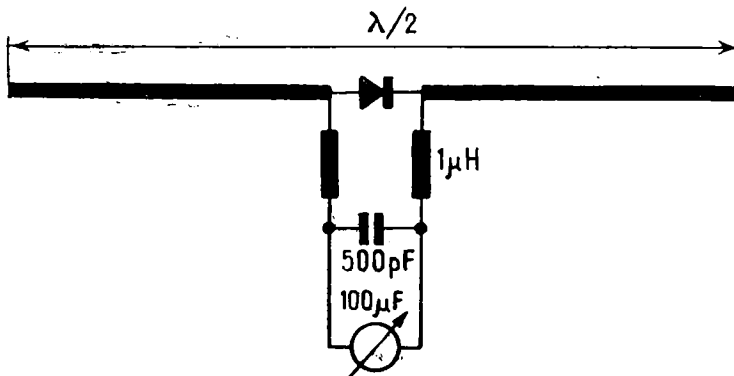


Fig. 91

Dipolul împreună cu dioda au lungimea de  $\lambda/2$ . Dioda trebuie să fie fabricată pentru frecvența în care urmează să se facă măsurătoarea. Cele două bobine (șocuri de RF) sunt construite din sîrmă  $\varnothing 0,2$ , de cupru, izolată cu email, sau cu email și mătase, și au cîte 10 spire cu un diametru de 5 mm. Sensibilitatea instrumentului trebuie să fie de cel puțin 100  $\mu\text{A}$ . În locul acestui instrument poate fi folosit și un voltmètre electronic.

### VERIFICATOR PENTRU CRISTALE DE CUART

Verificarea funcțională a cristalelor de cuarț se poate efectua ușor folosind dispozitivul prezentat în figura 92. Dacă cristalul este în stare de funcționare, oscilatorul format din tranzistorul  $T_1$  cu piesele aferente generează înaltă frecvență. După redresare, tensiunea pozitivă obținută polarizează baza tranzistorului  $T_2$ , care intră în conducție și, astfel, becul indicator  $L$  se aprinde. Avantajul montajului, în afară de simplitatea constructivă, constă în faptul că se pot verifica cristale cu frecvență cuprinsă între 1 și 20 MHz. Dacă în loc de BC 108 ( $f_T = 300$  MHz) pentru tranzistorul  $T_1$  se montează tranzistorul 2 N 918 ( $f_T = 900$  MHz) frecvența de lucru se extinde la 100 MHz).

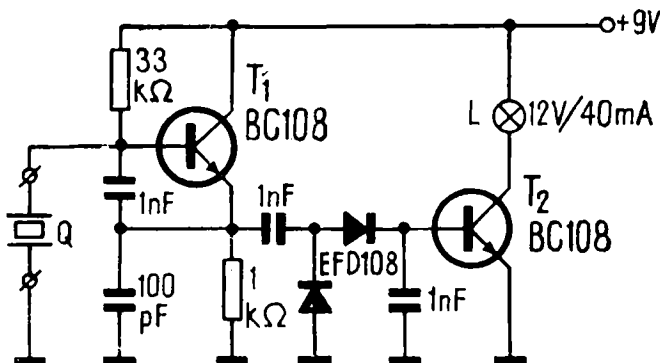


Fig. 92

## VOLTMETRU ELECTRONIC

Voltmetrul electronic din figura 93 este destinat măsurării tensiunilor alternative.

Tensiunea alternativă de măsurat ajunge, prin condensatorul de  $50\text{ nF}$ , divizorul de la intrare și, apoi, la poarta FET-ului.

Din colectorul tranzistorului  $T_2$ , printr-un condensator  $50\text{ }\mu\text{F}$ , tensiunea alternativă amplificată ajunge la redresorul realizat cu două diode de tip EFD 115. Sarcina redresorului este însuși instrumentul de măsură.

Pentru obținerea unei scale liniare, amplificatorul este prevăzut cu o reacție negativă (grup  $RC$  și două diode cu germaniu).

Rezistențele de  $82\text{ k}\Omega$ ,  $5,6\text{ k}\Omega$  și  $51\Omega$  stabilesc regimul de lucru al tranzistorului.

Instrumentul indicator este un microampermetru cu sensibilitatea de  $100\text{ }\mu\text{A}$  și rezistență bobinei mobile de  $850\text{ }\Omega$ .

La realizarea acestui voltmetru trebuie să se dea o mare atenție sortării diodelor. Acestea se vor alege ca să aibă aceeași caracteristică pentru sensul de conducție. În plus, diodele in-

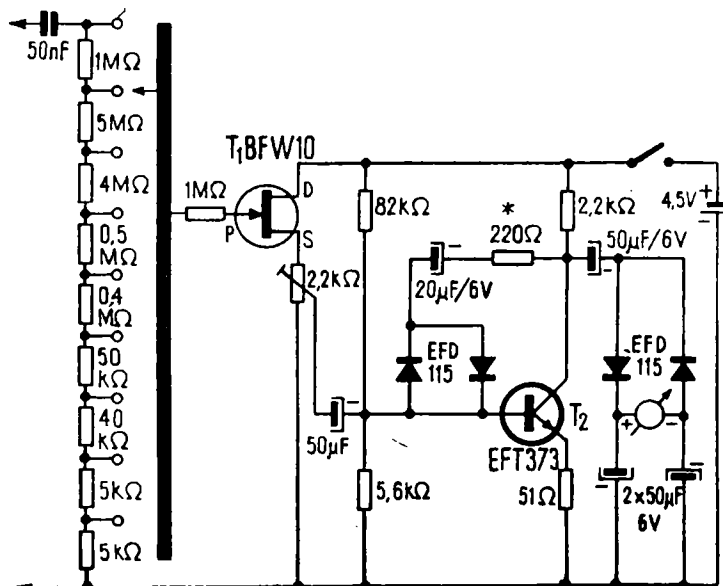


Fig. 93

strumentului vor trebui să aibă un curent invers cît mai mic, iar condensatoarele electrolitice să fie de calitate cît mai bună (eventual cu tantal).

## TESTER PENTRU TRANZISTOARE

Verificarea tranzistoarelor ce urmează a fi plantate în montaje pentru înaltă frecvență este absolut obligatorie.

Este mai puțin important să cunoaștem factorul de amplificare, dar de o deosebită importanță este să cunoaștem dacă tranzistorul funcționează sau nu în regim dinamic.

În figura 94 este prezentată schema unui tester care poate verifica toate tipurile de tranzistoare pentru frecvențe înalte.

Tranzistorul ce urmează a fi verificat se conectează într-un montaj de oscilator ce utilizează un cuarț. Frecvența cuarțului este în jur de 20 MHz. De la oscilator este cuplat un voltmetru electronic cu dublă tensiune. Schema acestui tester este deo-

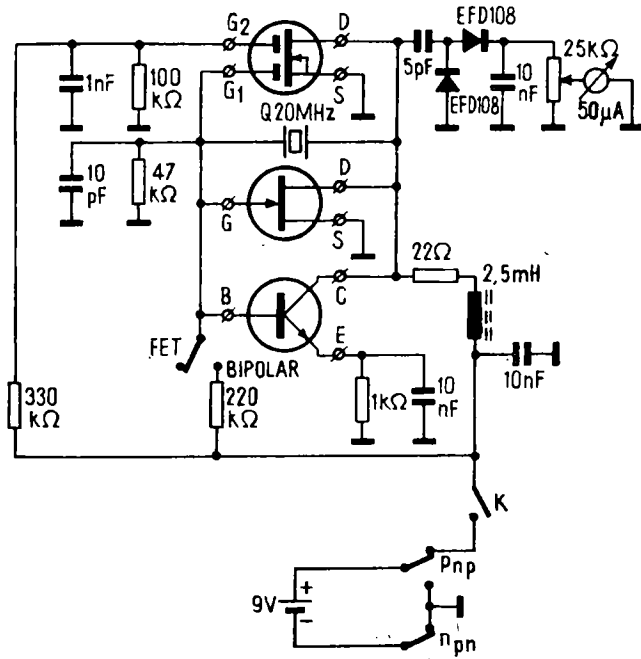


Fig. 94

sebit de simplă, și pentru faptul că poate măsura tranzistoare bipolare și cu efect de cîmp, aparatul este foarte util radioamatorilor.

## UNDAMETRU

Determinarea aproximativă a frecvenței unui semnal între 110 și 200 MHz se poate face cu aparatul din figura 95.

Prințul etaj echipat cu tranzistorul BF 214 este un amplificator de înaltă frecvență, în montaj cu baza la masă. La ieșirea acestui amplificator este cuplat un voltmetru electronic.

Circuitul oscilant de la intrare este format dintr-o linie (fig. 96) cuplată cu un condensator variabil 3–30 pF.

Instrumentul indicator are sensibilitatea  $35-50 \mu\text{A}$  și este identic cu cele folosite la magnetofoane sau radioreceptoare. Dacă între colectorul și emiterul tranzistorului se montează un condensator de  $5 \text{ pF}$ , etajul începe să oscileze, putîndu-se, în acest caz, acorda circuite oscilante pasive.

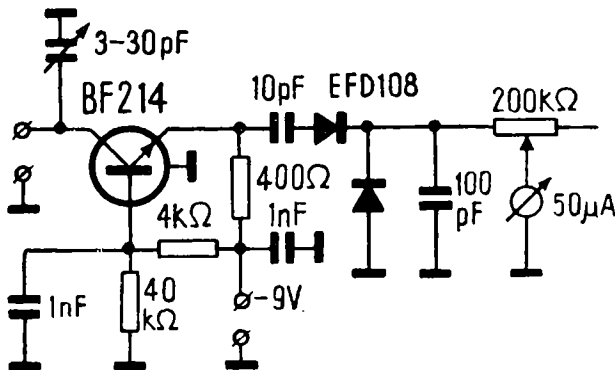


Fig. 95

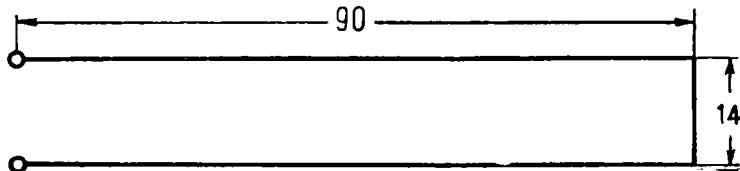


Fig. 96

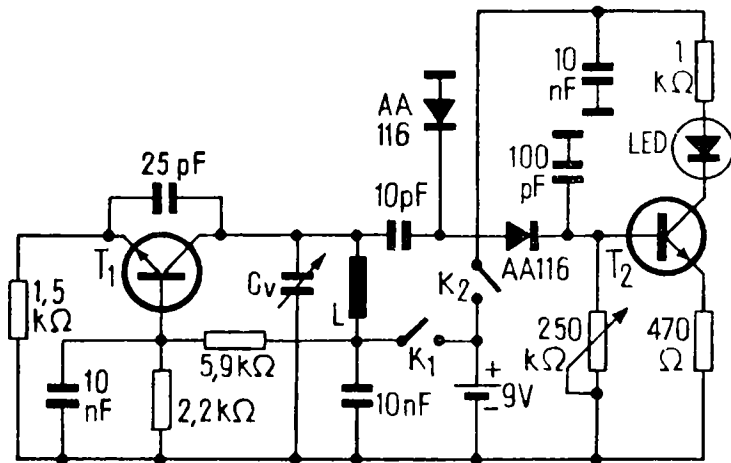


Fig. 97

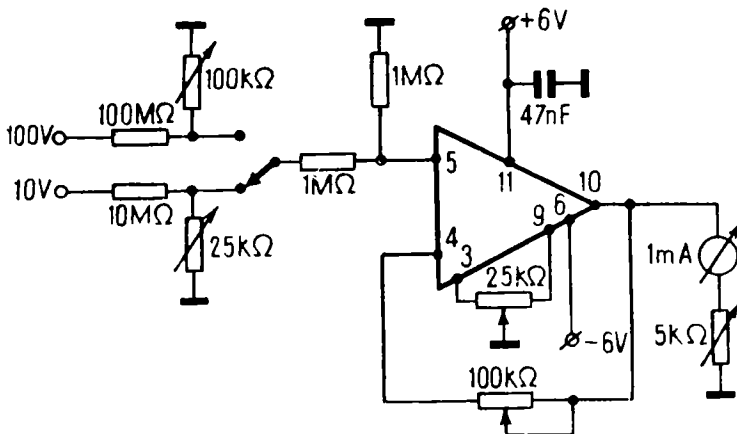


Fig. 98

## GRID-DIP-METRU

Grid-dip-metrul din figura 97 este construit cu două tranzis-toare BF 214 și are ca element indicator o diodă LED.

În regim activ tranzistorul  $T_1$  primește alimentare prin întrerupătorul  $K_1$ . Întrerupătorul  $K_2$  este cuplat fiindcă prin el se alimentează tranzistorul  $T_2$  din amplificator.

Sensibilitatea amplificatorului se stabilește din potențiometrul cuplat în baza tranzistorului  $T_2$ . Pentru banda 5–10 MHz bobina are 43 spire CuEm  $\varnothing$  0,3; pentru banda 17–30 MHz sunt 7 spire  $\varnothing$  0,8; pentru banda 28–40 MHz sunt 3 spire  $\varnothing$  0,8. Careasa bobinelor este din material izolant  $\varnothing$  12, fără miez.

Măsurători în banda de frecvențe 35–90 MHz se pot efectua cu o bobină din CuAg  $\varnothing$  1 ce are 2 spire cu pas 1,5 mm (pe același tip de carcăsă).

Condensatorul variabil are capacitatea maximă 100 pF.

## VOLTMETRU ELECTRONIC CU $\beta$ A 741

Măsurarea tensiunilor continue se poate executa cu instrumentul din figura 98.

Acesta este un voltmetru electronic ce are ca element principal un circuit integrat  $\beta$  A 741. Faptul că circuitul  $\beta$  A 741 are

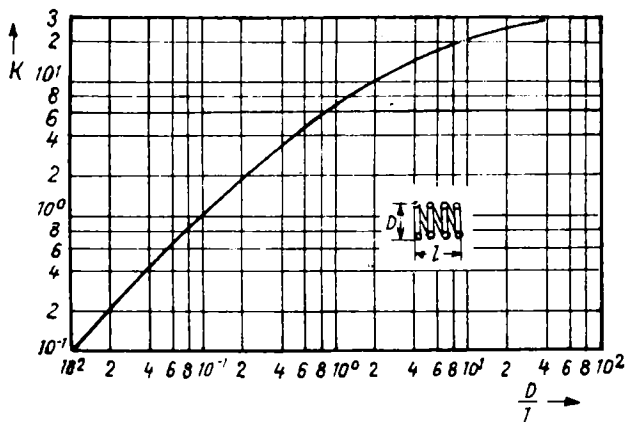


Fig. 99

amplificare foarte mare (în jur de 200 000) se poate realiza și o impedanță de intrare mare  $1 \text{ M}\Omega/\text{V}$ .

Nulul instrumentului se reglează din potențiometrul cuplat între terminalele 3 și 9, iar cu potențiometrul de  $100 \text{ k}\Omega$  cuplat interminabile 10 și 4 se reglează sensibilitatea, respectiv amplificarea circuitului integrat. Potențiometrul serie cu instrumentul indicator are valoarea determinată de rezistența internă a acestuia.

Pentru valori mai mici de tensiune se modifică proporțional valoarea rezistențelor de la intrare.

## ANEXE

### CALCULUL BOBINELOR

Construcția unor bobine cu inductanțe mici este destul de dificilă, deoarece cele mai multe aparate de măsură nu se construiesc pentru valori sub 0,1  $\mu$ H. În general, aceste bobine sunt fără miez, valorile inductanțelor lor depinzând mult de dimensiunile geometrice.

○ formулă practică de dimensionare este :

$$L(nH) = K \cdot n^4 \cdot D$$

în care  $n$  este numărul de spire,  $D$  — diametrul bobinei (cm), i.e.  $K$  un coeficient dat de raportul între diametrul și lungimea bobinei ( $D/l$ ). Acest raport este dat în graficul din figura 99.

De exemplu, pentru un circuit oscilant pe frecvență de 290 MHz, în care utilizăm un condensator trimer (4–12 pF) rezultă (aproximativ) o inductanță de 0,03  $\mu$ H.

Luând diametrul bobinei 1 cm și lungimea egală cu 1 cm, rezultă  $K = 10$ .

$$n = \sqrt{\frac{L}{K \cdot D}} = \sqrt{\frac{30}{10 \cdot 1}} = \sqrt{3} \approx 1,7 \text{ spire}$$

înținind cont că 0,03  $\mu$ H = 30 nH.

Mersul calculului poate fi și invers, adică din cotele fizice ale unei bobine să determinăm inductanța sa.

TABELUL 1

#### TRANZISTOARE DE PUTERE (npn)

Denumire	$P_{o_W}$	$f_{(MHz)}$	$G_{(dB)}$	$I_{CM(A)}$	$U_{CE(V)}$
1	2	3	4	5	6
2 N 4427	1	175	10	0,4	20
2 N 3924	4	175	6	1,5	18
2 N 3926	7	175	6	3	18
2 N 3927	12	175	5	4,5	18

TABELUL 1 (continuare)

1	2	3	4	5	6
BFS 22A	4	175	8	2,2	18
BLY 87A	8	175	9	3,5	18
BLY 88A	15	175	8	7,5	18
BLY 89	25	175	6	10	18
BL W 60	45	175	6	20	18
BL Y 90	50	175	5	20	18
BL X 65	2	475	12	2	18
BLX 66	3	475	20	2	18
BLX 67	3	475	20	2	18
BLX 68	7,2	475	12,6	4	18
BLX 69	17	475	11	10	18
2 N 4427	04	470	6	04	20
BLX 91	1,5	470	12	08	33
2 N 3866	1,5	400	11	04	30
2 N 3553	2,5	175	10	1	40
2 N 3375	3	400	4,8	1,5	40
2 N 3632	13,5	175	5,9	3	40
BLW 64	10	220	9,5	1,6	25
BLX 96	06	860	6	025	25
BLX 97	1	860	5,5	0,500	25
BLX 98	3,5	860	5	0,85	25

TABELUL 2

**RAPORTUL TENSIUNILOR  
SI PUTERILOR EXPRIMAT IN dB**

dB	$\frac{U_2}{U_1}$	$\frac{P_2}{P_1}$
0	1	1
1	1,12	1,26
2	1,26	1,59
3	1,41	2,0
4	1,59	2,51
5	1,78	3,61
6	2,0	4,0
7	2,24	5,01
8	2,51	6,31
9	2,82	7,94
10	3,16	10
20	10	100
30	31,60	1 000
40	100	10 000
60	1 000	10 <sup>6</sup>
80	10 000	10 <sup>8</sup>
100	100 000	10 <sup>10</sup>

TABELUL 3

## TRANZISTOARE I.P.R.S.

Denumirea	Tip	$P_{tot}$ (mW)	$U_{GB}$ (V)	$I_c$ (mA)	$f_T$ (MHz)
BF 167	N	150	40	25	650
BF 173	N	230	40	25	600
BF 177	N	600	160	50	120
BF 178	N	600	160	50	120
BF 179 A	N	600	160	50	120
BF 179 E	N	600	200	50	120
BF 179 C	N	600	250	50	120
BF 180	N	150	40	25	650
BF 181	N	150	30	20	800
BF 182	N	150	30	20	800
BF 183	N	150	30	20	800
BF 198	N	300	40	25	400
BF 199	N	230	40	25	550
BF 200	N	300	40	20	500
BF 214	N	160	30	20	250
BF 215	N	160	30	20	250
BF 240	N	150	40	25	430
BF 241	N	230	40	25	400
BF 257	N	600	160	50	120
BF 258	N	800	250	100	90
BF 259	N	800	300	100	90
BF 324	P	120	20	20	800
BF 363	N	120	20	20	700
BF 450	P	250	40	25	300
BF 451	P	250	40	25	300
BF 480	P	140	15	20	1 600
BF 494	P	300	20	20	260
BF 495	P	300	20	30	200
2 N 918	P	200	15	50	1 000
2 N 1613	P	800	50	1 000	60
2 N 1711	P	800	50	1 000	70

TABELUL 4

## TRANZISTOARE FUJITSU

Denumirea	$V_{CB}$ (V)	$I_c$ (mA)	P (mW)	$f_T$ (MHz)
1	2	3	4	5
2SA 119	40	300	650	200
2SA 120	25	300	650	200
2SA 553	40	300	230	200
2SA 554	25	300	250	200
2SA 555	50	200	200	200
2SA 556	35	200	200	200
2SA 580	60	600	800	100
2SA 581	100	600	800	100
2SC 54	40	100	300	350
2SC 171	25	50	200	250
2SC 172	25	50	300	350
2SC 174A	60	25	200	200
2SC 189	60	500	600	150
2SC 198	50	500	800	350
2SC 200	40	300	650	350
2SC 201	20	300	650	350
2SC 202	80	300	650	350
2SC 203	40	200	350	350
2SC 204	30	200	350	250
2SC 205	80	200	350	350
2SC 206	20	25	200	200
2SC 207	20	25	200	800
2SC 208	20	25	200	550
2SC 209	20	25	200	450
2SC 219	20	25	200	600
2SC 220	50	700	650	150
2SC 221	25	700	650	150
2SC 222	80	700	650	150
2SC 247	100	100	600	150
2SC 249	70	70	500	170
2SC 285	50	200	500	320
2SC 296	20	25	200	180
2SC 324	20	25	200	180
2SC 627	200	100	700	20
2SC 722	25	25	120	700
2SA 524	25	100	350	200
2SA 625	100	500	700	100
2SC 27	60	100	650	350
2SC 39	25	50	250	500
2SC 39A	25	50	250	350
2SC 130	60	1A	1,8W	160
2SC 198A	50	500	800	350
2SC 230	80	200	350	350
2SC 234	100	1,5A	1,8W	140
2SC 236	90	500	1,8W	100
2SC 237	30	300	350	450

TABELUL 4 (continuare)

1	2	3	4	5
2SC 238	40	100	650	350
2SC 285A	50	300	500	500
2SC 618	25	25	150	800
2SC 618A	25	25	150	800
2SC 745	50	1,5A	12,5W	450
2SC 746	45	3A	25W	350
2SC 809	25	20	200	1 200
2SC 810	40	300	500	750
2SC 942	20	20	300	700

TABELUL 5  
TRANZISTOARE SIEMENS

Denumirea	Tip	$U_{CB}$ (V)	$I_c$ (mA)	$f_T$ (MHz)
1	2	3	4	5
AFY 11	P	30	70	350
AFY 12	P	25	10	230
AFY 16	P	30	10	550
AFY 18	P	30	100	600
AFY 37	P	32	20	600
AFY 39	P	32	30	500
AFY 42	P	30	10	700
BCW 60	N	(-32)	-100	250
BCW 61	P	(32)	100	180
BCY 58	N	(-32)	-200	250
BVY 59	N	(-45)	-200	250
BCY 65E	N	(60)	100	250
BCY 66	N	(45)	50	250
BCY 67	P	(-45)	-50	180
BCY 77	P	(-60)	-100	180
BCY 79	P	(-45)	-200	180
BFX 55	N	60	400	500
BFX 59	N	30	100	800
BFX 59F	N	30	100	1 000
BFX 60	N	40	25	550
BFX 62	N	30	12	675
BFX 89	N	30	25	1 300

*TABELUL 5* (continuare)

1	2	3	4	5
BFY 34	N	75	500	100
BFY 45	N	(90)	30	130
BFY 46	N	75	500	120
BFY 90	N	30	25	1 300
BSX 48	N	50	600	400
BSX 49	N	60	600	400
BSY 17	N	20	200	280
BSY 18	N	20	200	280
BSY 34	N	60	600	400
BSY 58	N	50	600	400
BSY 59	P	(-30)	-800	100
BSY 62	N	25	200	200
BSY 63	N	40	200	300

## BIBLIOGRAFIE

---

- KOCH, H., *Transistorsender*. Franzis — Verlag, München, 1972.
- KOCH, H., *Tranzistorempfenger*. Franzis-Verlang, München, 1972.
- MARKUS, J., *Guidebook of Electronic circuits*. Mc Graw-Hill, N.Y.
- MIHĂESCU, I.; FLORICĂ, S., *101 montaje electronice*, Editura Albatros, Bucureşti, 1977.
- REITHOFER, J., *Antene sur das 70 und 23 cm band*. Franzis Verlag, München, 1976.
- Colecția revistei „Tehnium“, 1976—1977.
- Colecția revistei „Radio“, U.R.S.S., 1977.
- Colecția revistei „Funkamateur“, R.D.G., 1977.
- Colecția revistei „Amaterske Radio“, U.R.S.S., 1976.
- Catalog de tranzistoare I.P.R.S., 1976—1977.
- Catalog „SIEMENS“, 1975.
- FUJITSU SEMICONDUCTORS.
- VALVO Halbleiter, 1977.
- I.T.T. — SEMICONDUCTORS.

**Redactor : VASILE PREDESCU  
Tehnoredactor : MARILENA LUNGULESCU**

---

**Bun de tipar : 22.XII.1983  
Coli de tipar : 8,25  
CRAIOVA, 1983**

---

**Intreprinderea poligrafică „Oltenia“  
Str. Mihai Viteazul nr. 4, Craiova  
Comanda nr. 246/1983**

